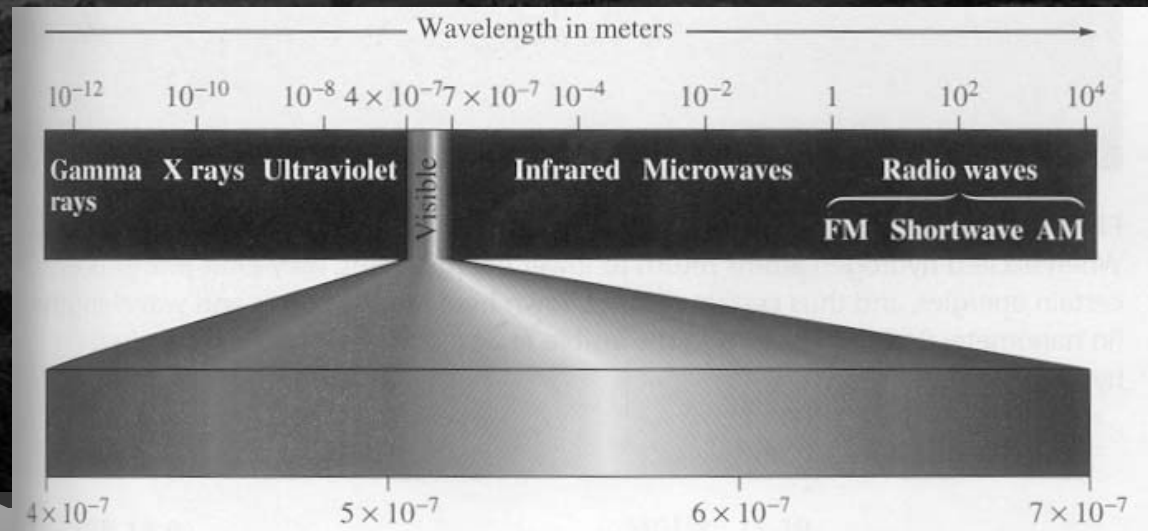


Fotorecepce



Využití vlastností světla a jeho absorpce při průchodu a odrazu.
Zrakem až 90% informací.

Tvar, barva, umístění v prostoru, rychlost a směr pohybu.



Proteiny teprve ve spojení s chromoforem – část molekuly odpovědná za absorpci záření (také zvaná prostetická skupina – nebílkovinná sl.) mohou absorbovat viditelné spektrum.

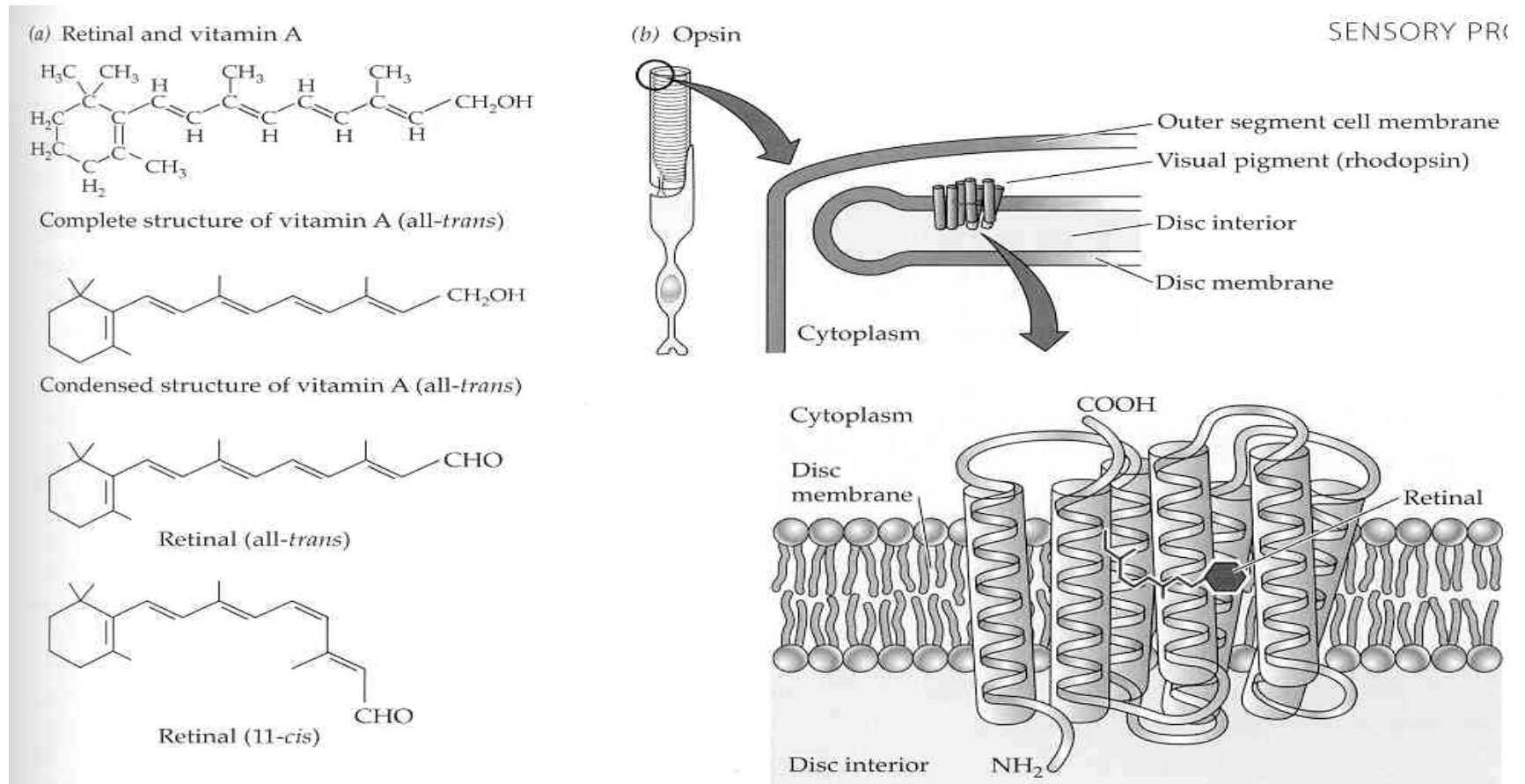


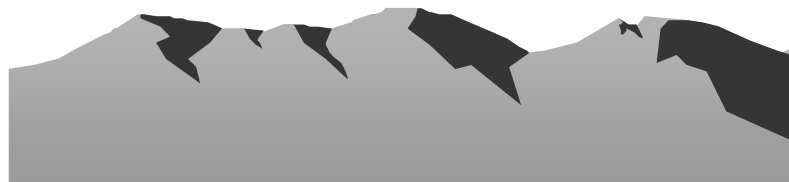
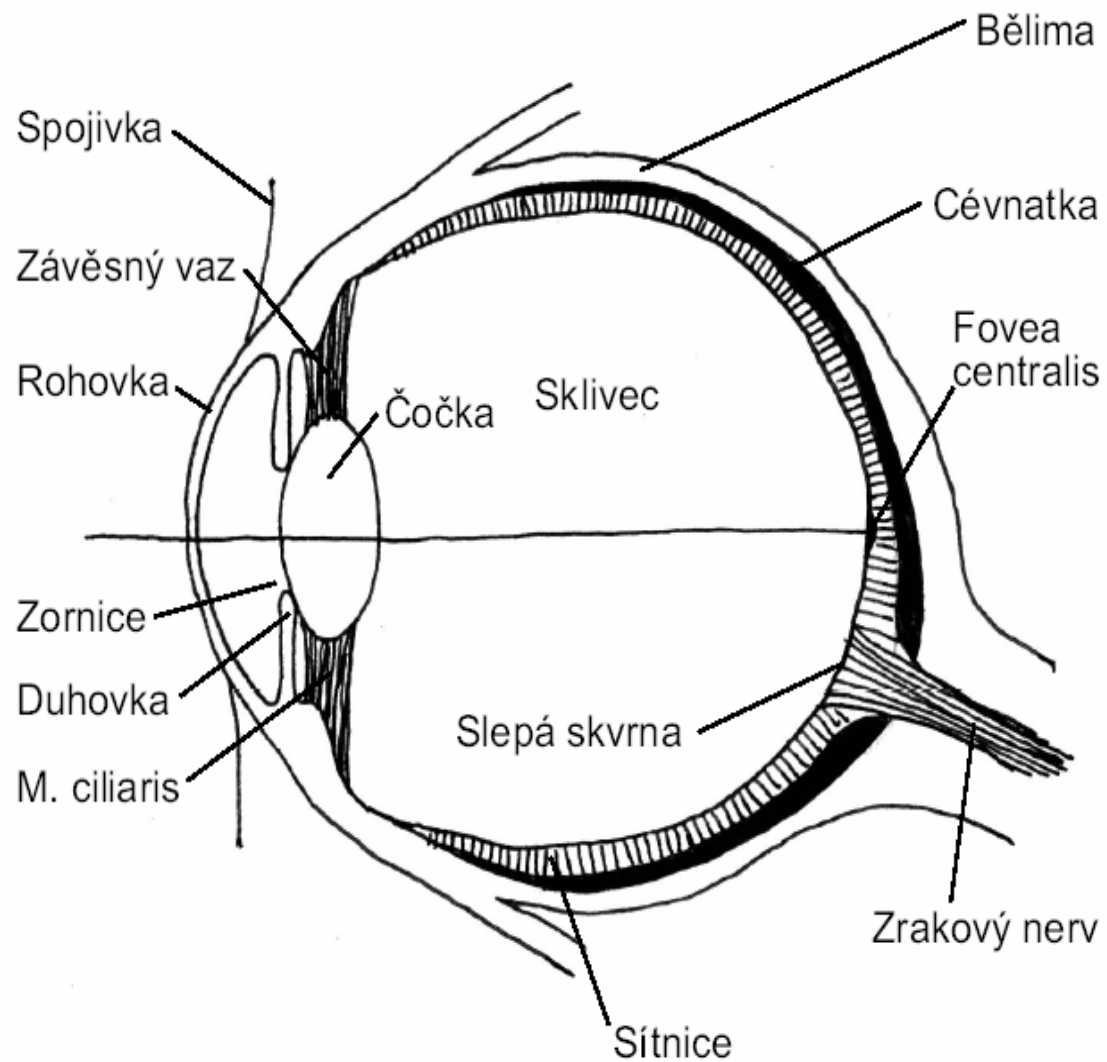
Figure 13.13 Rhodopsin is a photopigment composed of two parts: retinal and opsin
 (a) Chemical structures of vitamin A and of retinal. Vitamin A is shown both as a complete structure (top) and as a skeleton structure (middle). Vitamin A is converted to retinal, which has two isomers (11-cis and all-trans). (b) Three-dimensional structure of the protein (opsin) portion of vertebrate rhodopsin. Seven α -helical regions of the protein span the membrane; retinal is attached to an amino acid residue within the seventh membrane-spanning region.

- Optický systém oka
- Fotoreceptory sítnice
- Optická dráha
- Korová zraková oblast

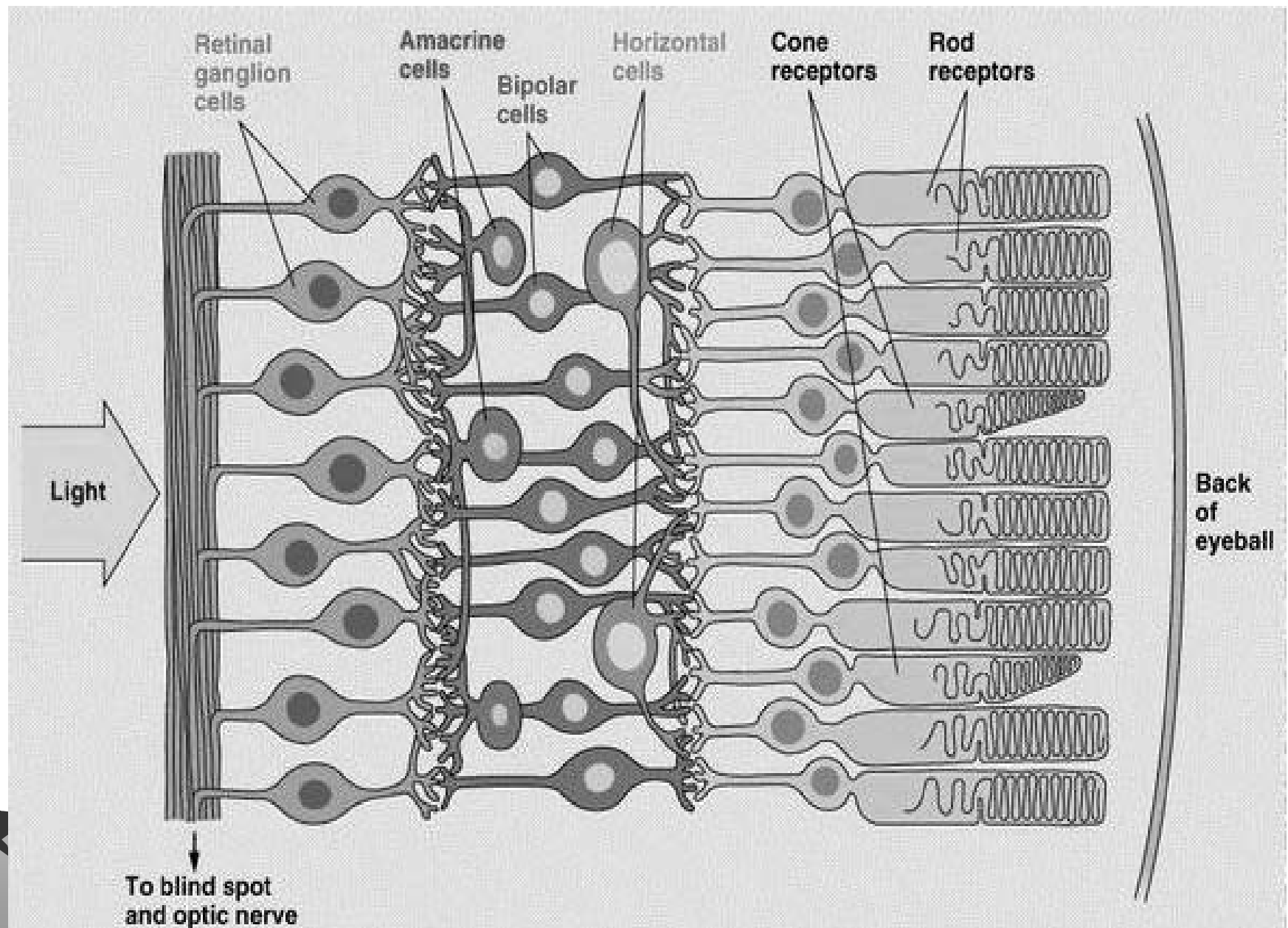
David Hubel's web page

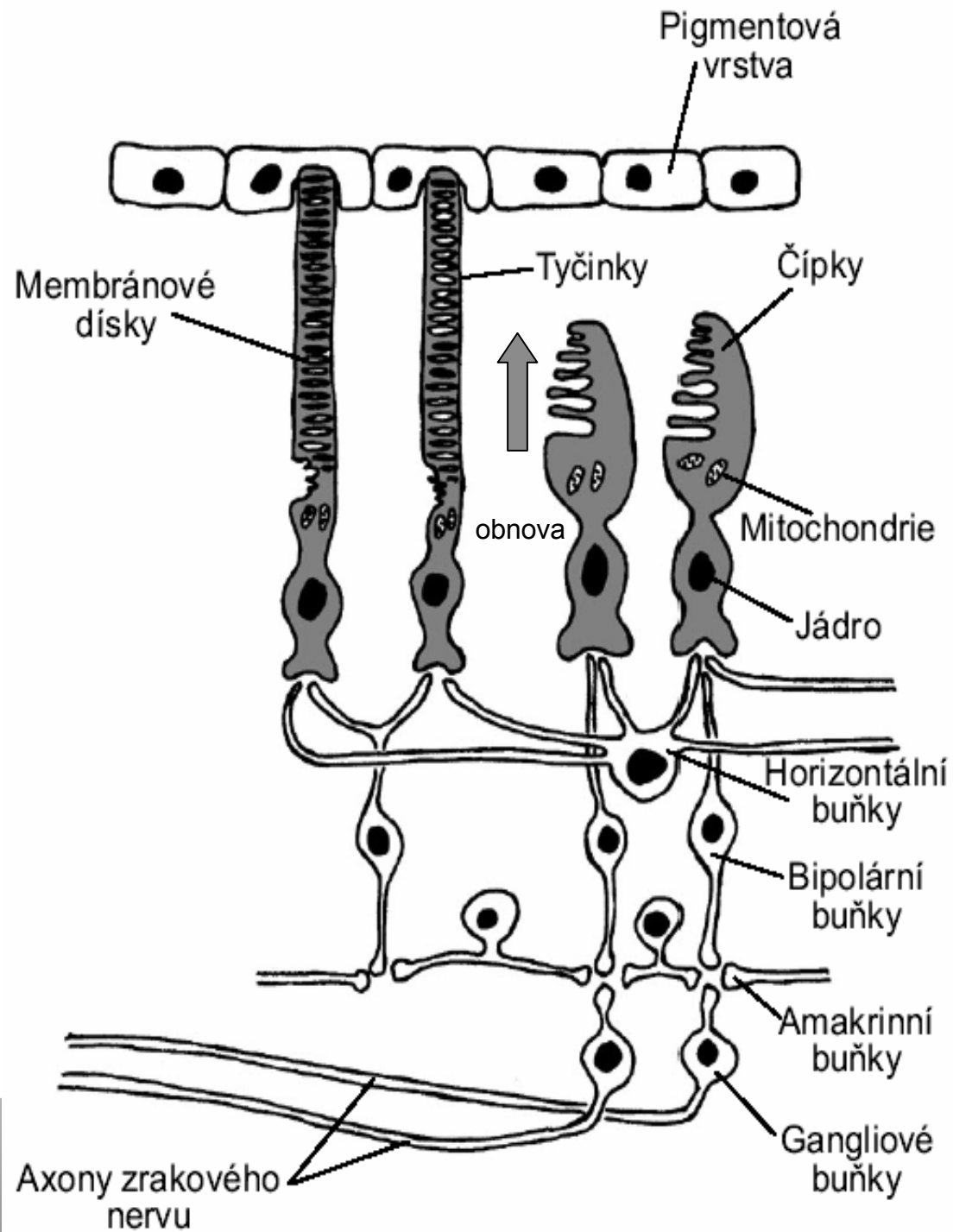


Od bakterií schopnost detekce.
Komorové oko – dokonalý optický nástroj

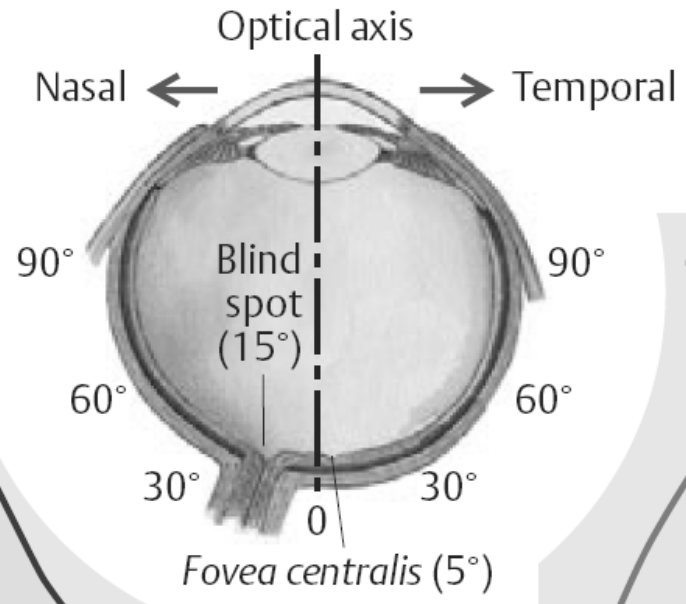


Inverzní sítnice savců.
120 mil. tyčinek, 6 mil. čípků.

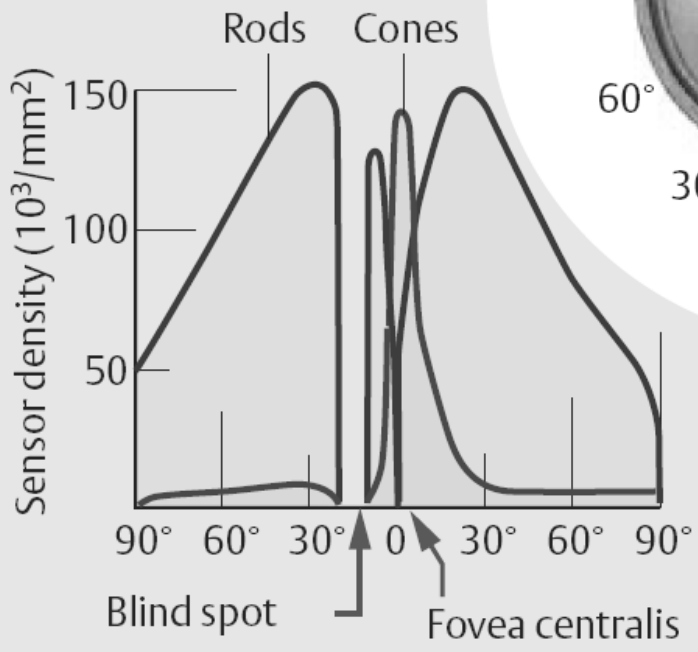




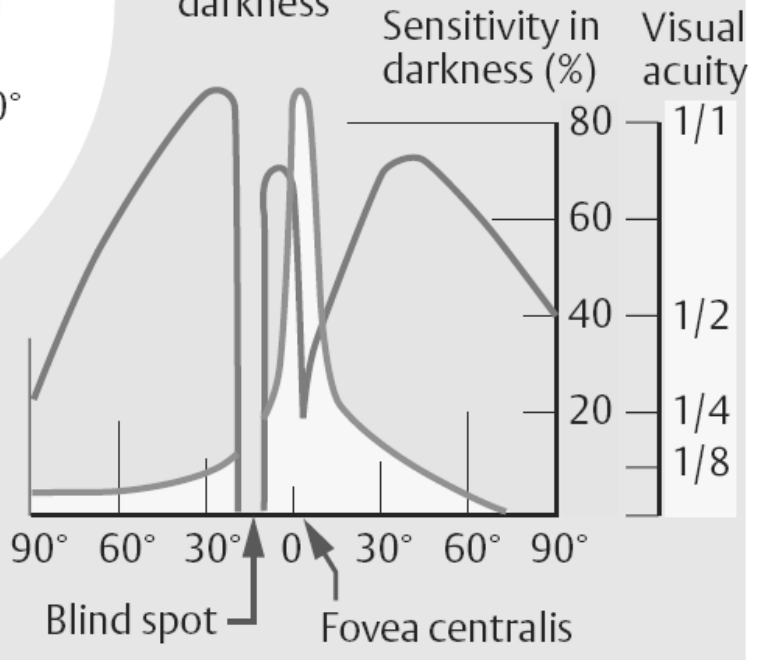
B. Retina: Photosensor distribution, sensitivity in darkness and visual acuity



1 Photosensor distribution

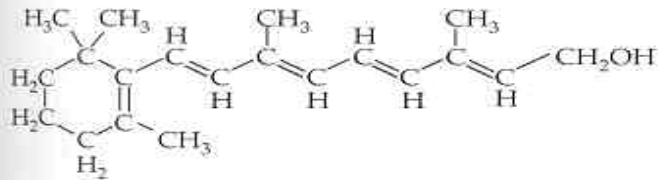


2 Visual acuity, sensitivity in darkness

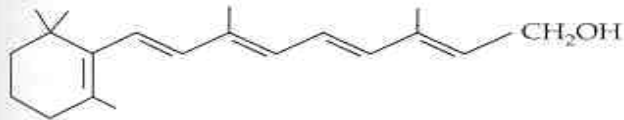


Absorbce světla - Karotenoidy (vit.A) a pyrolové kruhy

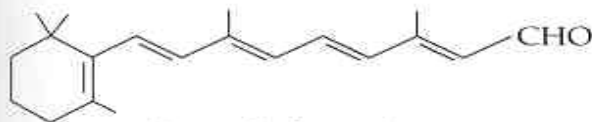
(a) Retinal and vitamin A



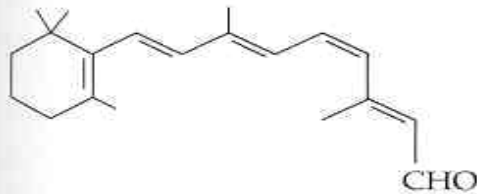
Complete structure of vitamin A (all-trans)



Condensed structure of vitamin A (all-trans)

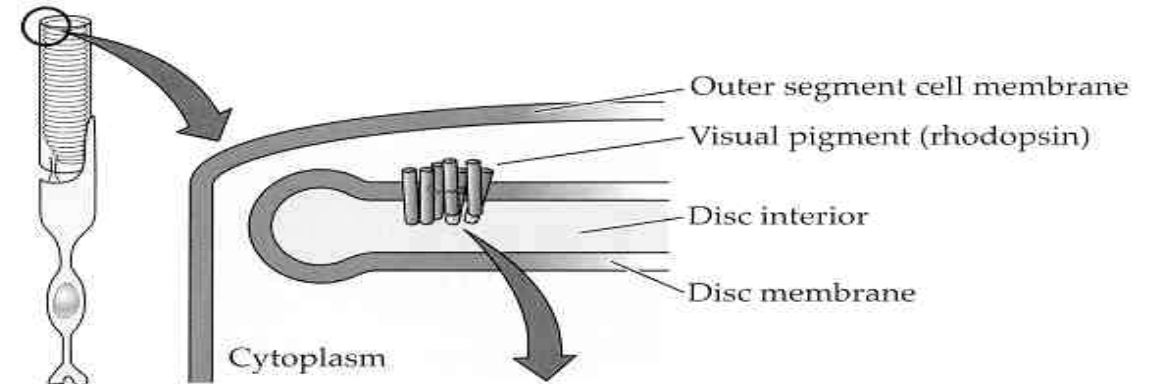


Retinal (all-trans)



Retinal (11-cis)

(b) Opsin



SENSORY PR

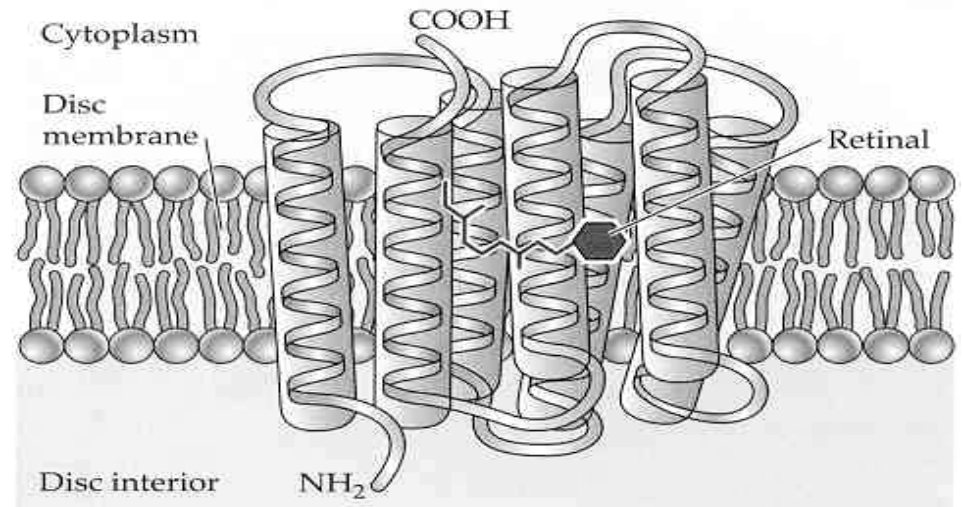
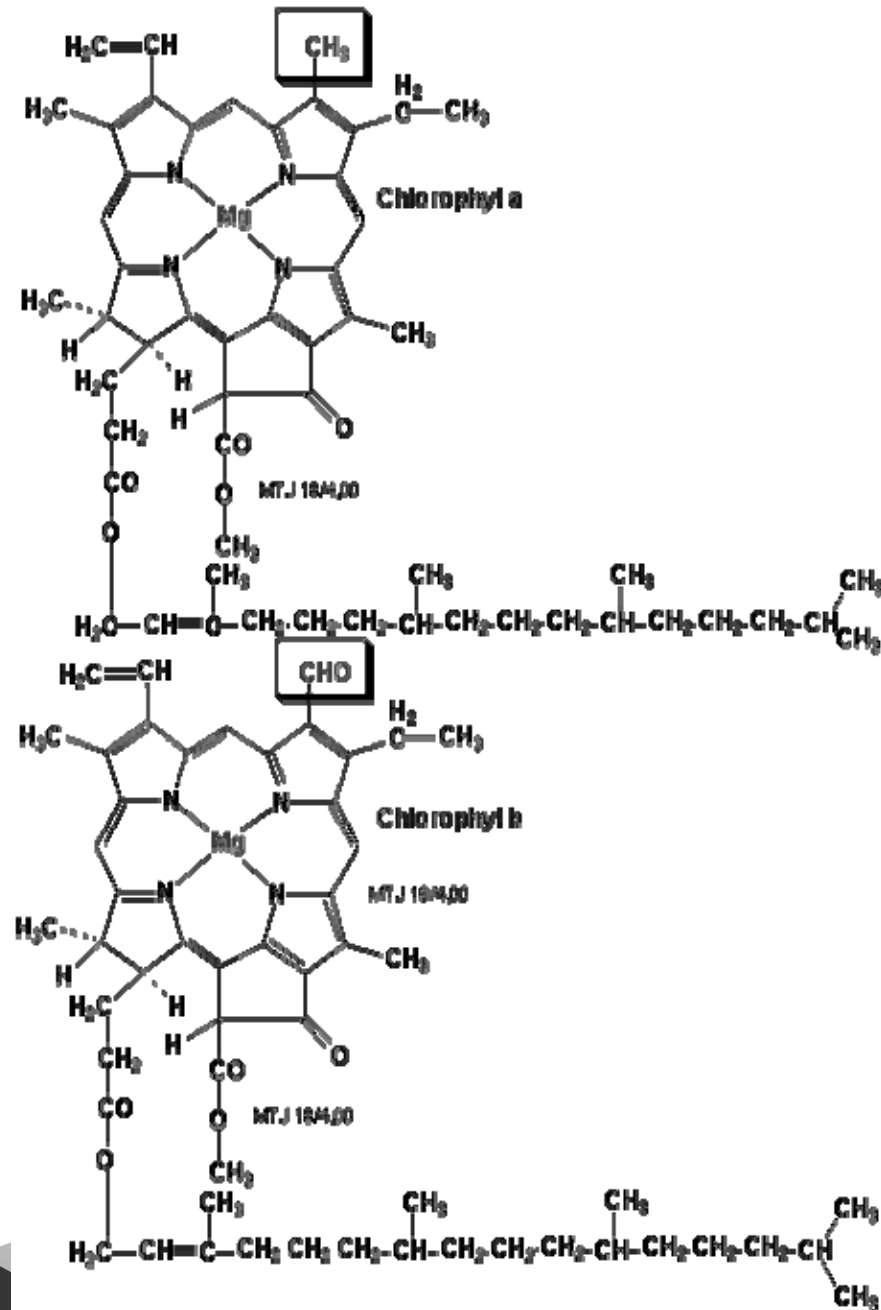


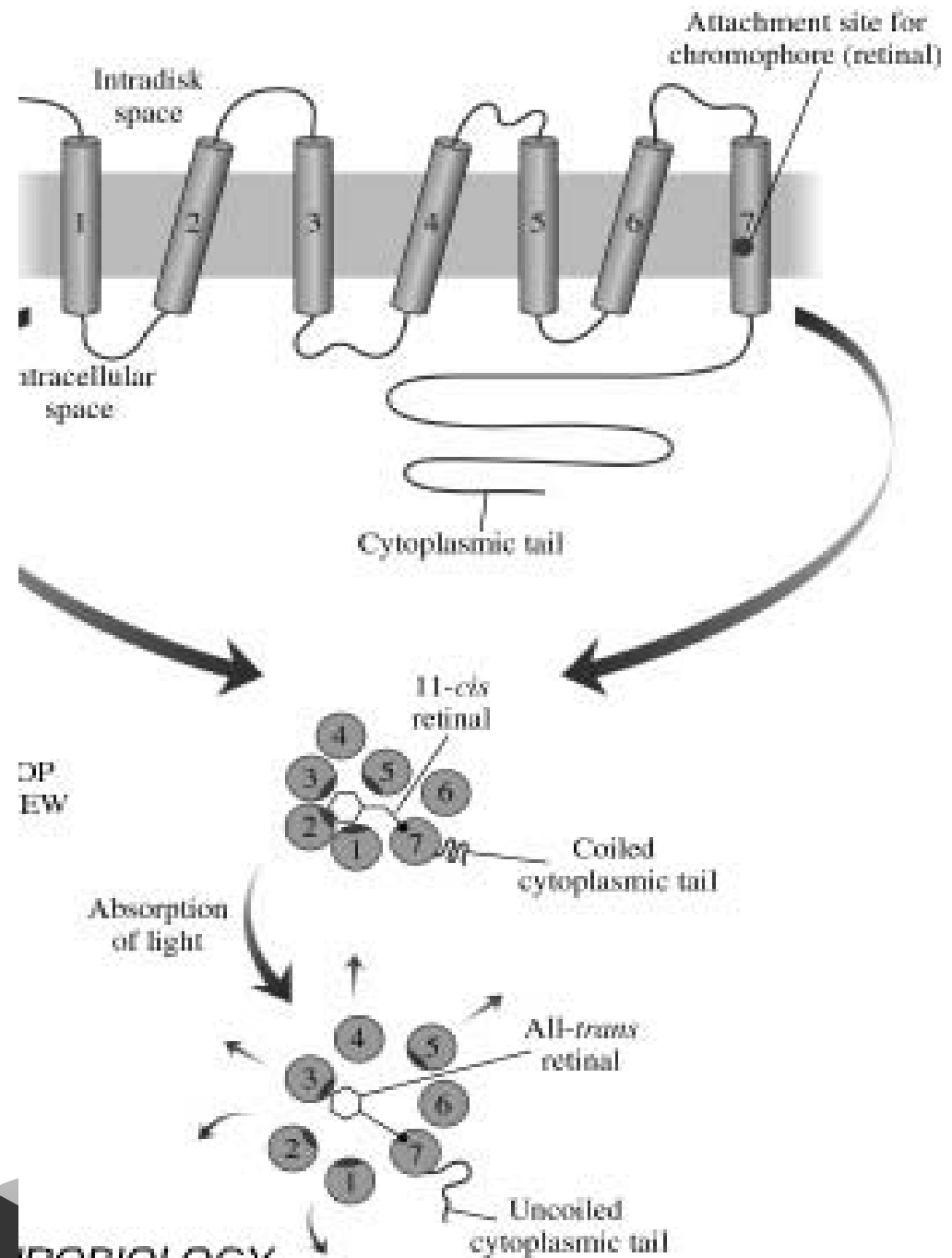
Figure 13.13 Rhodopsin is a photopigment composed of two parts: retinal and opsin
 (a) Chemical structures of vitamin A and of retinal. Vitamin A is shown both as a complete structure (top) and as a skeleton structure (middle). Vitamin A is converted to retinal, which has two isomers (11-cis and all-trans). (b) Three-dimensional structure of the protein (opsin) portion of vertebrate rhodopsin. Seven α -helical regions of the protein span the membrane; retinal is attached to an amino acid residue within the seventh membrane-spanning region.

Video cis - trans

Absorbce světla - Karotenoidy
(vit.A) a pyrolové kruhy
(chlorofyl)



Spolupráce chromoforu retinalu a apoproteinu opsinu.



Video aktivace rhodopsinu

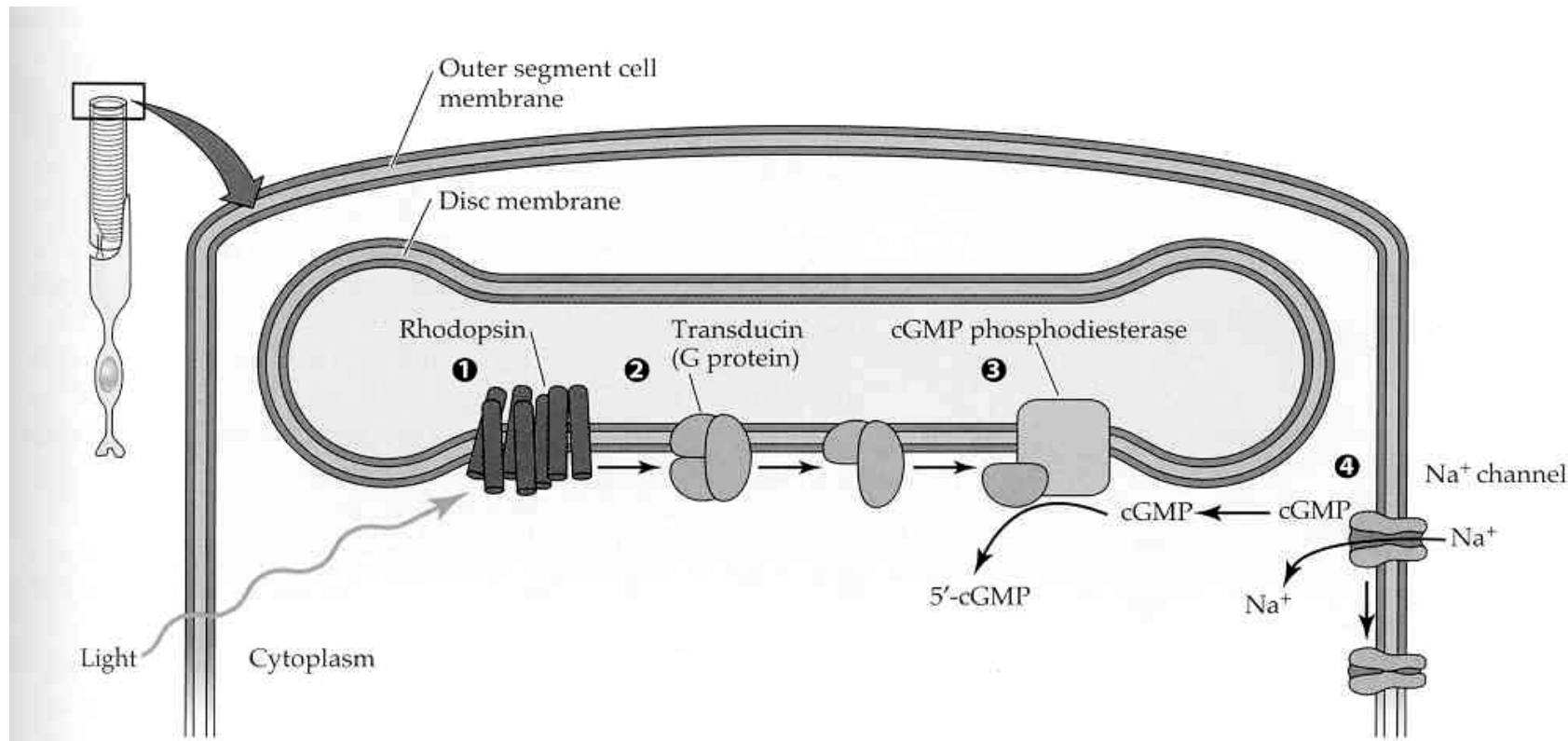
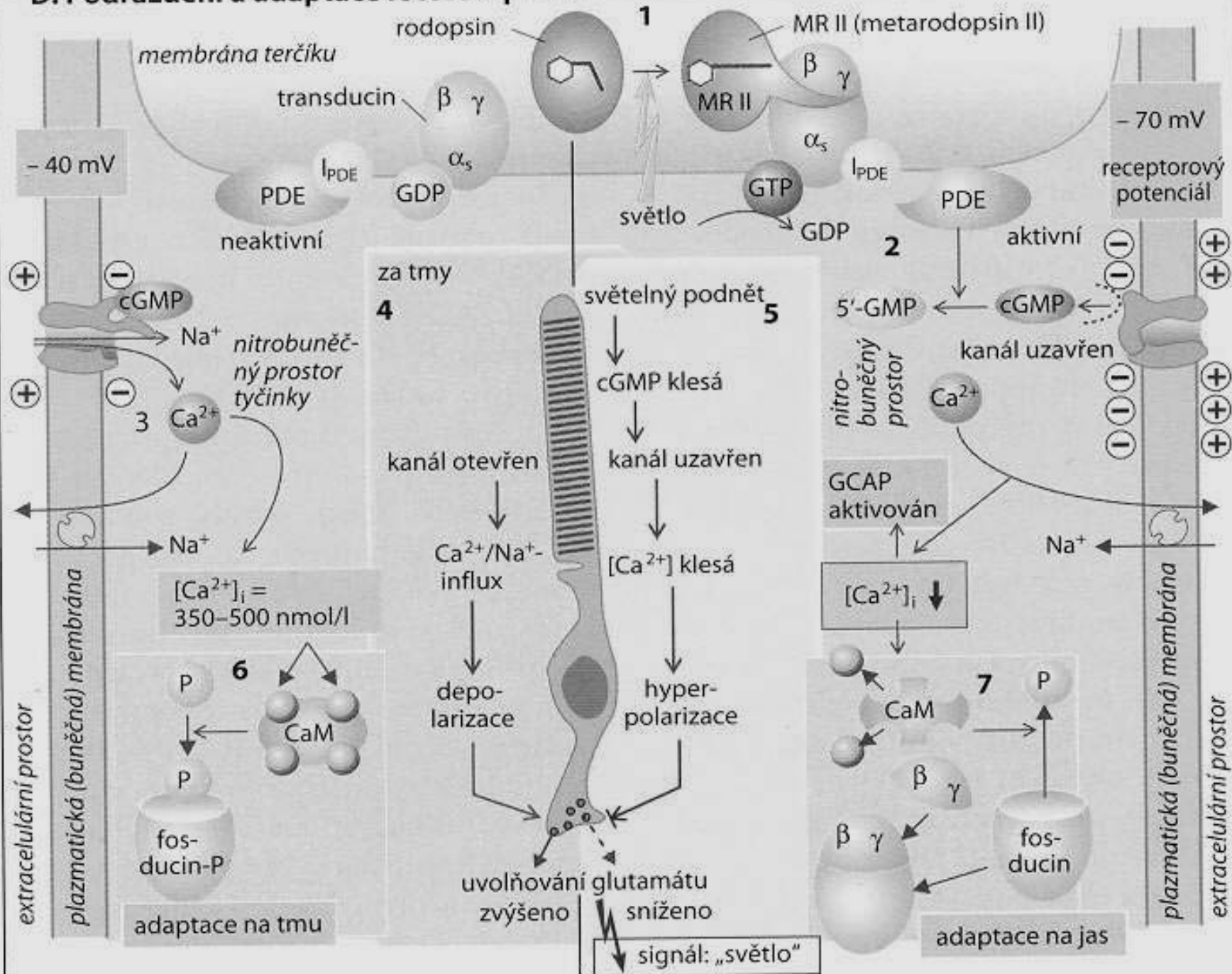


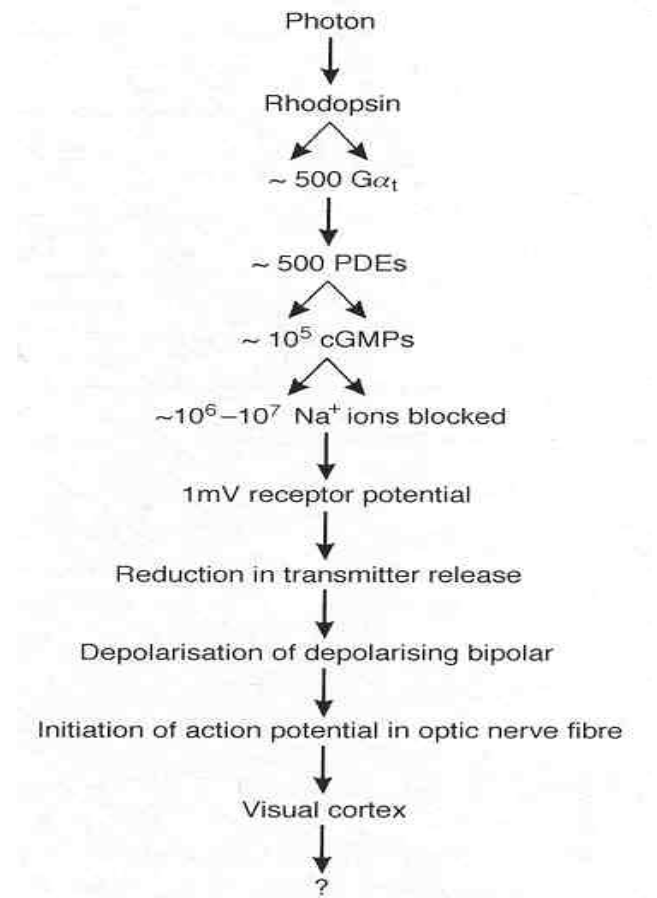
Figure 13.14 Phototransduction closes cation channels in the outer segment of the photoreceptor membrane In the dark, the cation channels are kept open by intracellular cGMP and conduct an inward current, carried largely by Na^+ . When light strikes the photoreceptor, these channels are closed by a G protein-coupled mechanism. **1** Rhodopsin molecules in the disc membrane absorb light and are acti-

vated. **2** The activated rhodopsin stimulates a G protein (transducin in rods), which in turn activates cGMP phosphodiesterase. **3** The phosphodiesterase catalyzes the breakdown of cGMP to 5'-GMP. **4** As the cGMP concentration decreases, cGMP detaches from the cation channels, which close.

D. Podráždění a adaptace fotoreceptorů



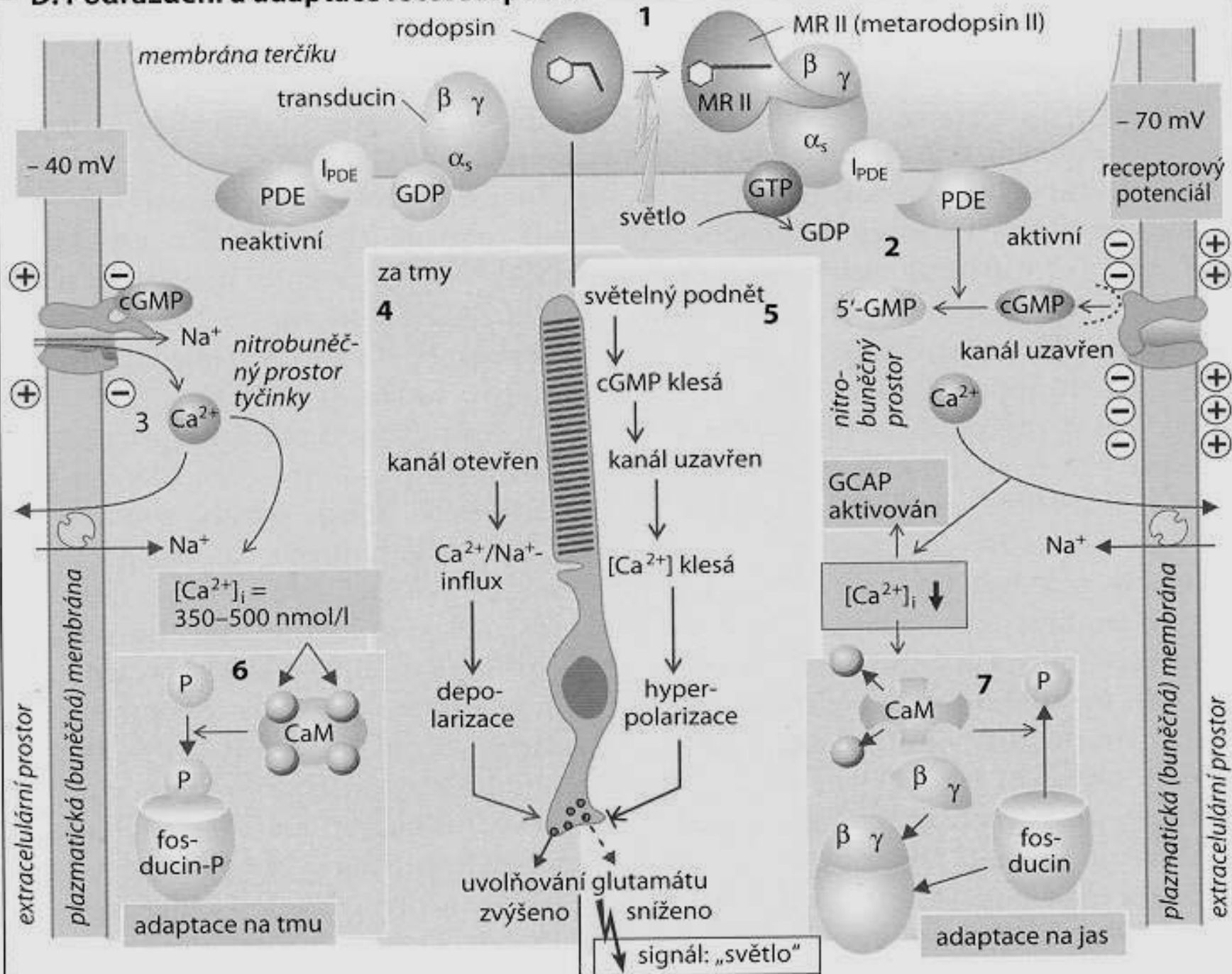
Zesílení



- Vypnutí – Arrestin v G-prot. signalizaci, Ca
- Adaptace – rozsah od 1 po 10^6 fotonů / sec, úloha Ca iontů (čich, sluch)
- Regenerace



D. Podráždění a adaptace fotoreceptorů

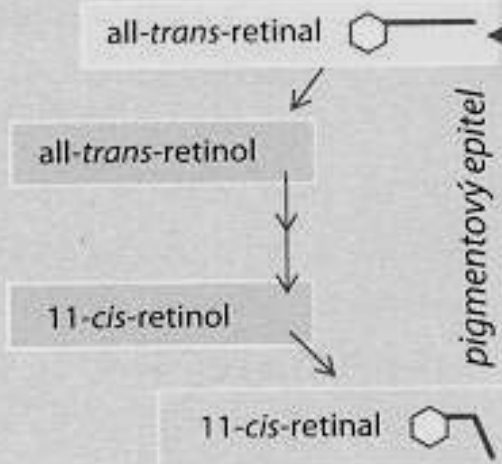


Regenerace a inaktivace

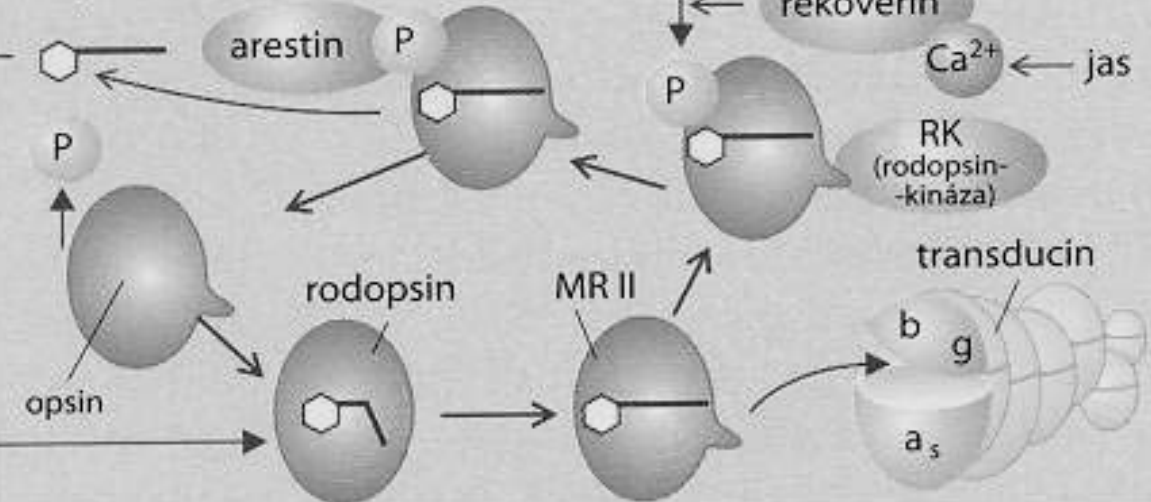
Inaktivace arestinem
a RK – konec vazby s Tr.

E. Regenerační cykly

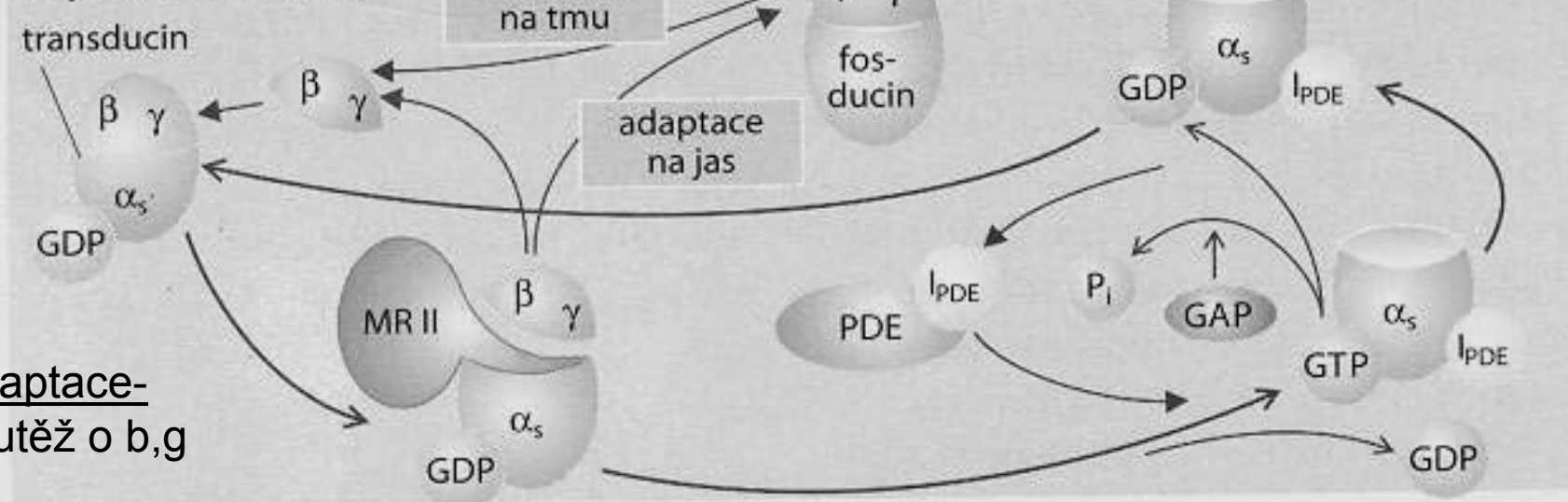
1 cyklus retinalu



2 cyklus rodopsinu



3 cyklus transducinu



Adaptace-
soutěž o b,g

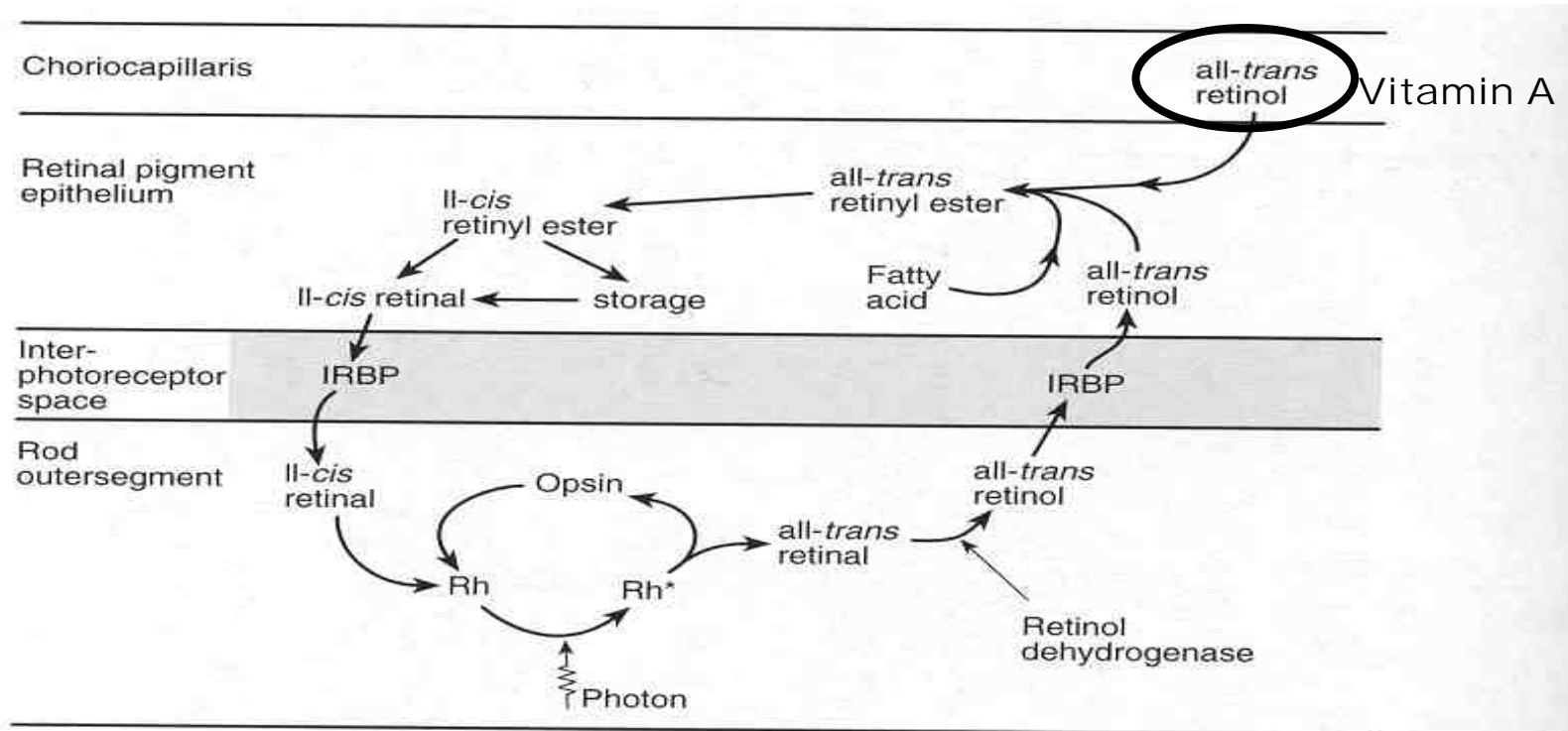
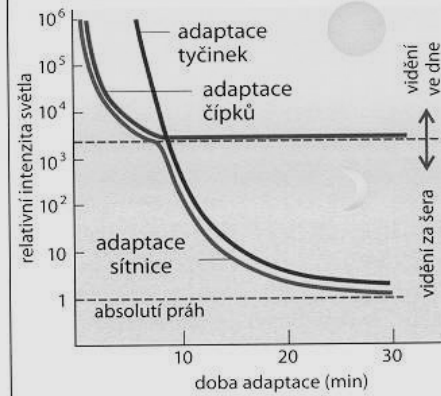


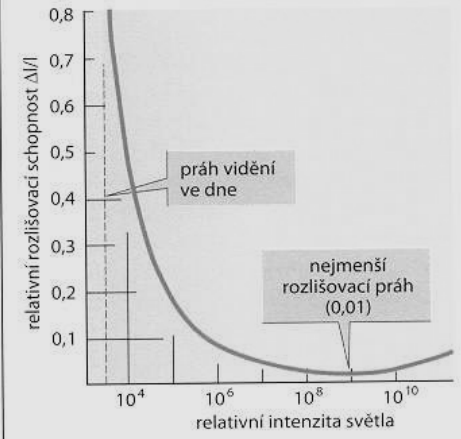
Figure 16.13 Regeneration of 11-*cis* retinal. Explanation in text. IRBP = interphotoreceptor retinoid binding protein; Rh = rhodopsin; Rh* = activated rhodopsin. Simplified from Harding, 1997



A. Průběh adaptace

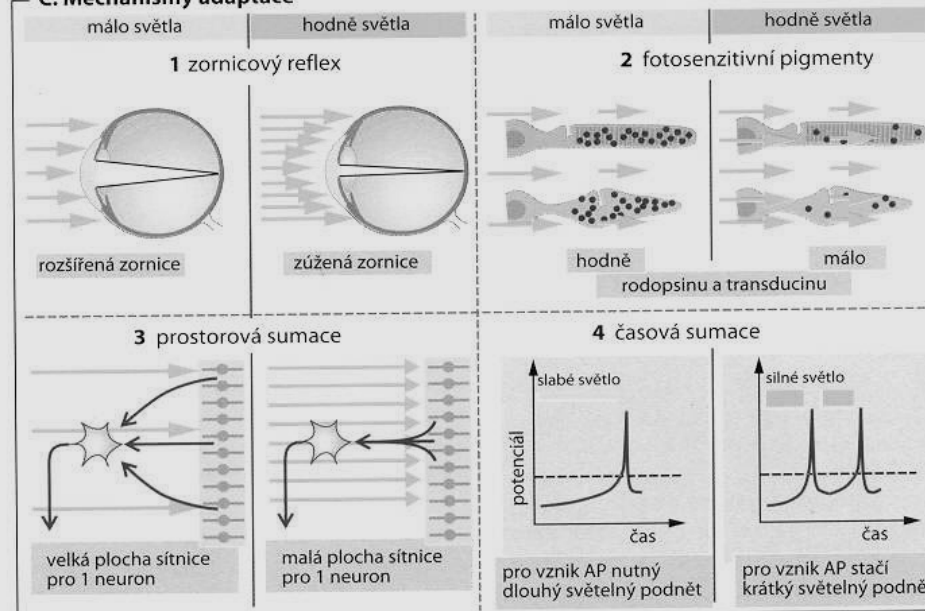


B. Rozlišovací práh a intenzita světla

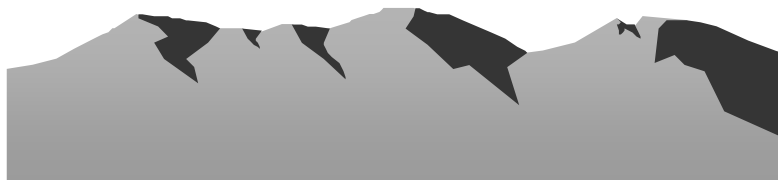
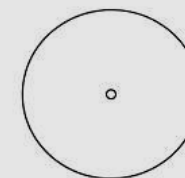


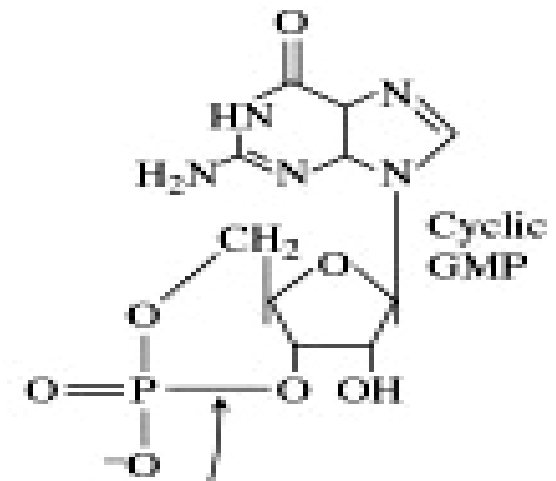
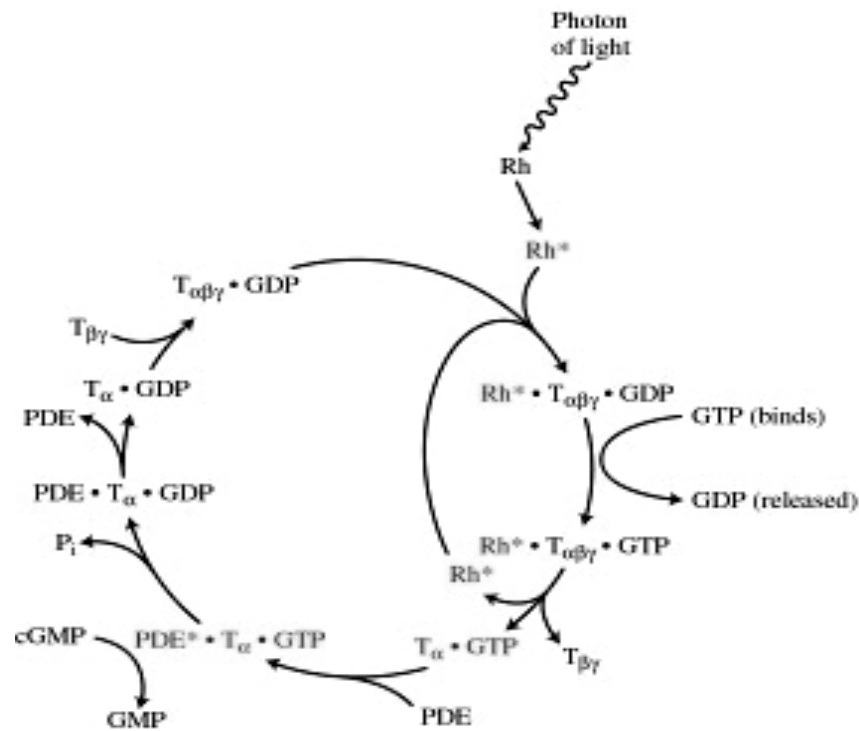
(podle G. Schuberta)

C. Mechanismy adaptace



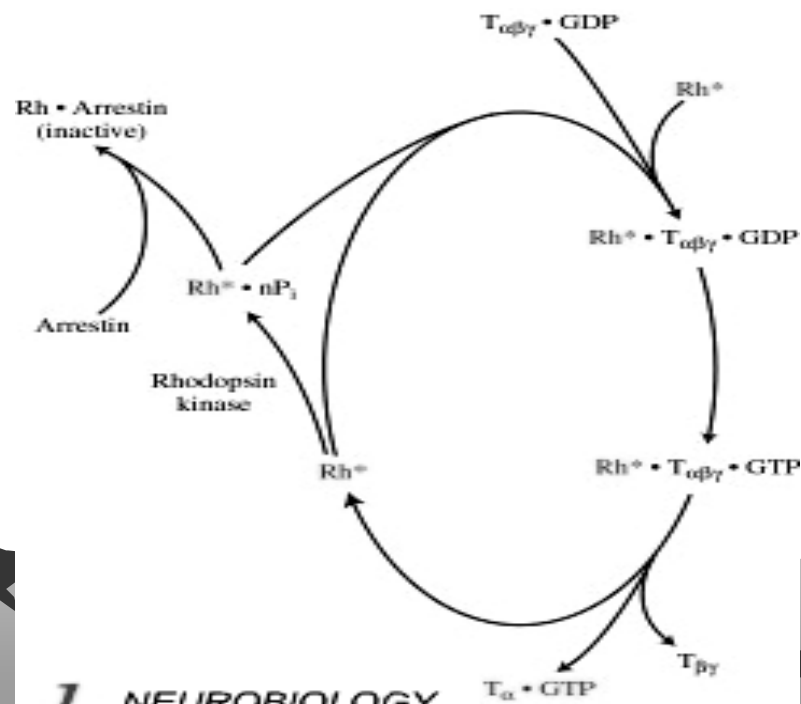
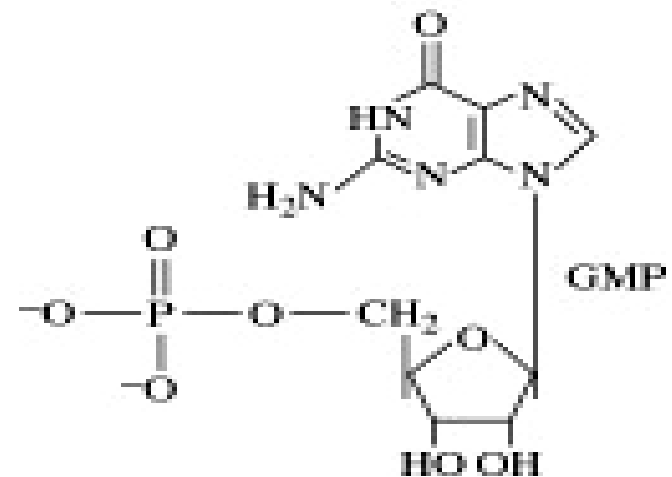
D. Sukcesivní kontrast („lokální adaptace“) viz text





Chemical bond
broken by PDE

PDE

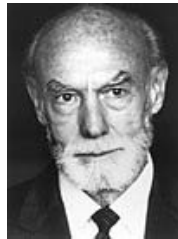


The Nobel Prize in Physiology or Medicine 1981



"for his discoveries concerning the functional specialization of the cerebral hemispheres"

"for their discoveries concerning information processing in the visual system"



Roger W. Sperry

1/2 of the prize

USA

California Institute of Technology
Pasadena, CA, USA

b. 1913
d. 1994



David H. Hubel

1/4 of the prize

USA

Harvard Medical School
Boston, MA, USA

b. 1926
(in Windsor, ON, Canada)



Torsten N. Wiesel

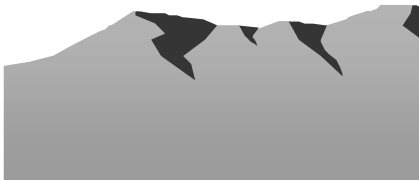
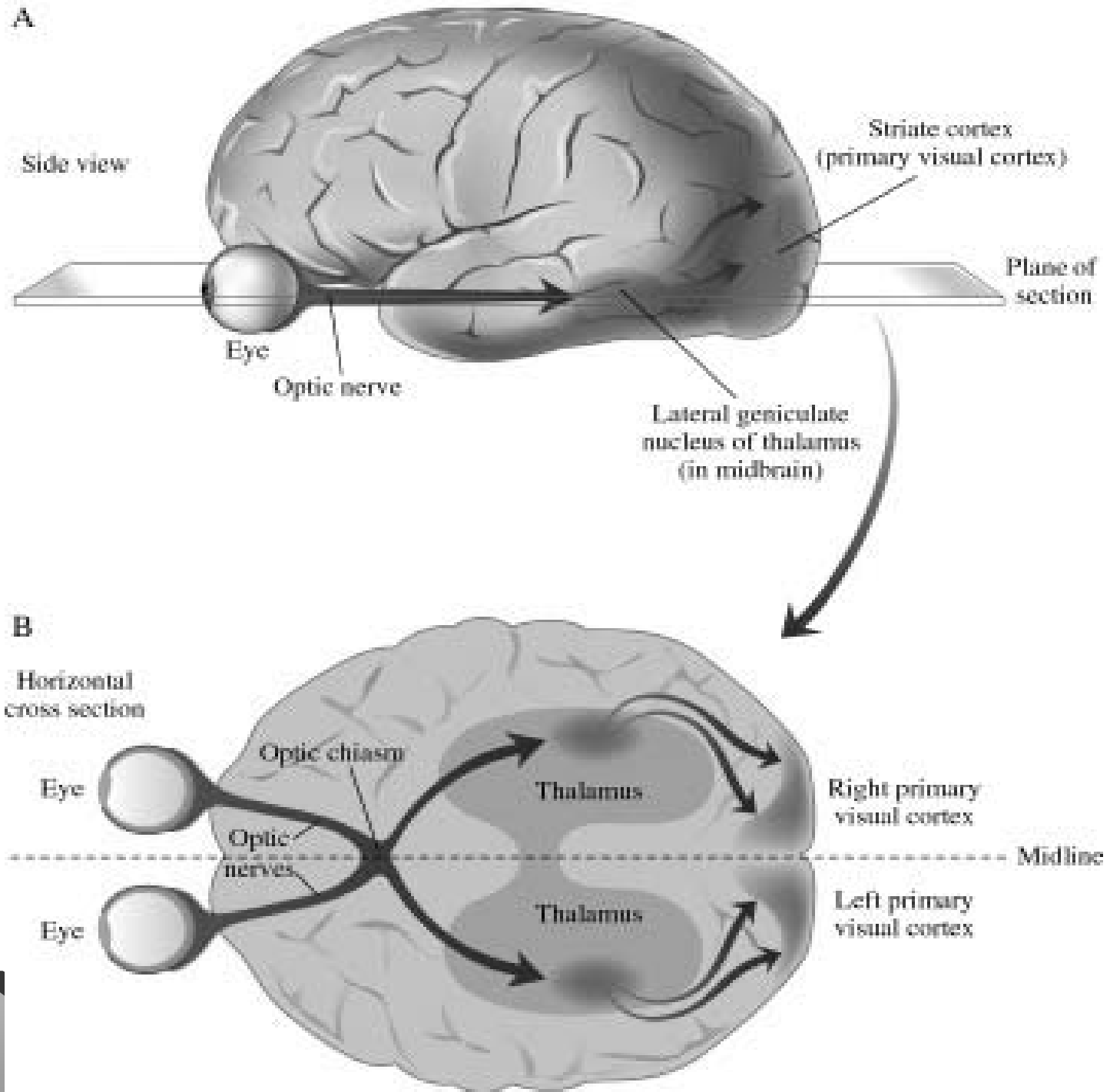
1/4 of the prize

Sweden

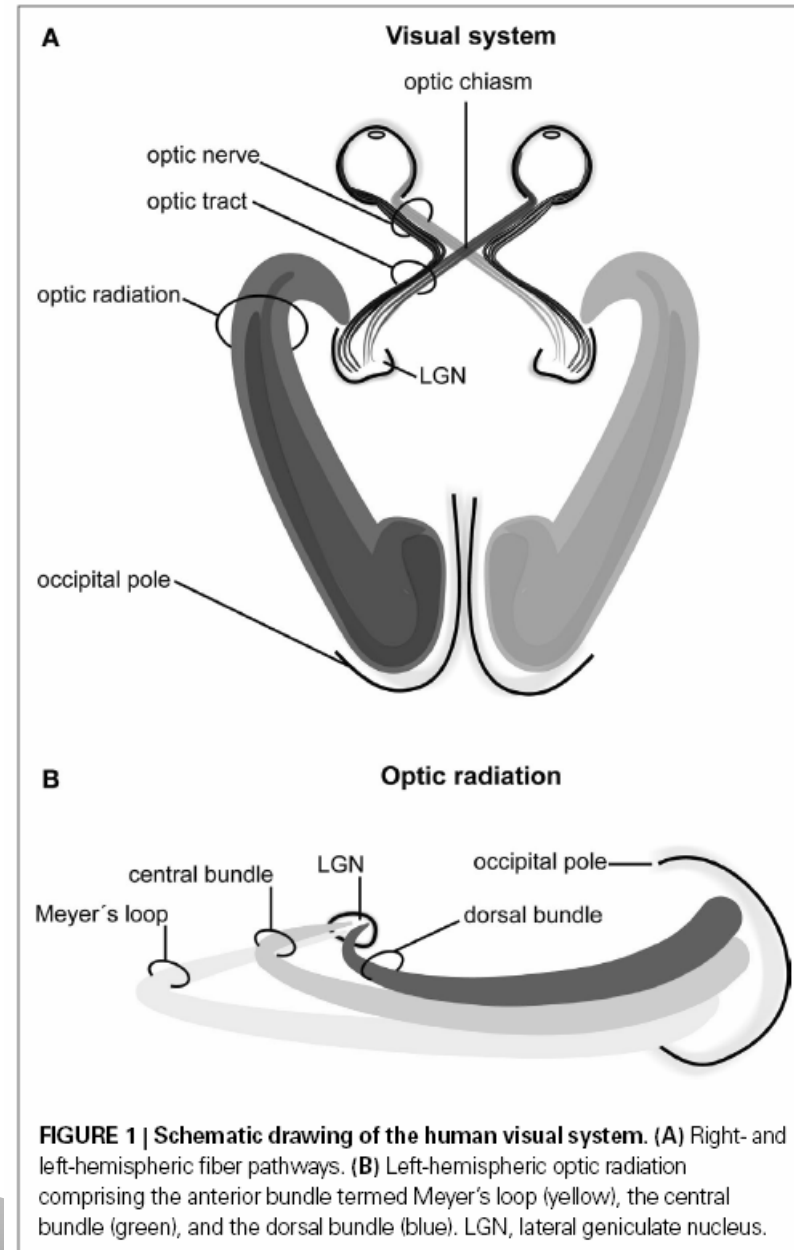
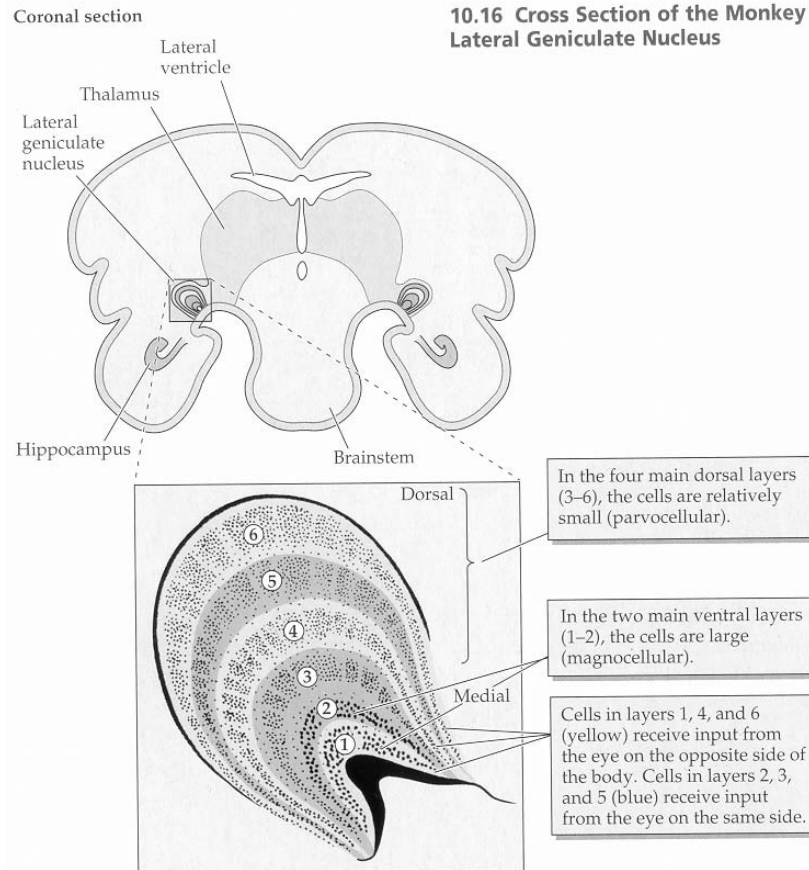
Harvard Medical School
Boston, MA, USA

b. 1924

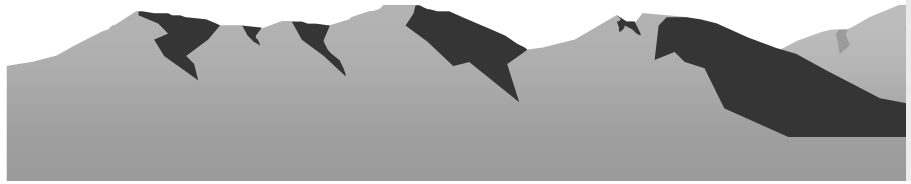
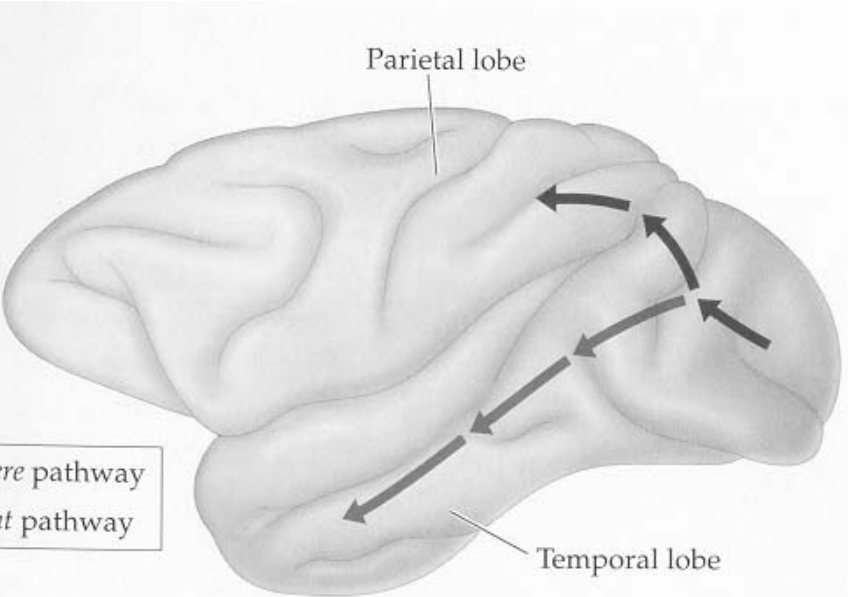
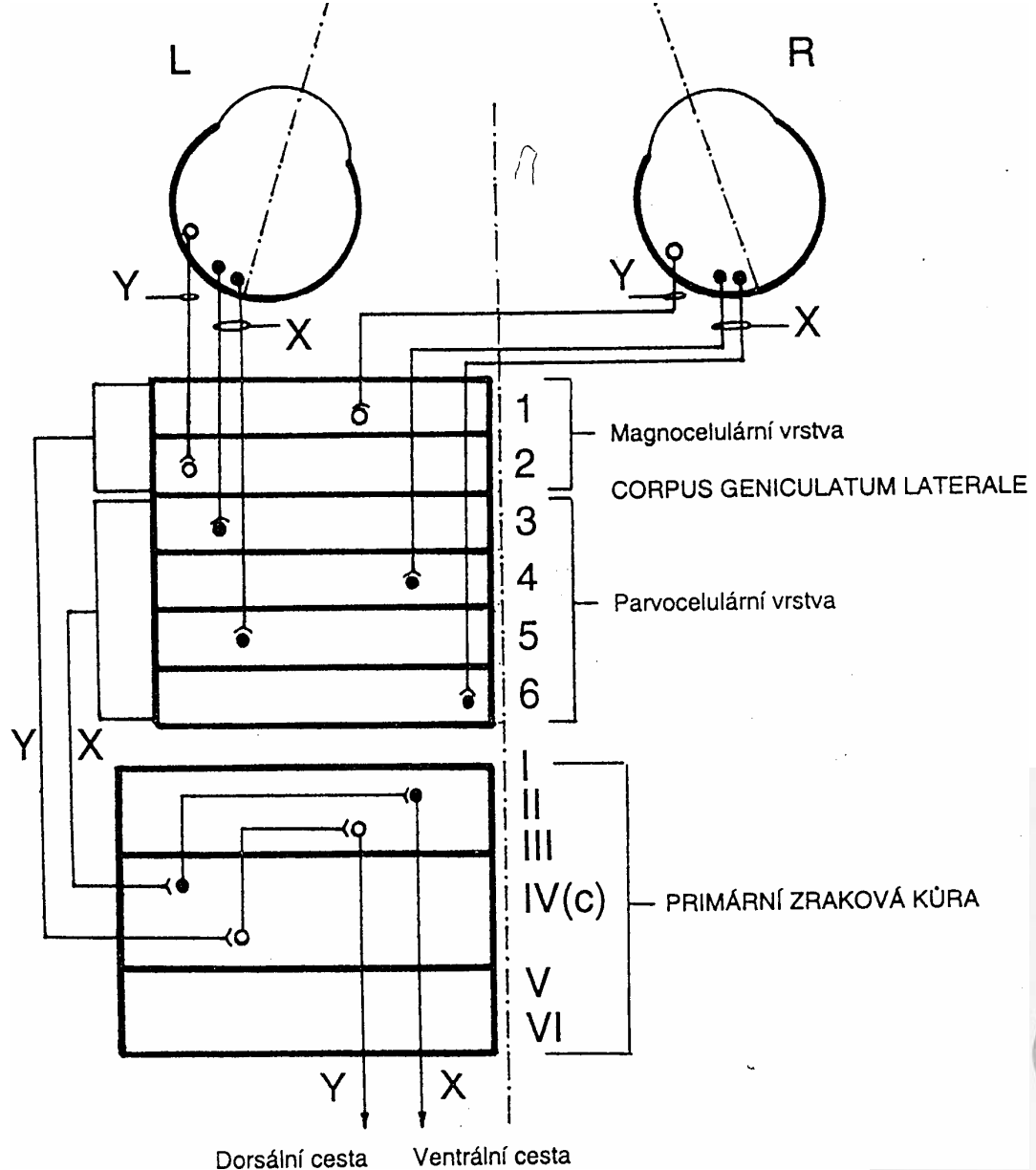
Zraková dráha

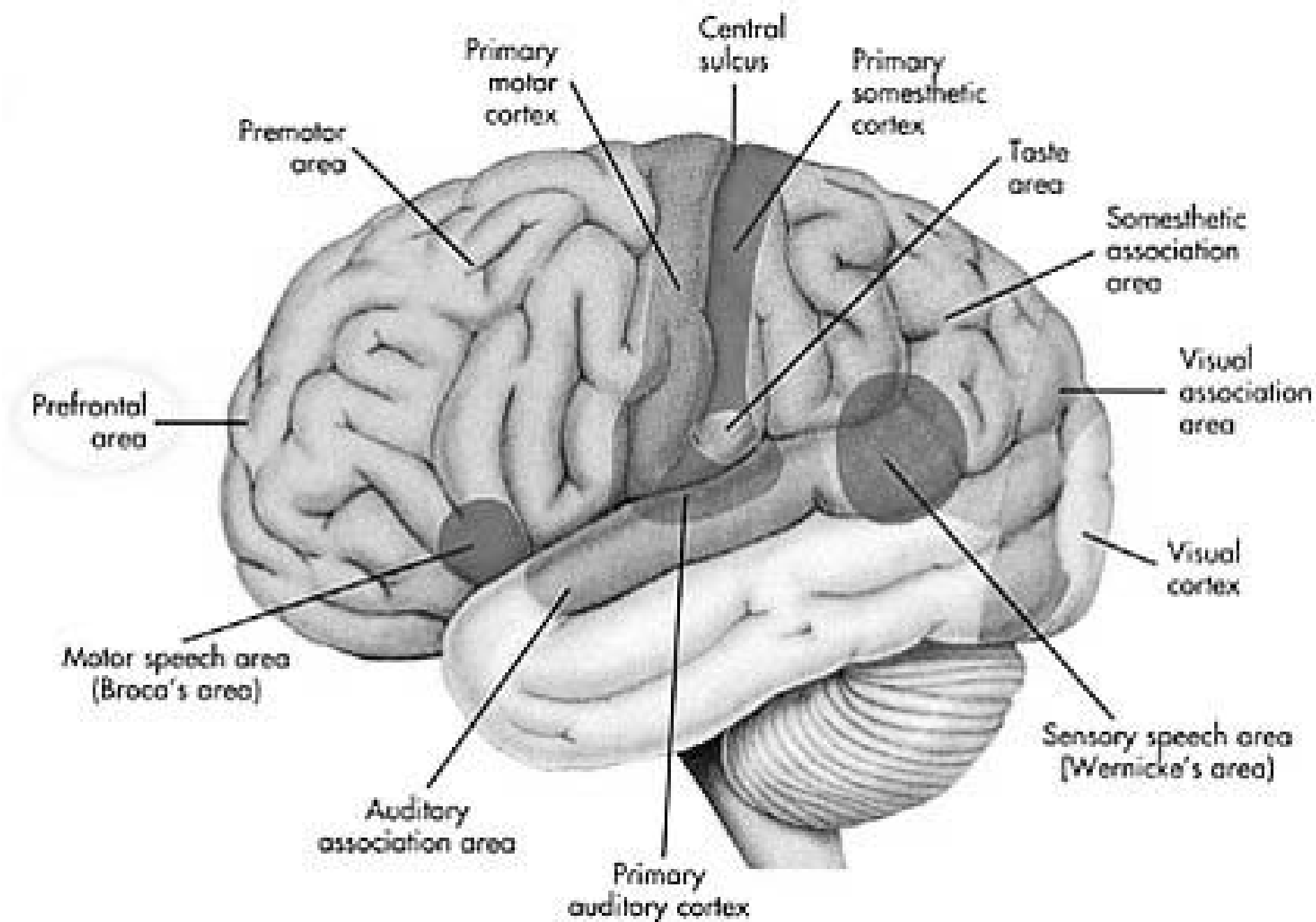


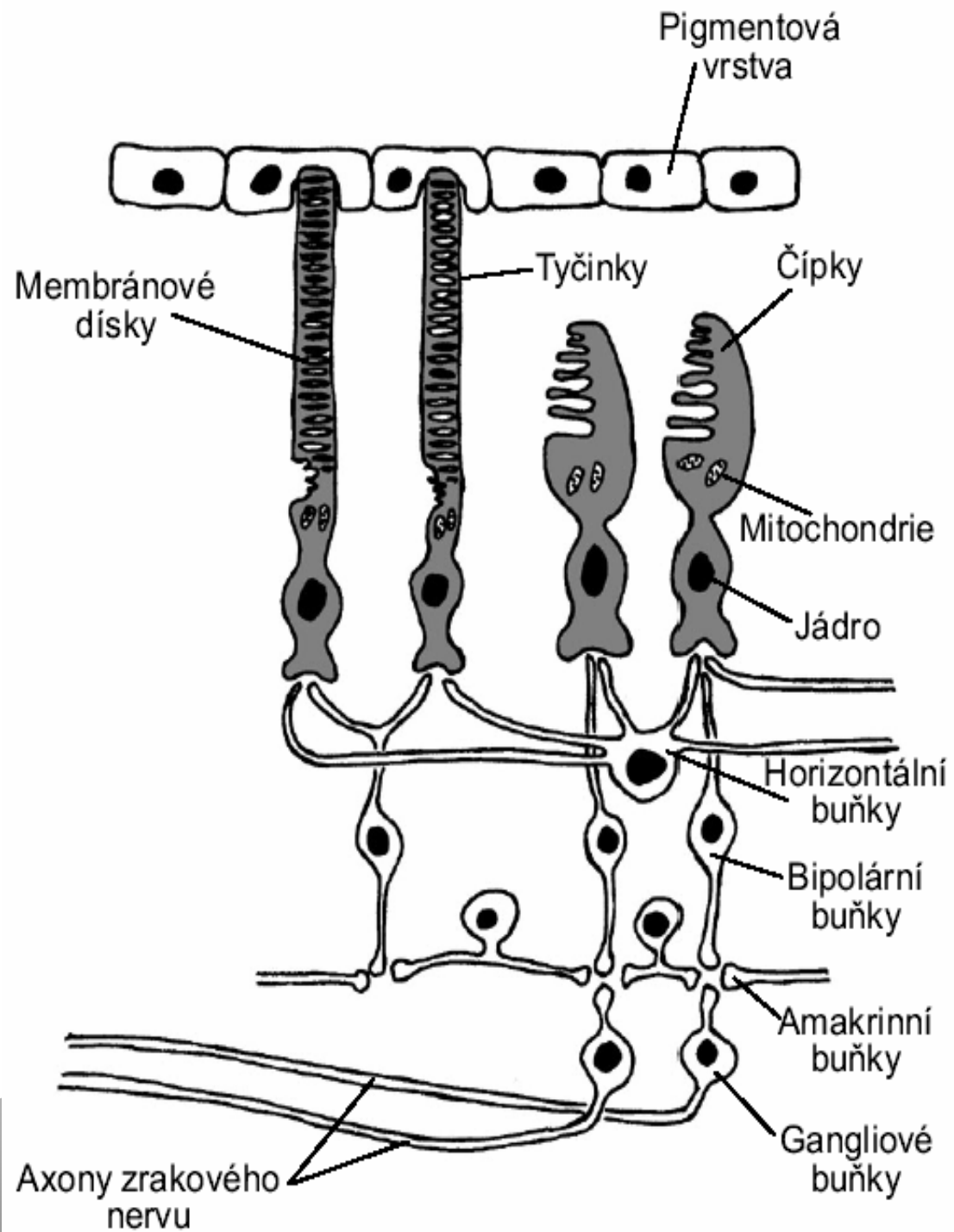
Zraková dráha



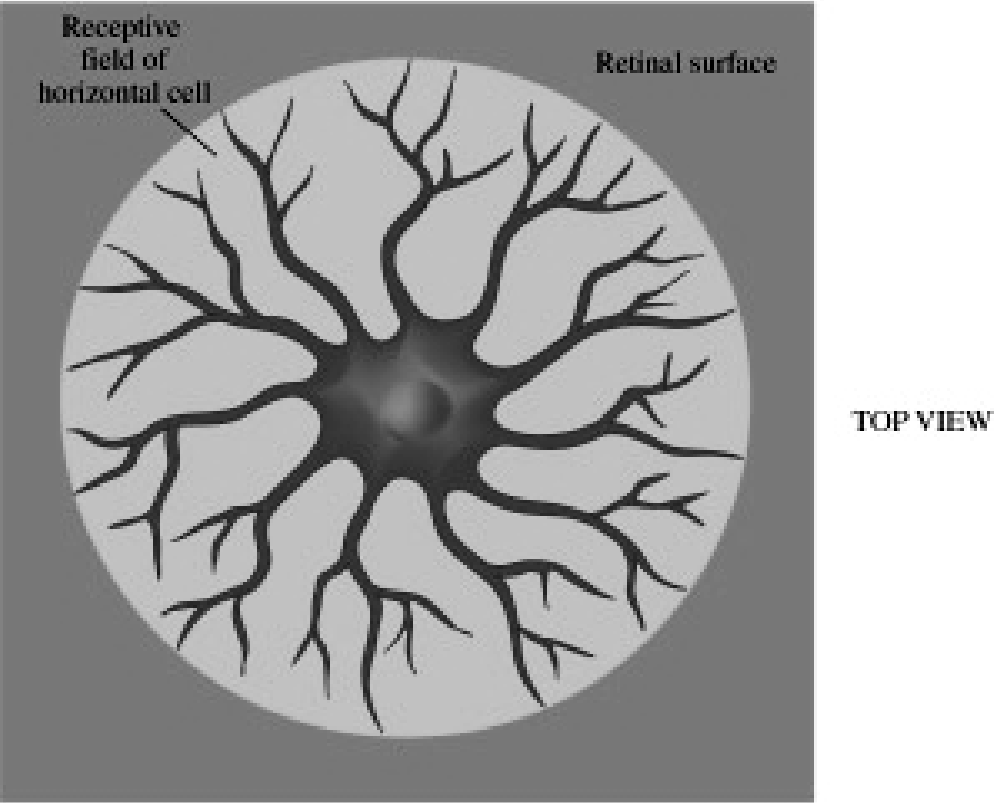
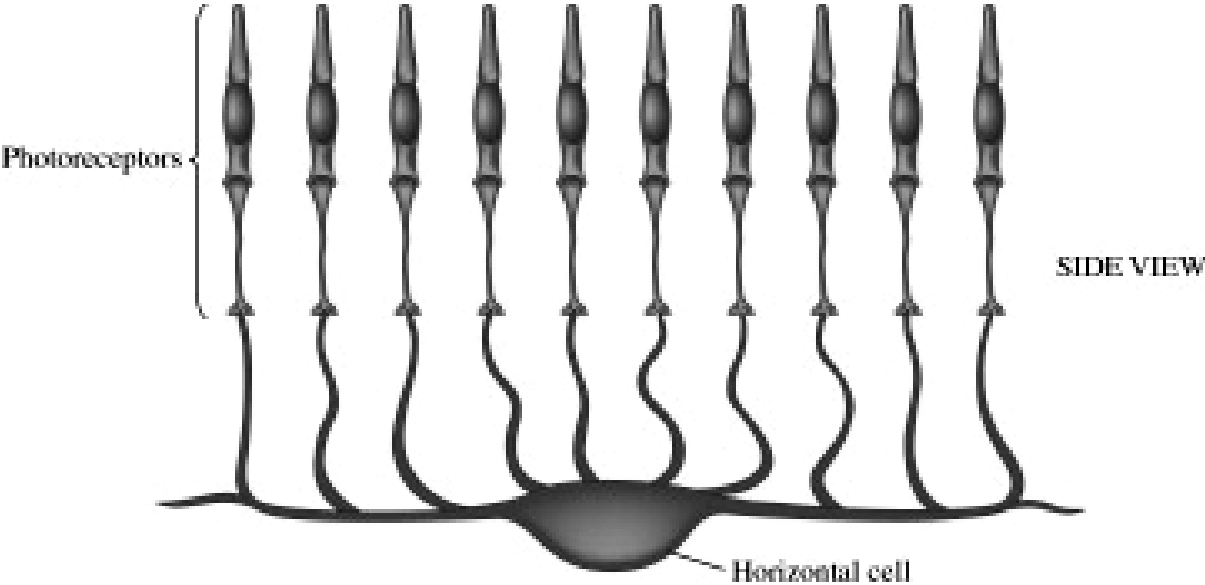
Dvě samostatné sub-dráhy od sítnice až po kůru.



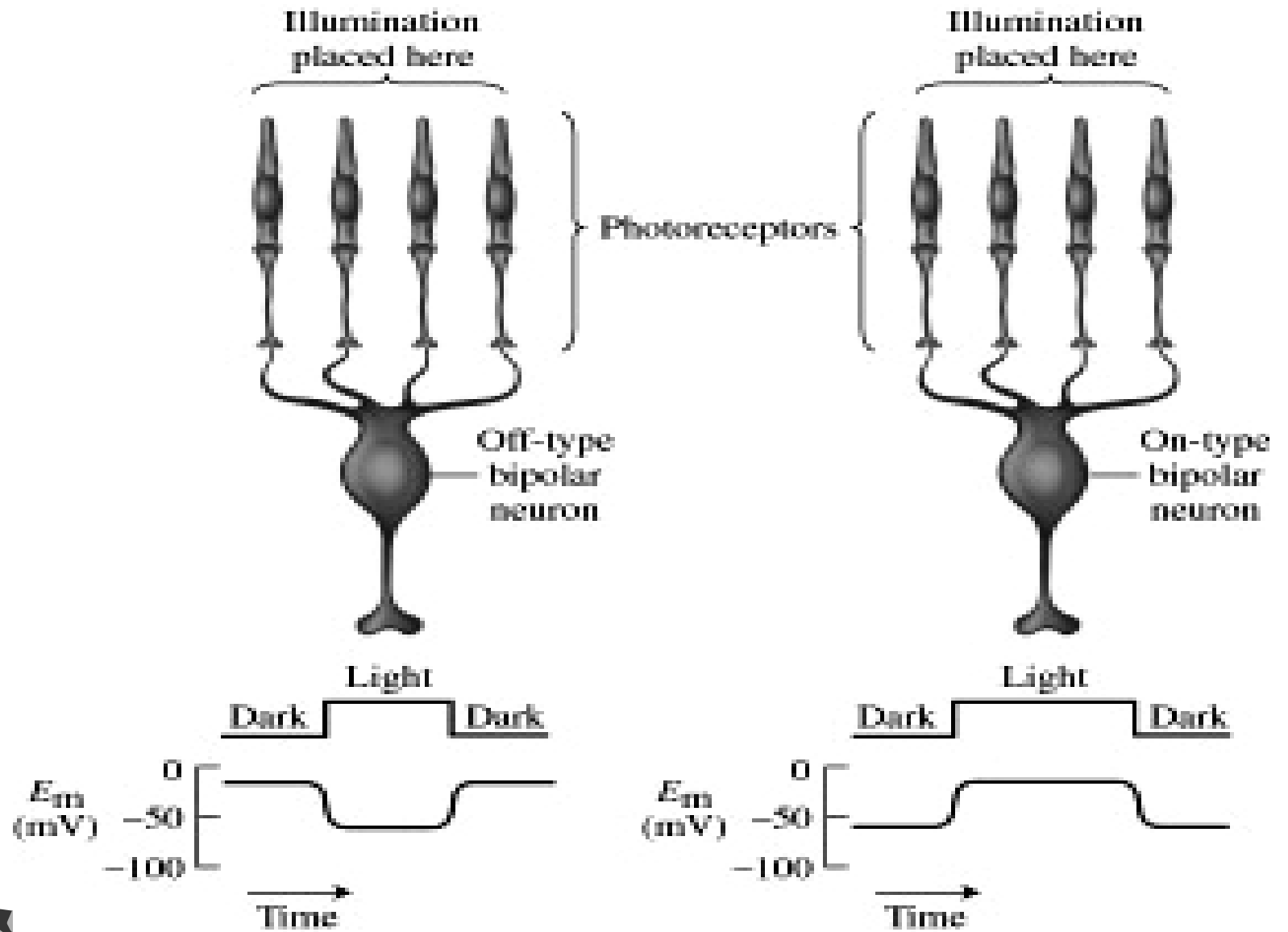




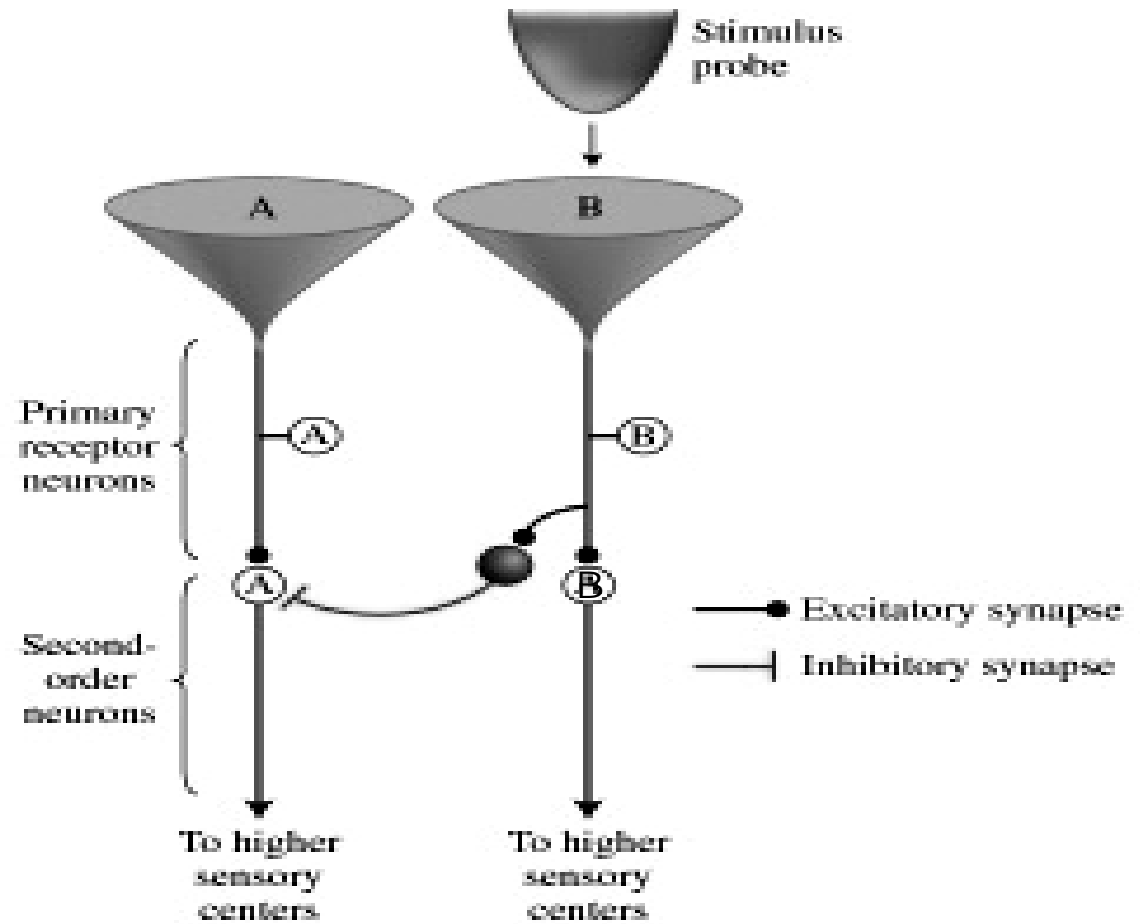
Receptivní pole ve zrakovém systému



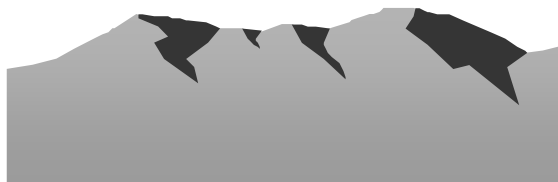
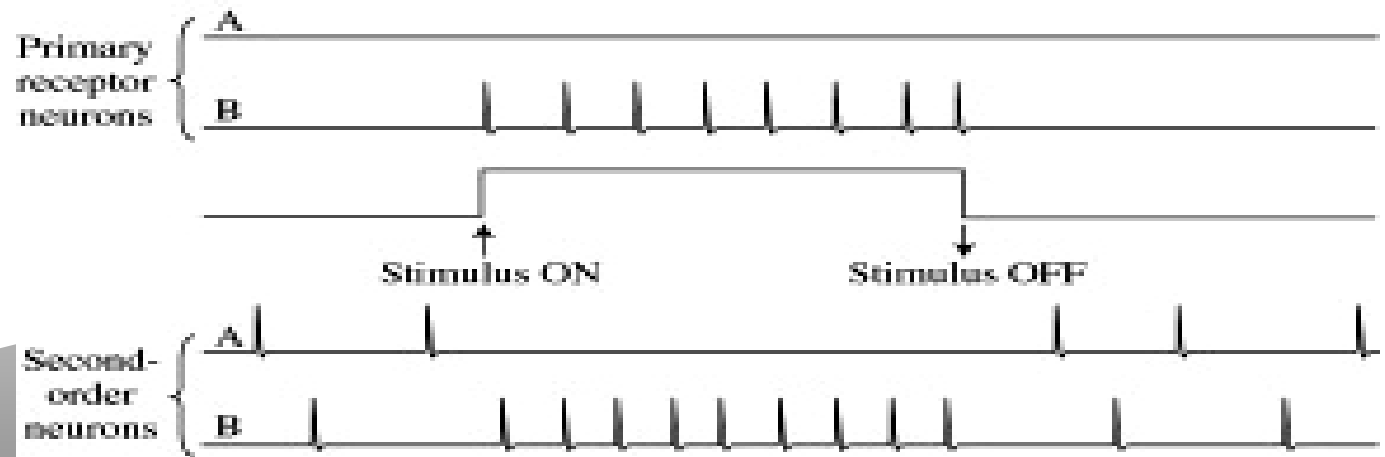
ON a OFF typy bipolárních neuronů.

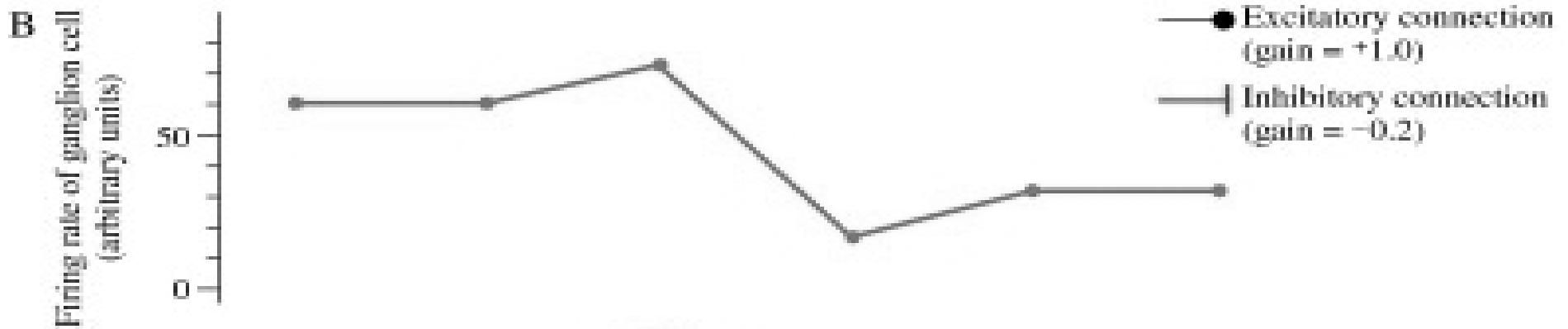
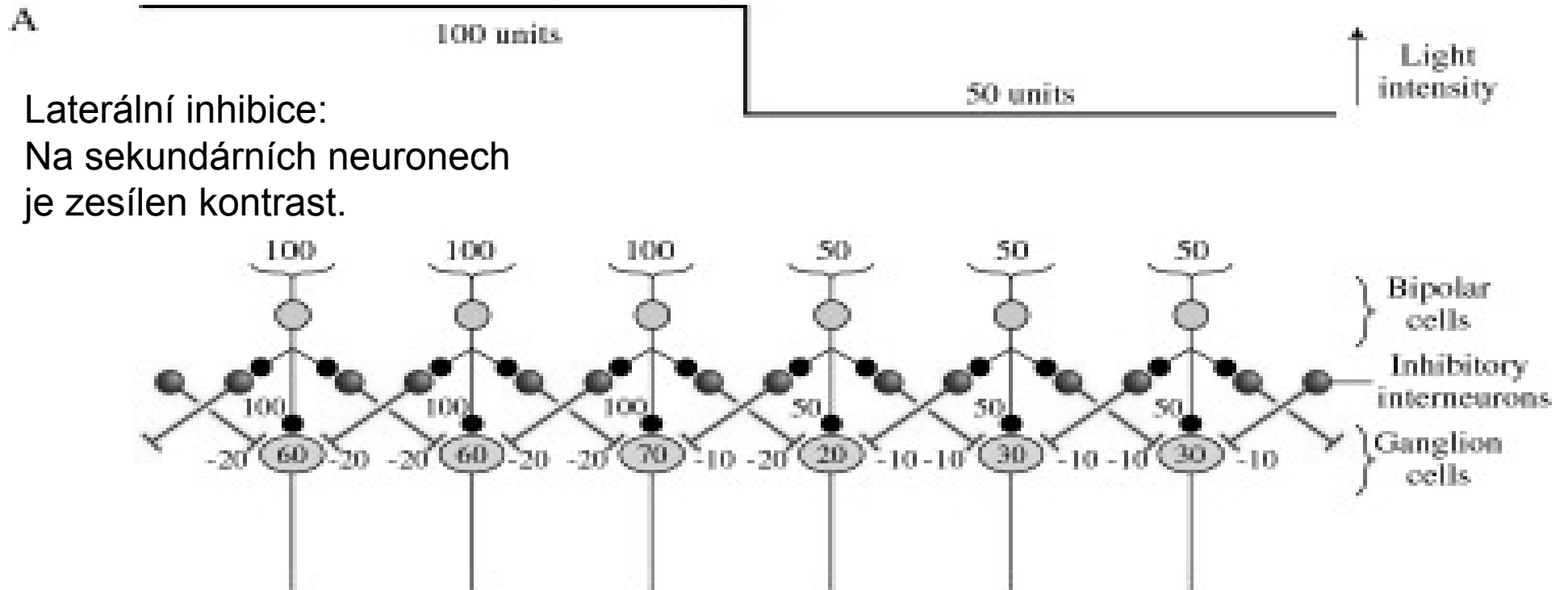


Laterální inhibice:
 Na sekundárních neuronech^A
 je zesílen kontrast. Silný
 posílí, slabý oslabí



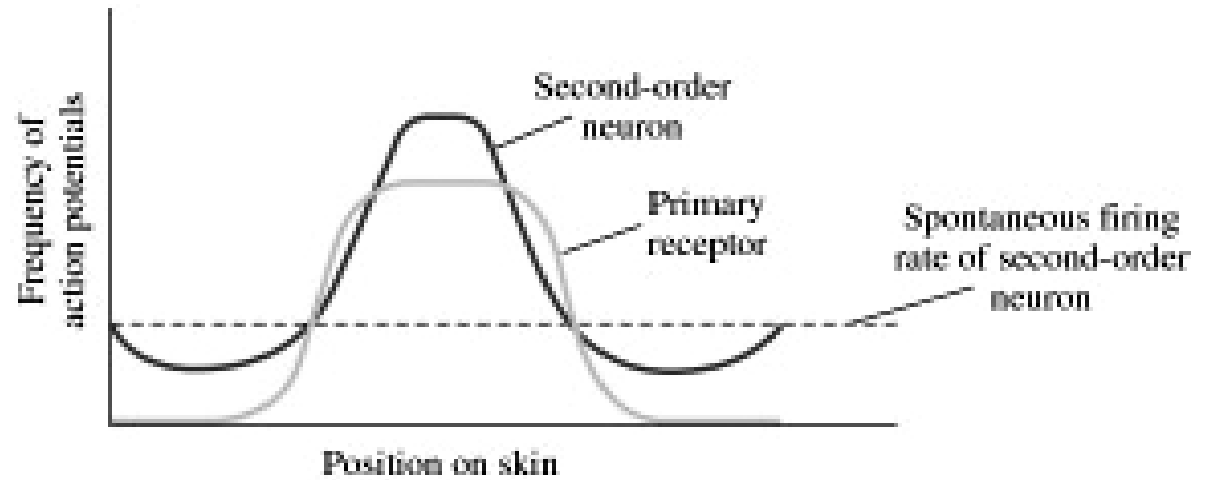
B



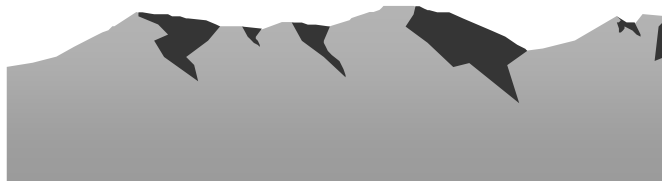
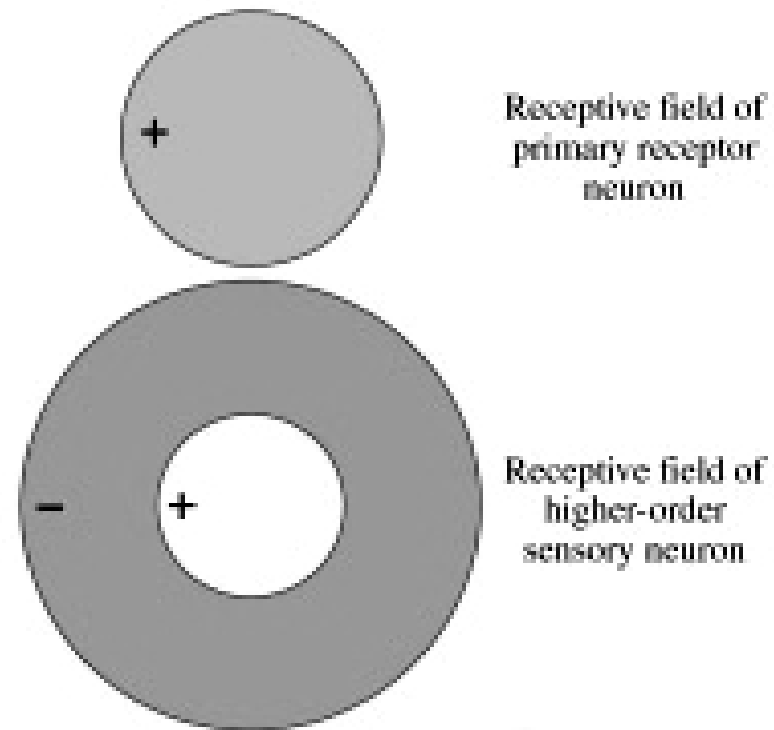


Laterální inhibice:
Na sekundárních neuronech
je zesílen kontrast.
Změna velikosti a struktury
receptivního pole.

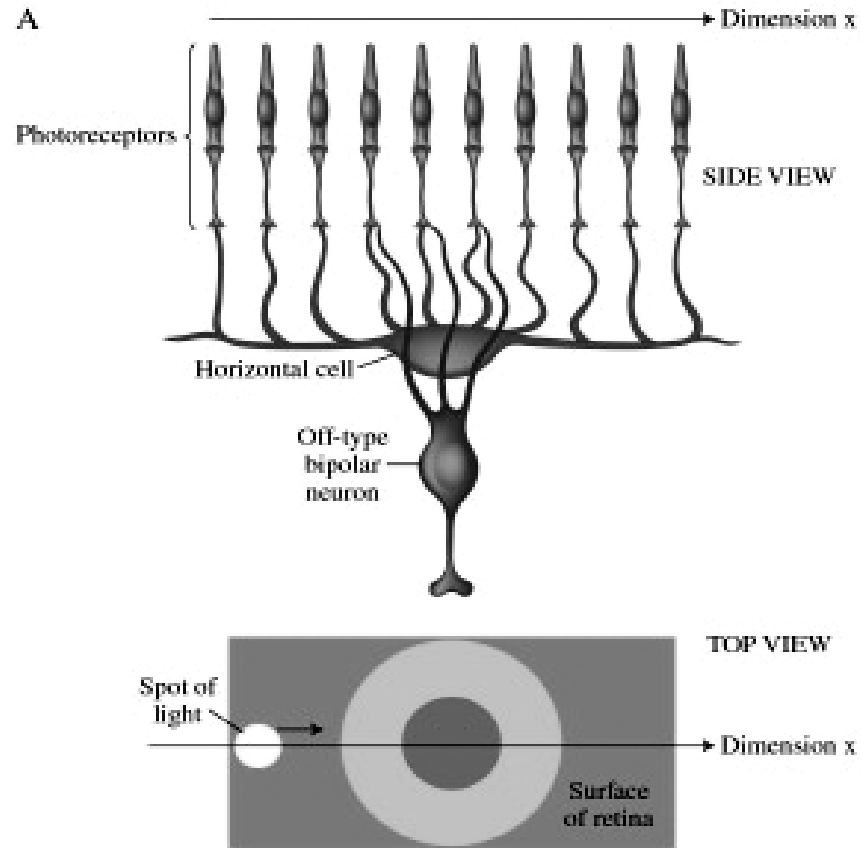
A



B

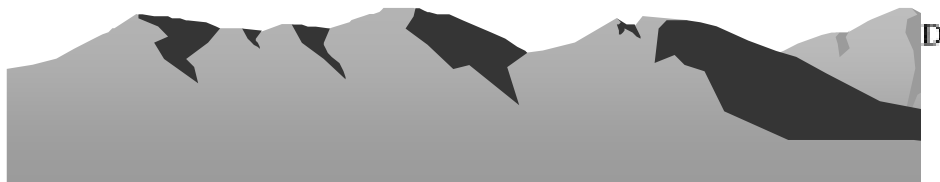
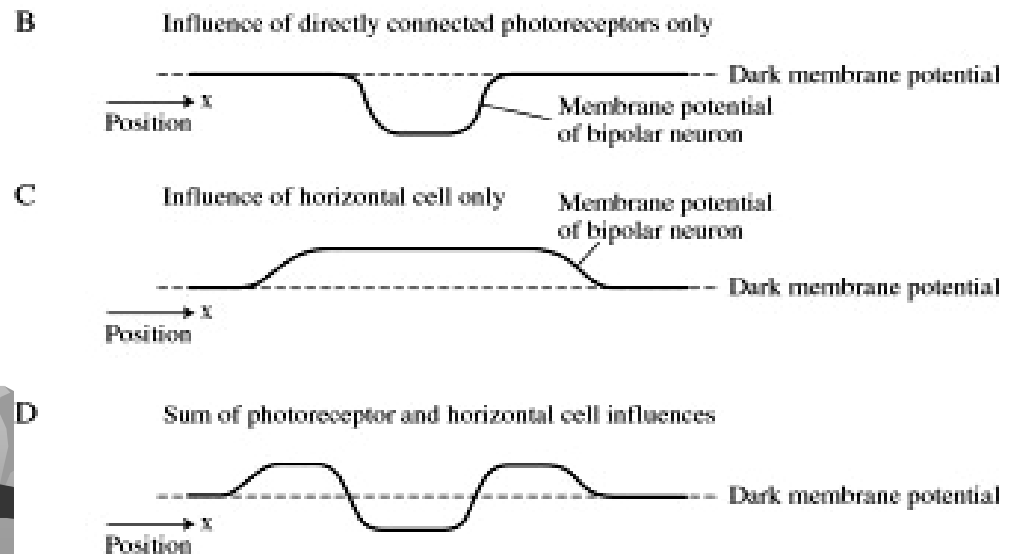


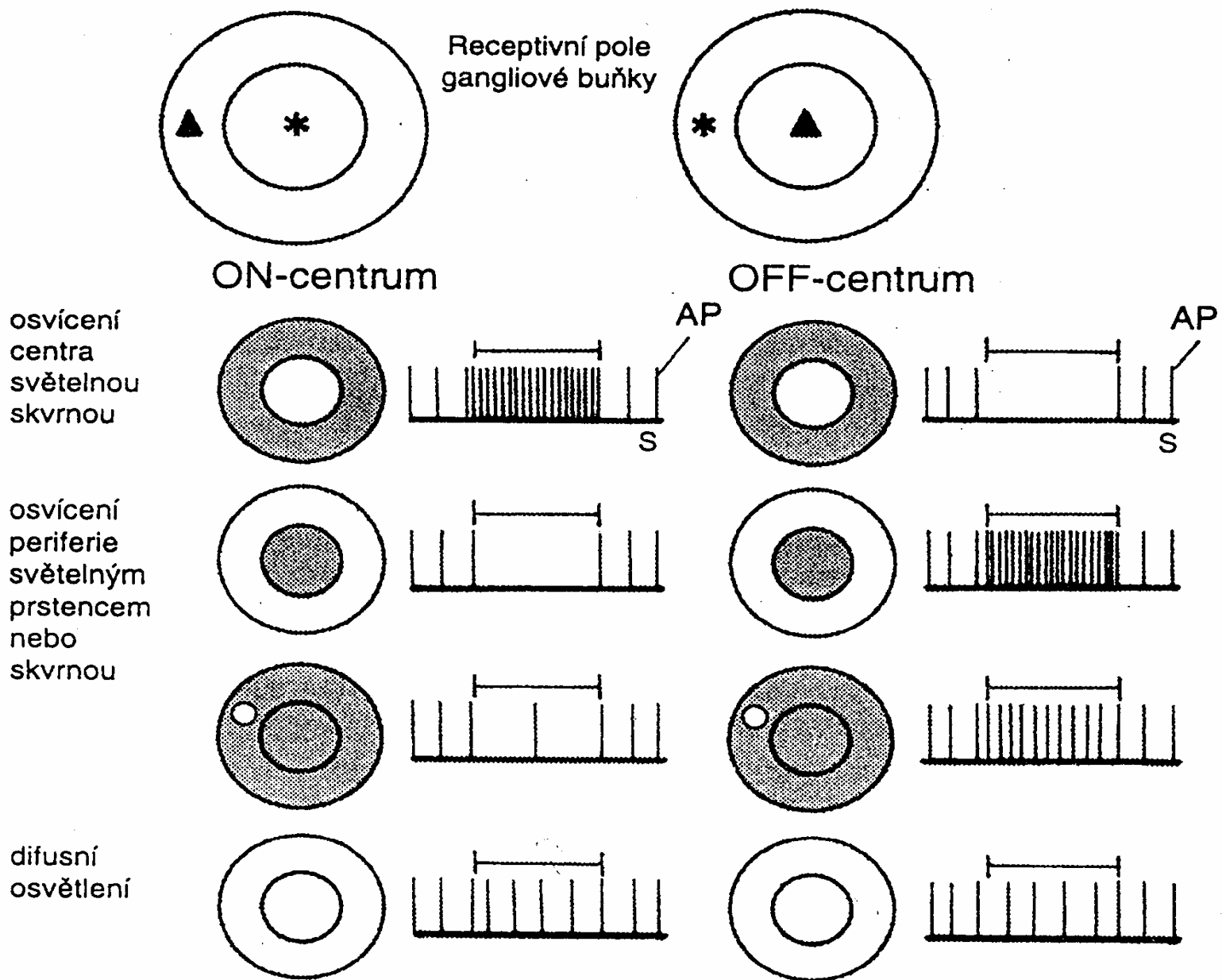
Laterální inhibice:
 Na sekundárních neuronech
 je zesílen kontrast.
 Změna velikosti a struktury
 receptivního pole.



Video receptivní pole

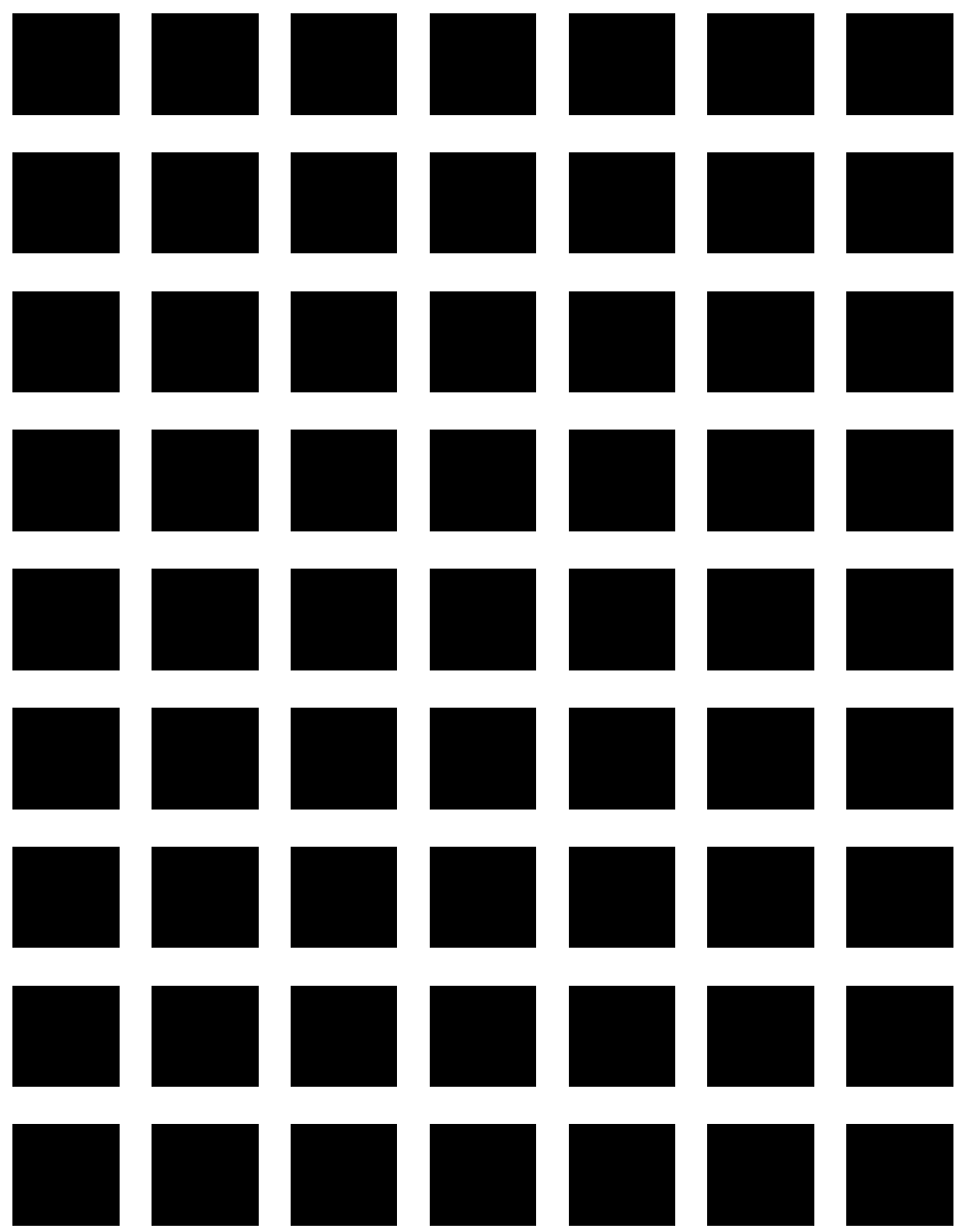
Video receptivní pole





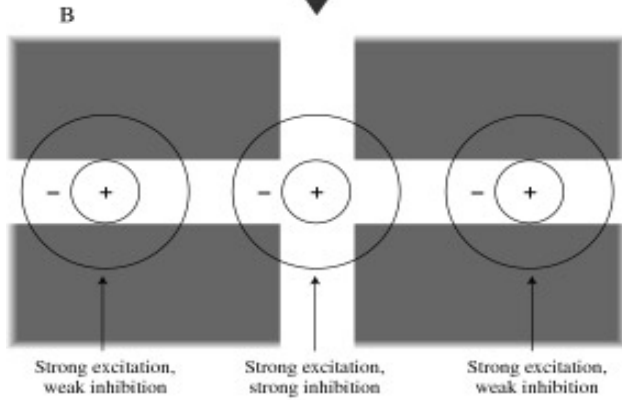
Záznam elektrické aktivity gangliových buněk sítnice s ON a OFF centrem při osvětlení jednotlivých částí jejich receptivního pole. Úsečka nad záznamem elektrické aktivity značí trvání osvětlení v sekundách. AP – potenciál. * – excitační zóna ▲ – inhibiční zóna

Proč ty šedé flíčky?

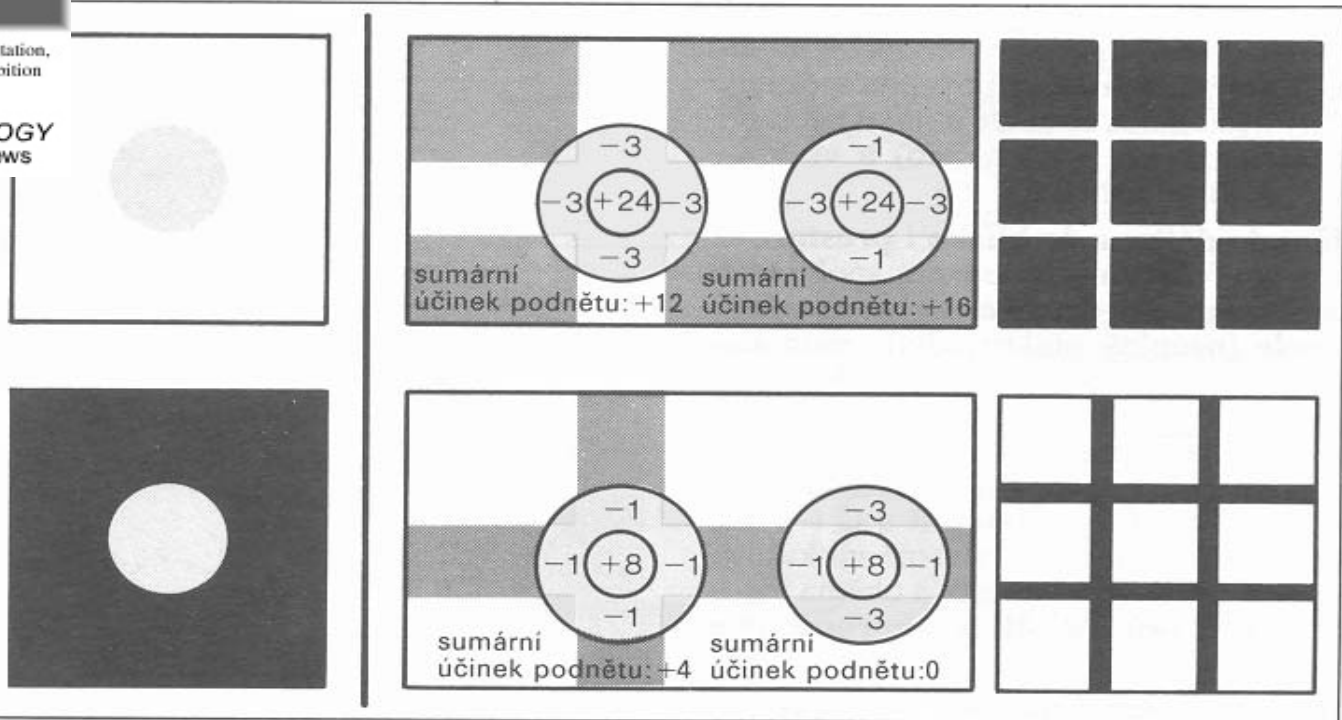




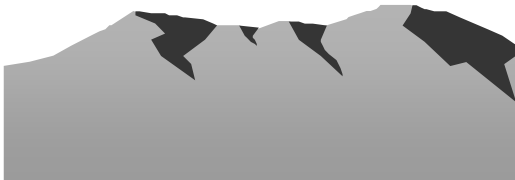
Proč ty šedé flíčky?
Vysvětlení přes recepční pole gangliových buněk.



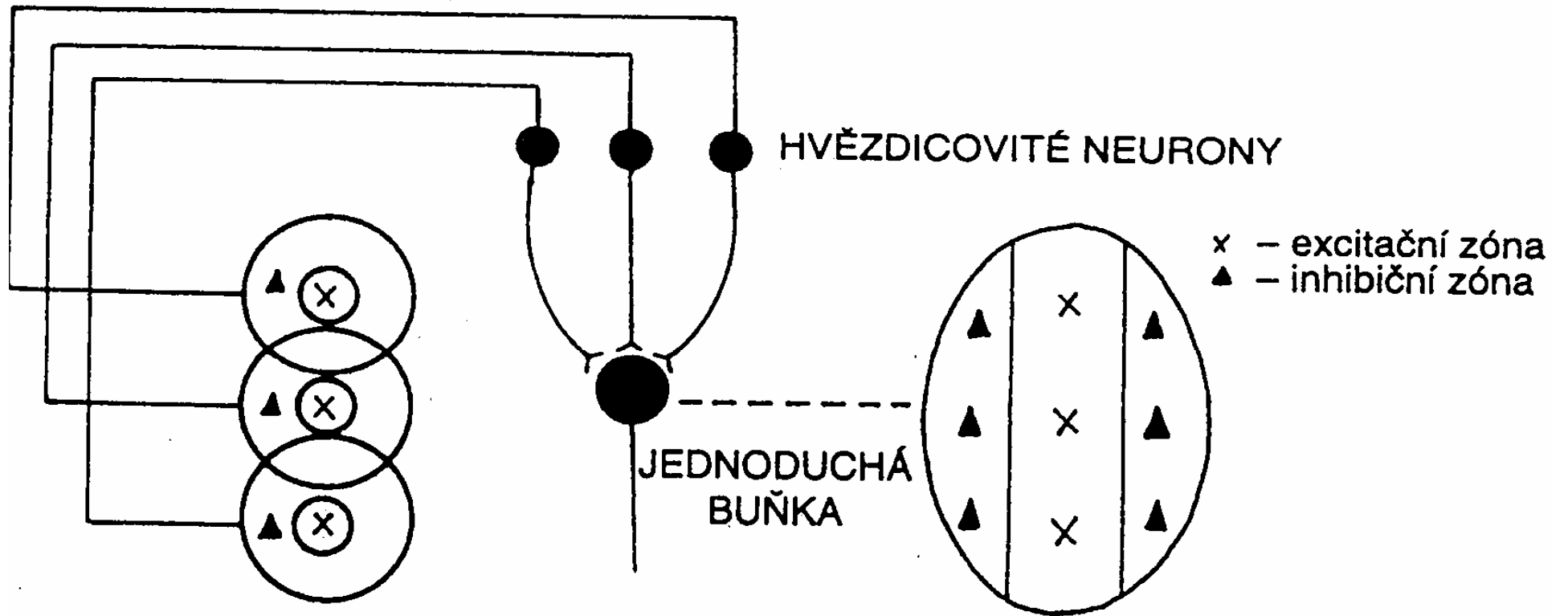
b NEUROBIOLOGY
Gary G. Matthews



C. Kontrast pomocí recepčního pole (on-centrum)



Skládání recepčních polí.

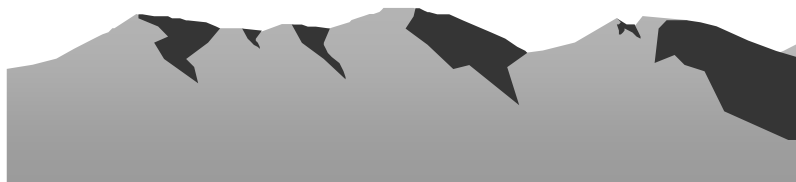
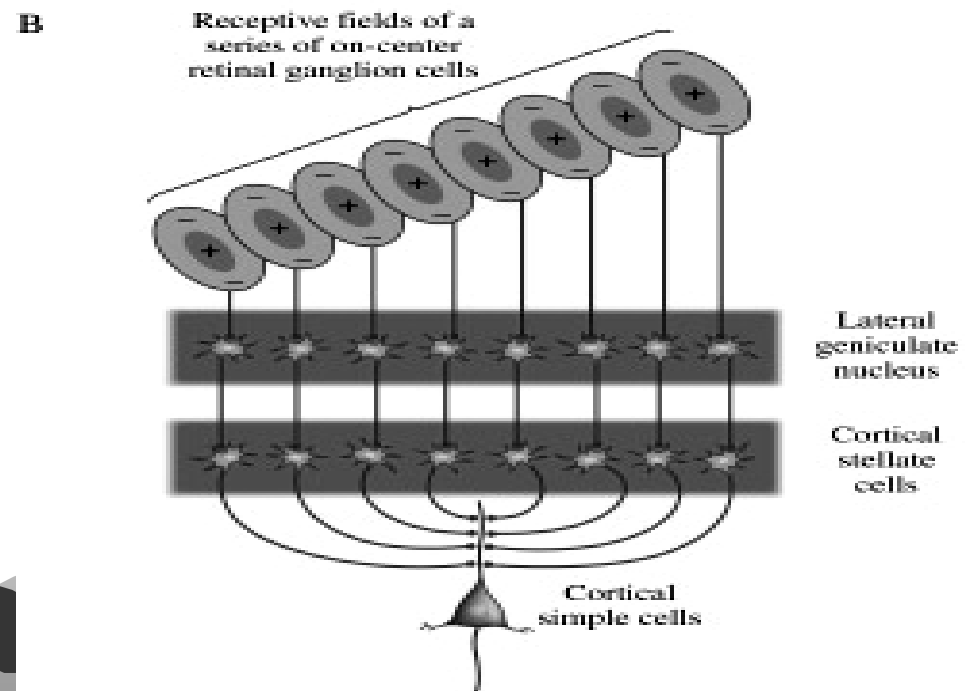
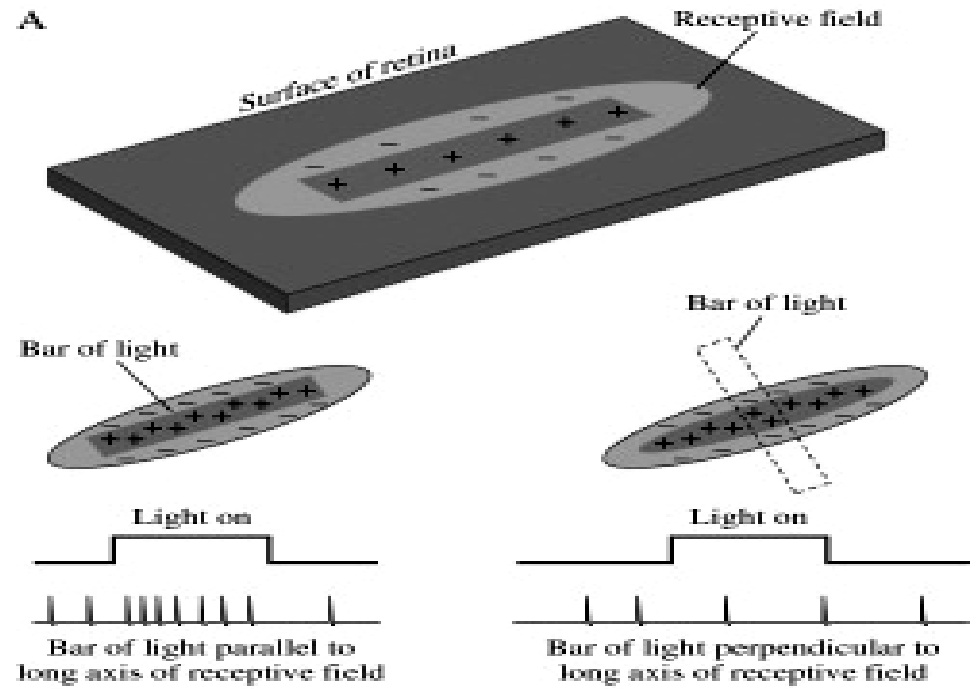


receptivní pole hvězdicovitých buněk

receptivní pole jednoduché buňky

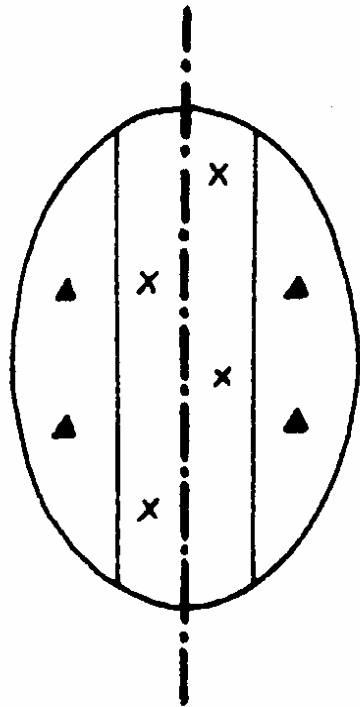


Jednoduchá buňka „měří“
sklon svého kontrastního pruhu

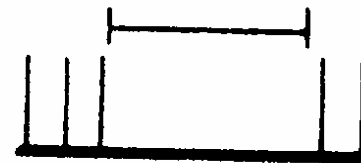
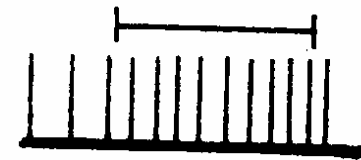
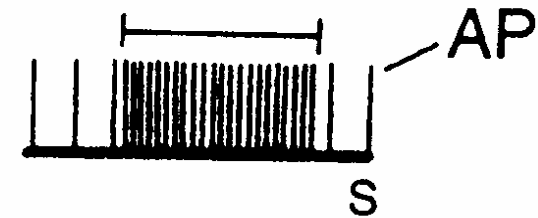
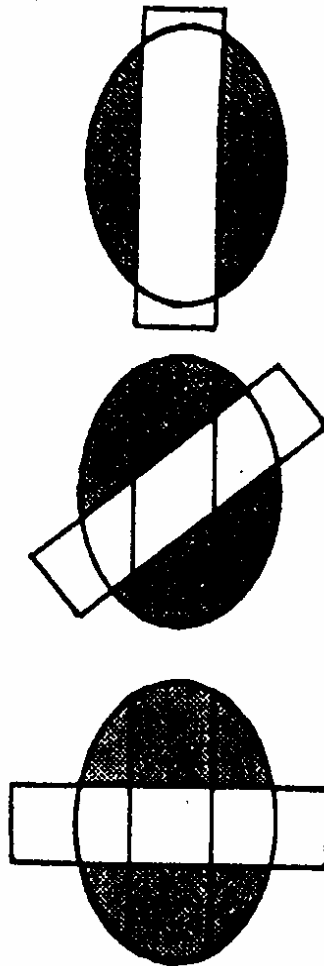


Jednoduchá buňka „měří“
sklon svého kontrastního pruhu

Receptivní pole
jednoduché buňky



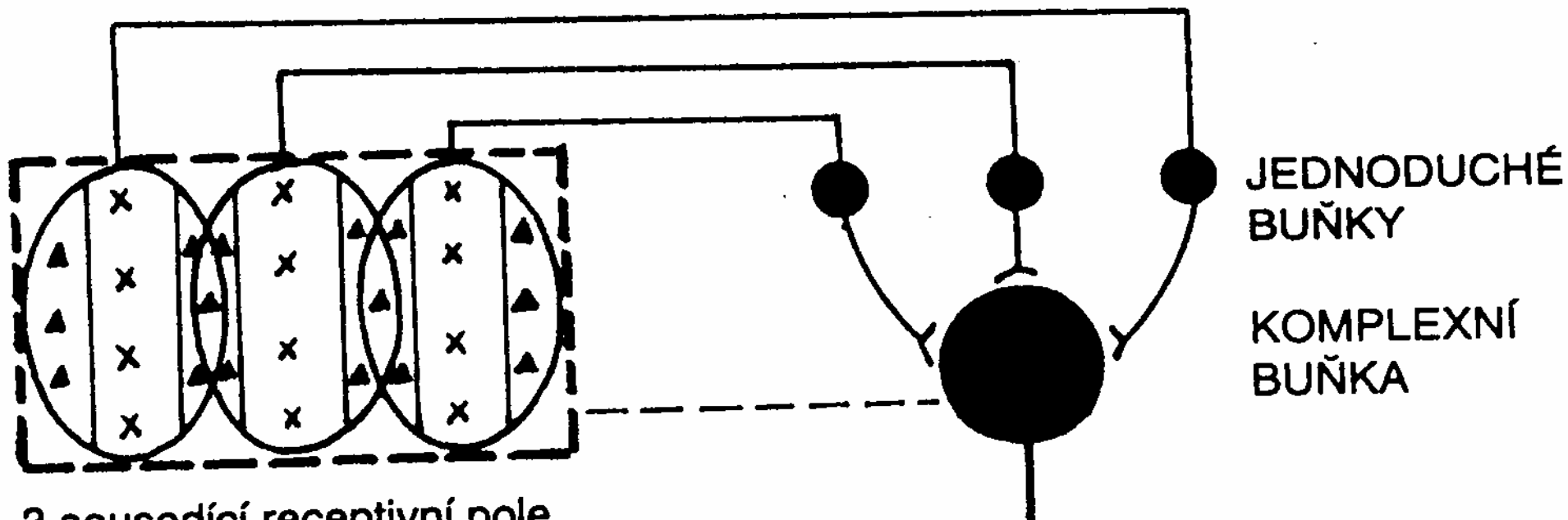
světelný
pruh



Vliv orientace vizuálního podnětu na elektrickou aktivitu jednoduché buňky. Úsečka nad záznamem elektrické aktivity značí trvání osvětlení v sekundách. AP – akční potenciál.

x – excitační zóna ▲ – inhibiční zóna

Komplexní buňka „měří“ sklon kontrastního pruhu bez ohledu na pozici na sítnici.



3 sousedící receptivní pole
jednoduchých buněk. V rámečku
zformované receptivní pole
komplexní buňky.

⊗ – excitační zóna

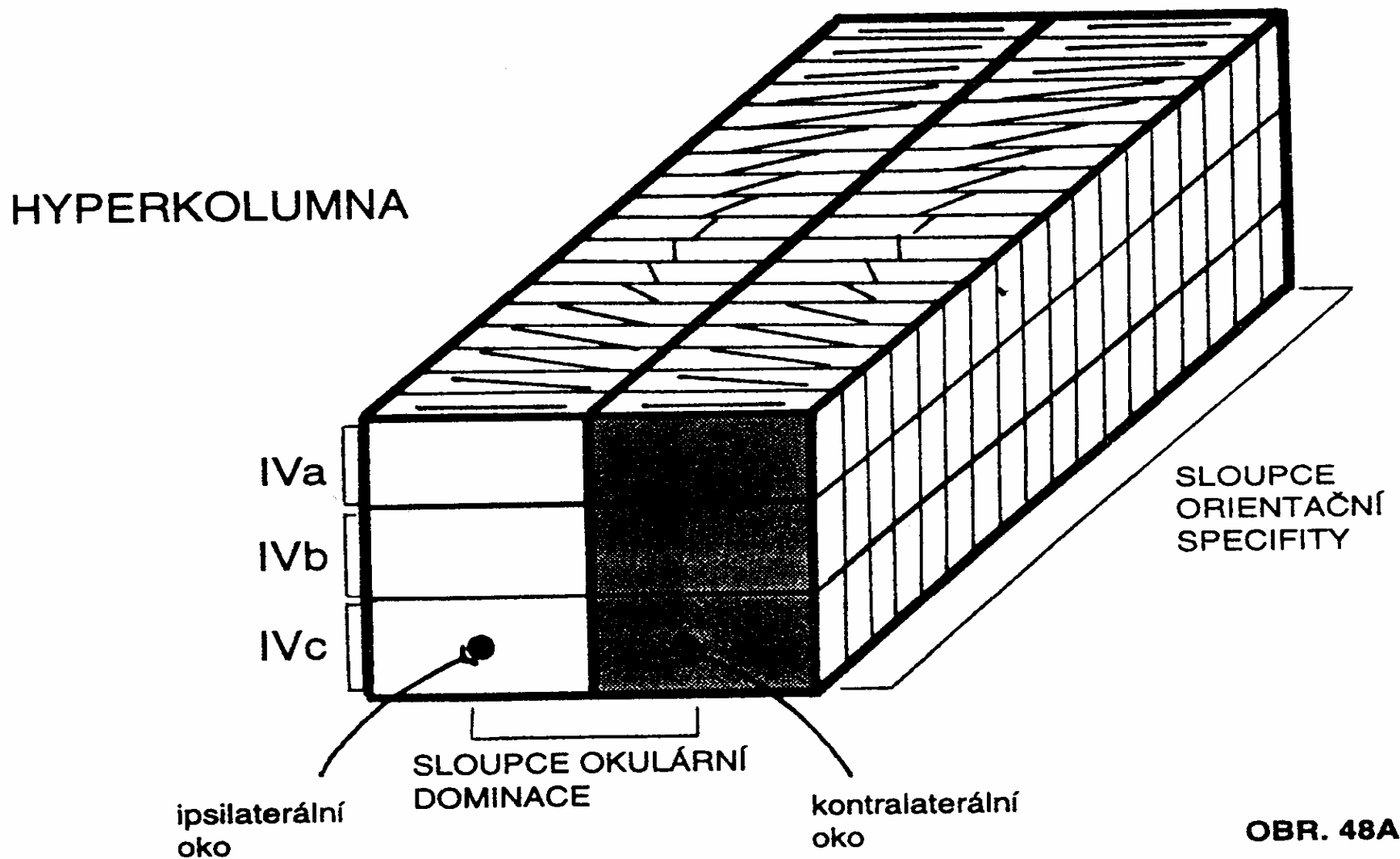
⊠ – inhibiční zóna

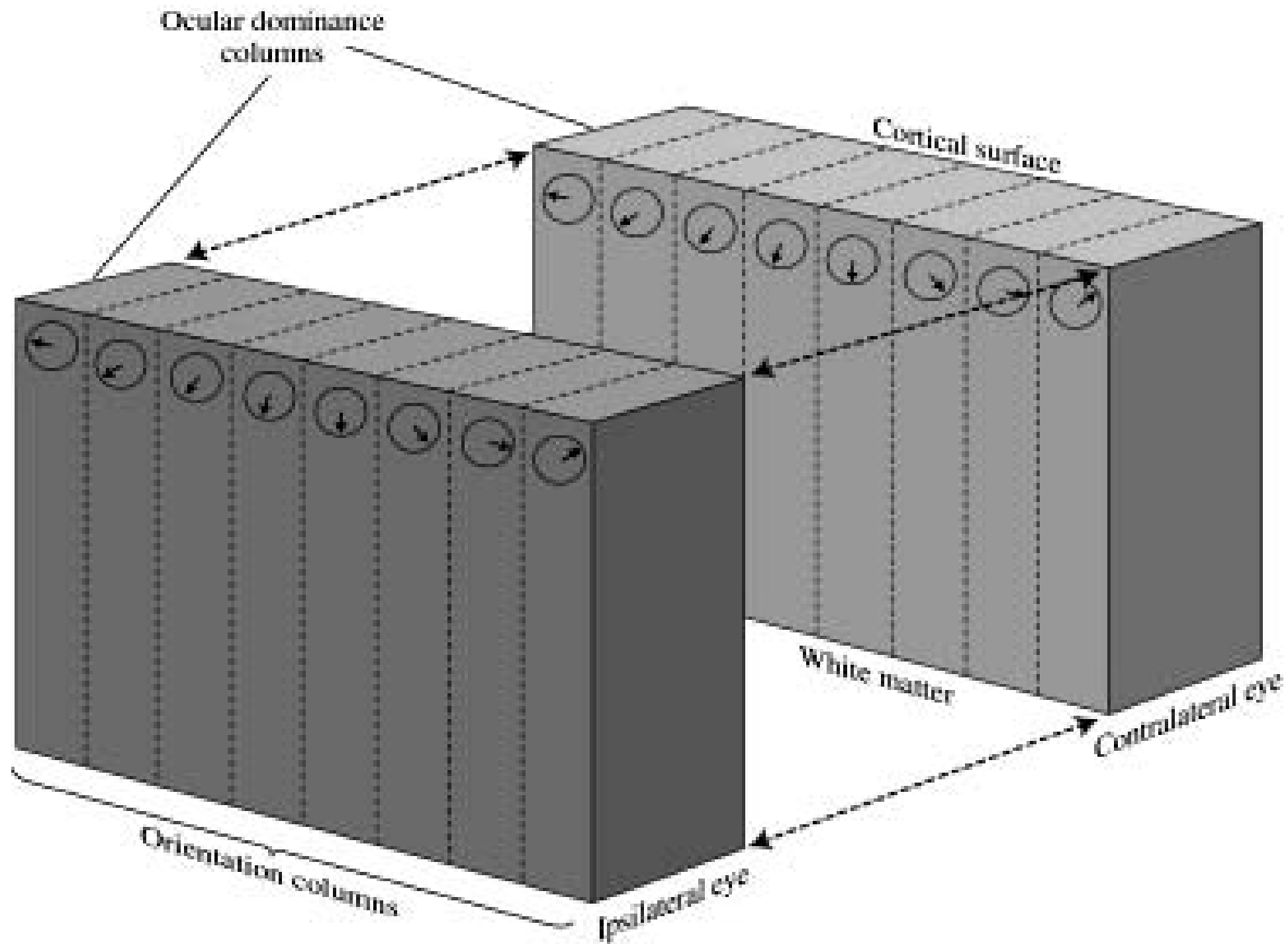
JEDNODUCHÉ
BUŇKY

KOMPLEXNÍ
BUŇKA

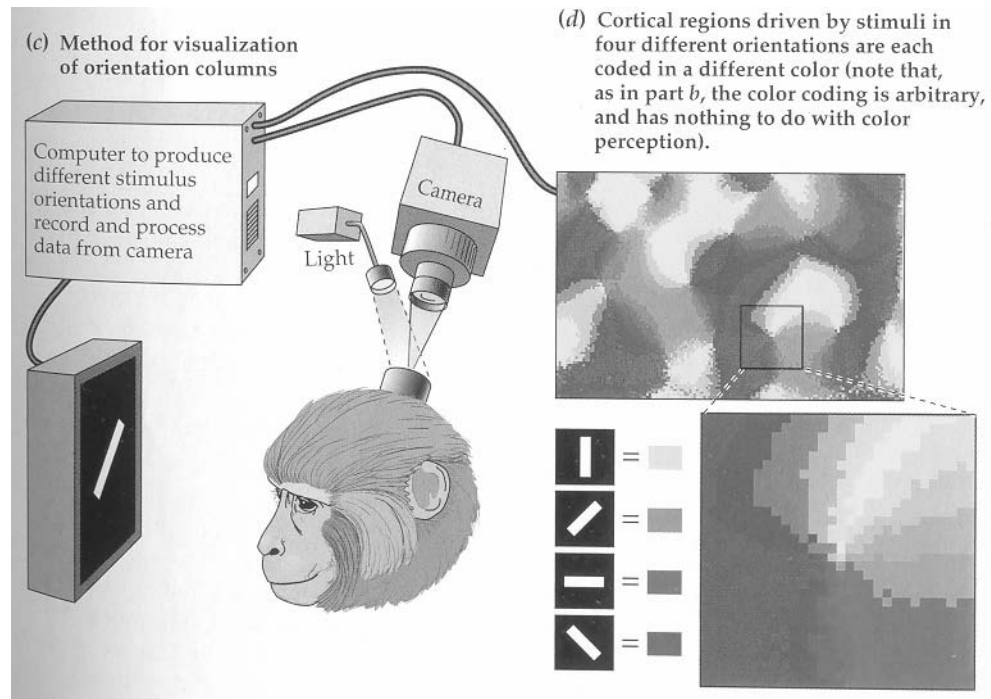


Komplexní orientačně selektivní buňky kůry tvoří „klávesnici“ podobnou tonotopické.





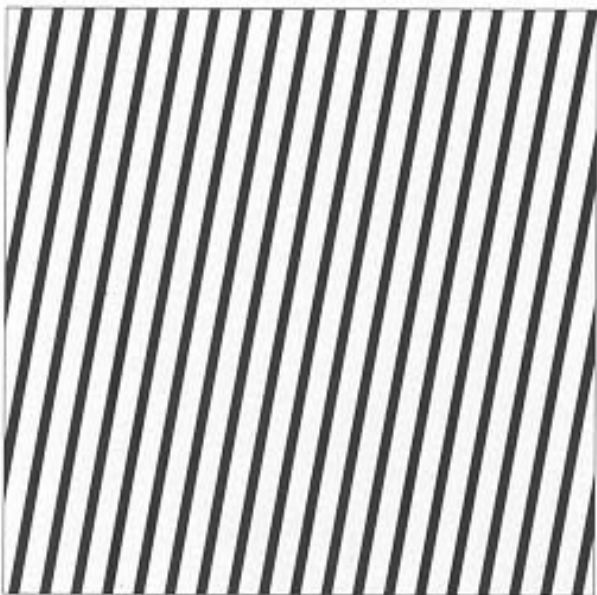
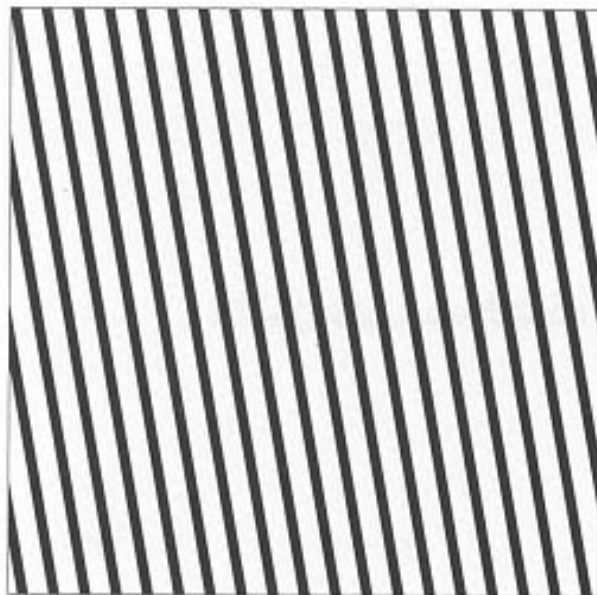
Komplexní orientačně selektivní buňky kůry makaka.



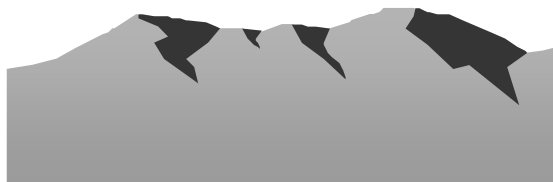
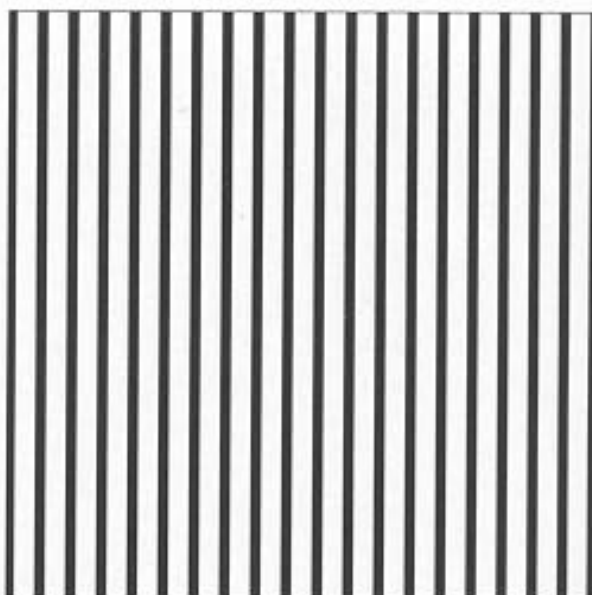
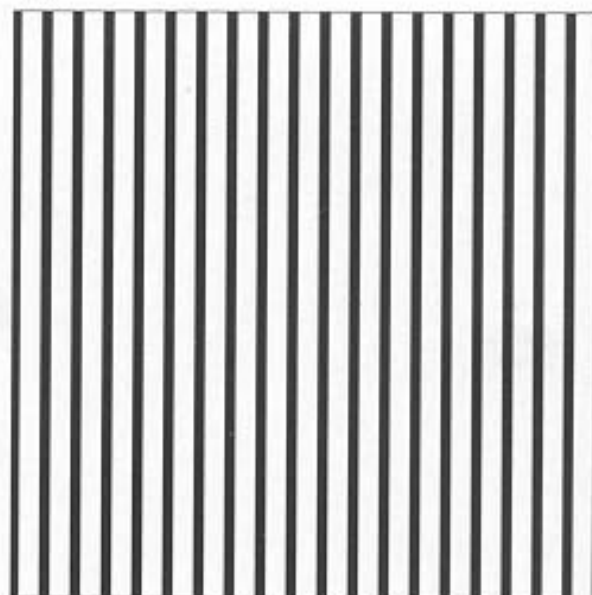
Selektivní adaptace a
orientačně
selektivní buňky.

Selektivní adaptace:
cesta do lidského
mozku

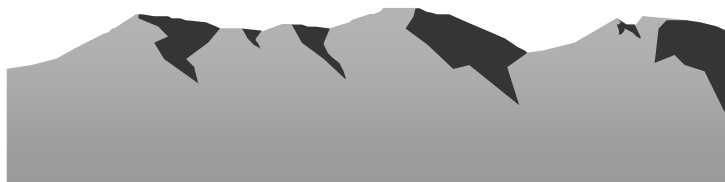
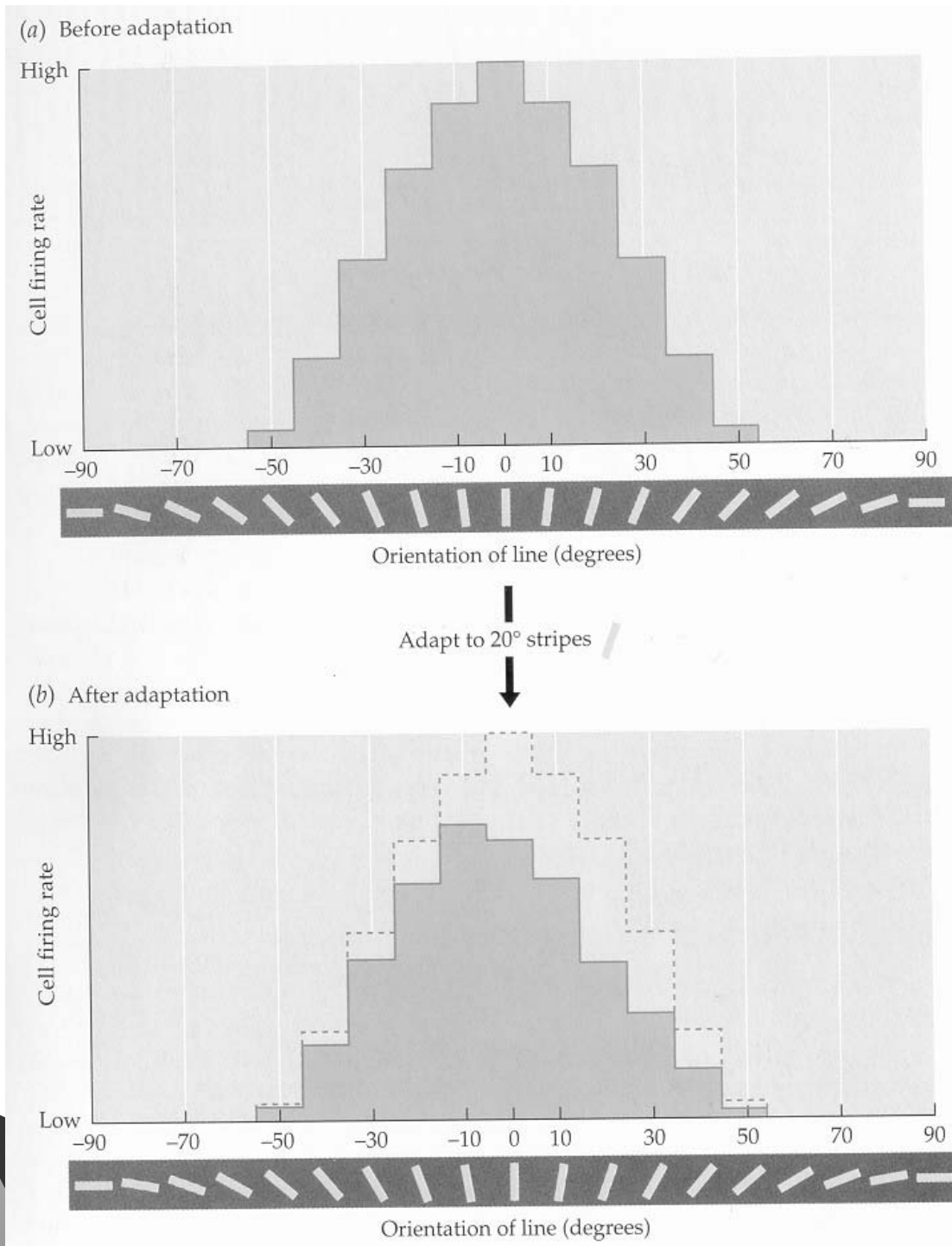
(a)



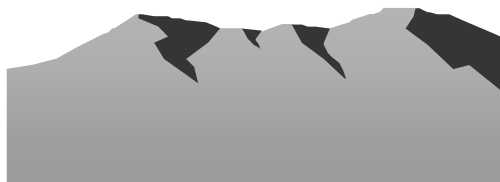
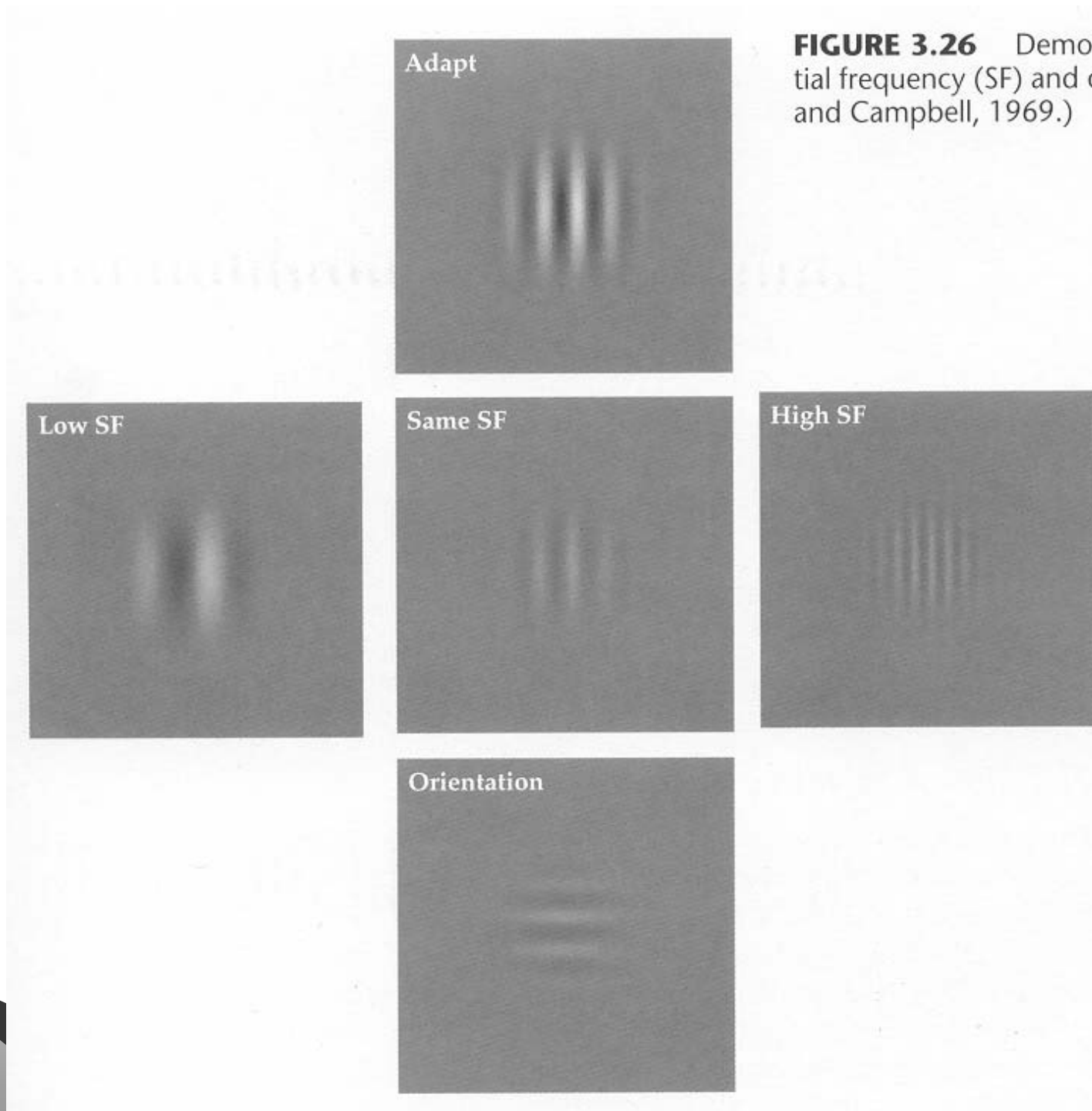
(b)



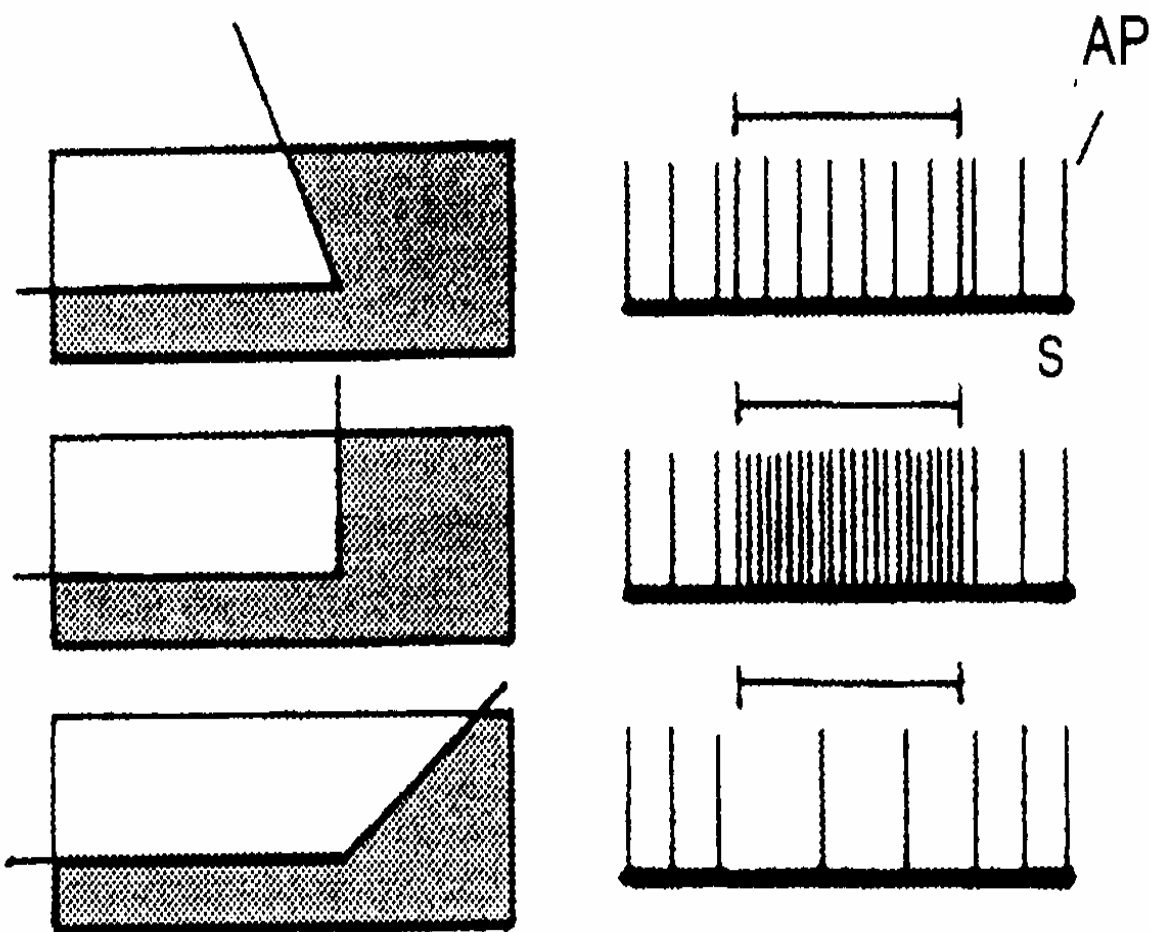
Vysvětlení:
20° buňky jsou po 1 min
adaptovány, unaveny
a přestávají přispívat do
vjemu vertikál.
Ve výsledku se vertikální linie
kácí.



Selektivní adaptace a
kontrastně
selektivní buňky



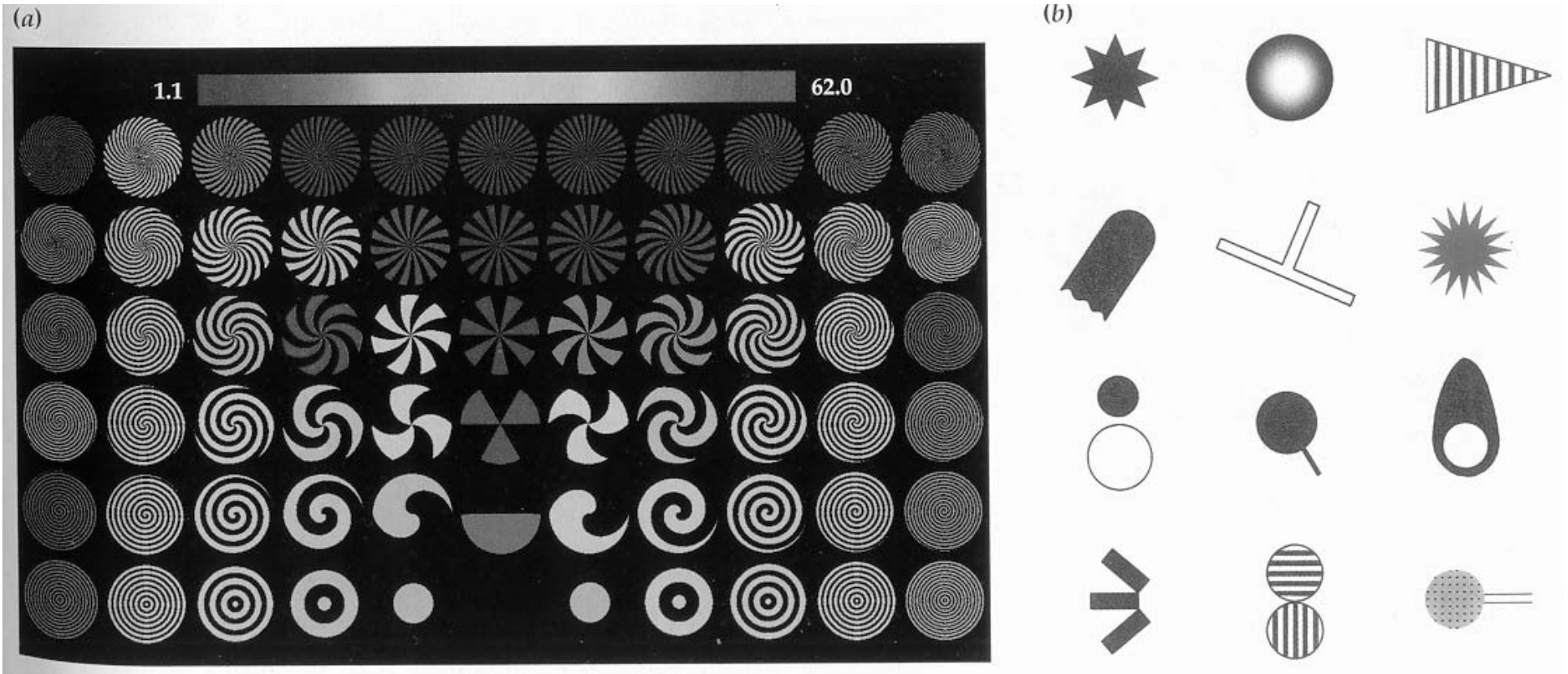
Sekundární kůra, hyperkomplexní buňky



Vliv různého úhlu kontrastního vizuálního podnětu na elektrickou aktivitu hyperkomplexní buňky. Úsečka nad záznamem elektrické aktivity značí trvání osvětlení v sekundách.

AP – akční potenciál.

OBR. 49A



10.21 Complex Stimuli Evoke Strong Responses in Visual Cortex

(a) These concentric and radial stimuli evoke maximal responses from some cells in visual cortical area V4. The stimuli that evoked the highest response rates (see scale bar) are shown in red and orange. (b) These 12 examples illustrate the critical features of stimuli that evoke maximal responses from cells in the anterior inferior temporal area. (Part a from Gallant et al., 1993, courtesy of Jack Gallant; b from K. Tanaka, 1993, courtesy of Keiji Tanaka.)

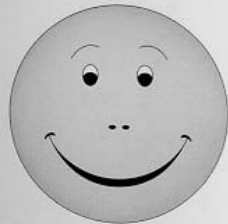
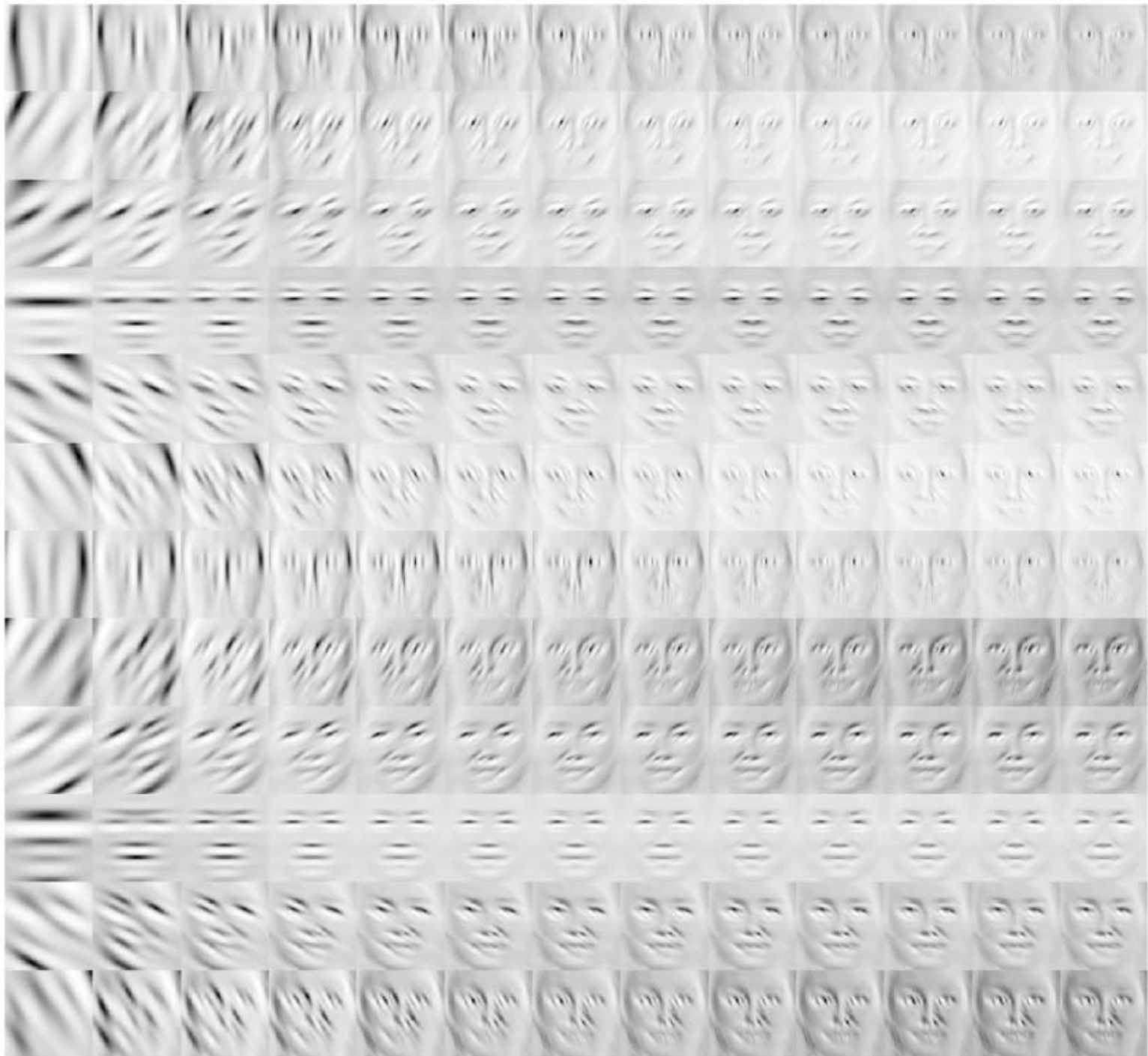
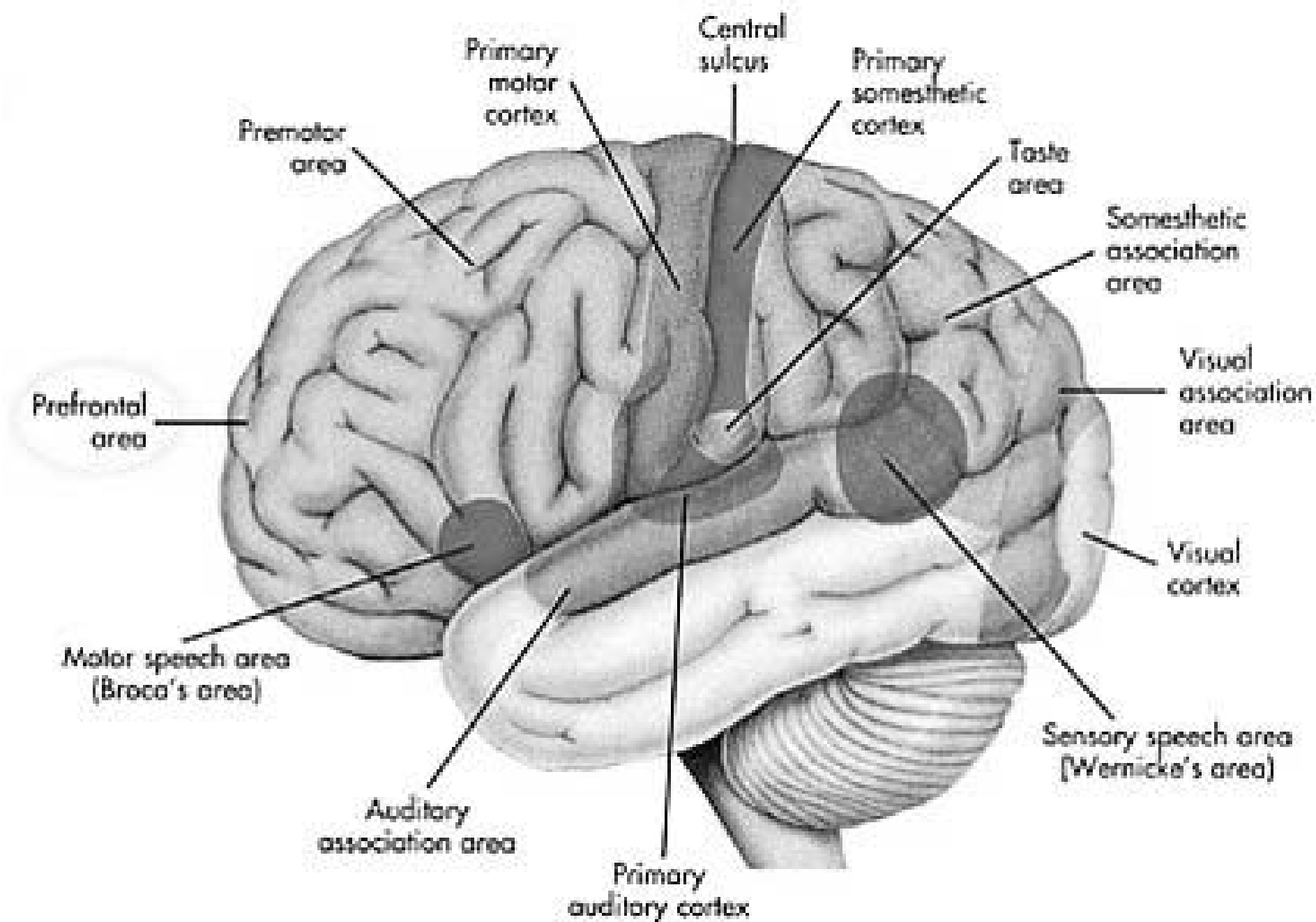
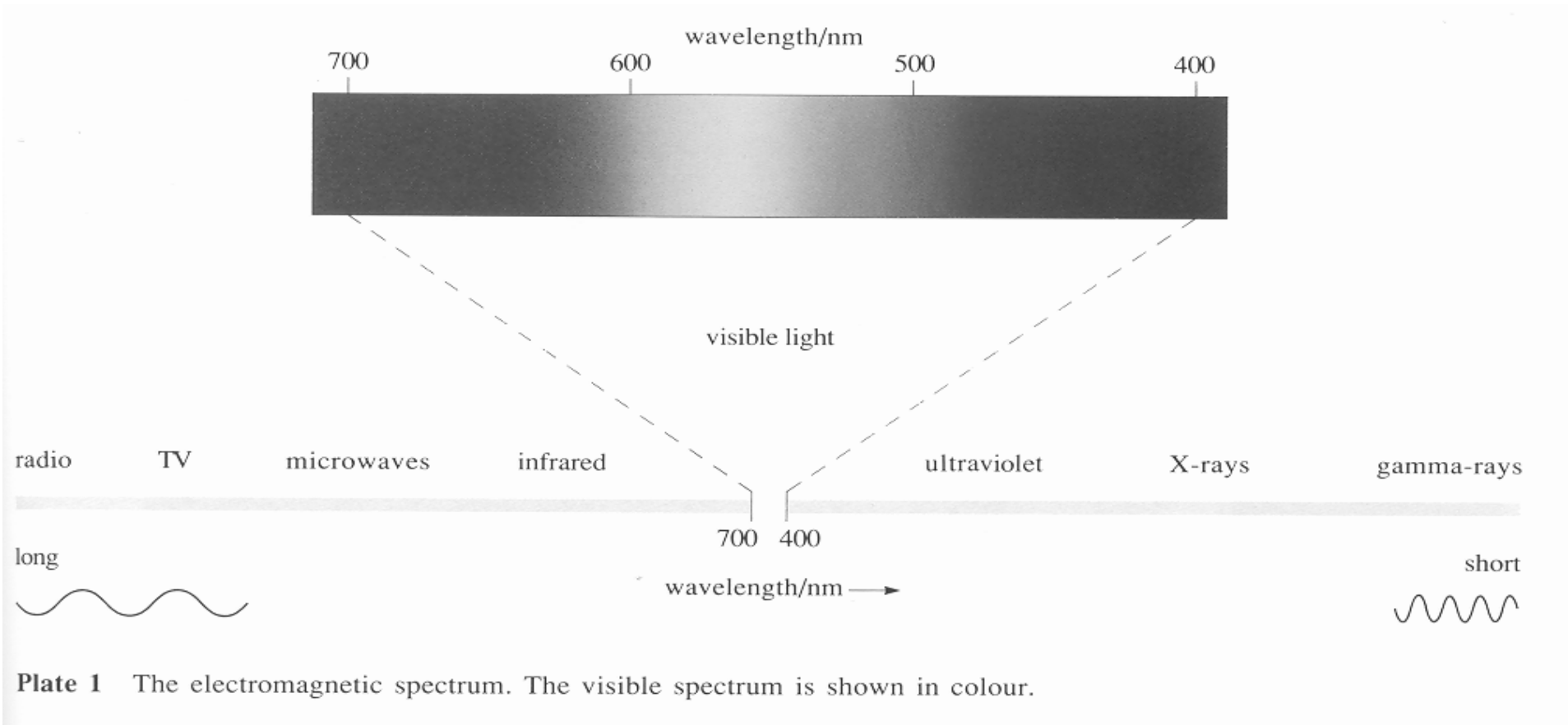


FIGURE 4.33 Cells in the inferotemporal cortex of macaque monkeys are interested in very specific stimuli. In this case, the cell responds vigorously to a monkey face and to some other stimuli that seem related. (After Gross, Rocha-Miranda, and Bender, 1972.)





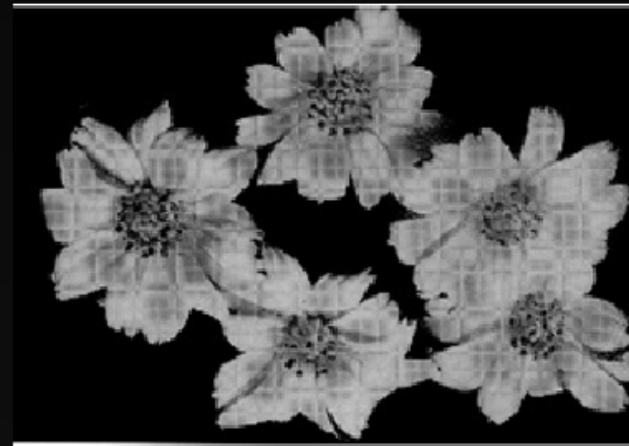
Barevné vidění



Posunutá spektrální
citlivost = jiný pohled.

Neznamená nutně barevné
vidění

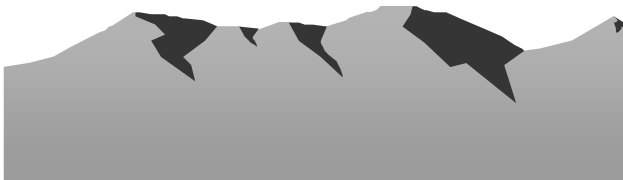
The ability to detect ultraviolet light



Human's view.



**Insect's view (simulated
through UV film.**



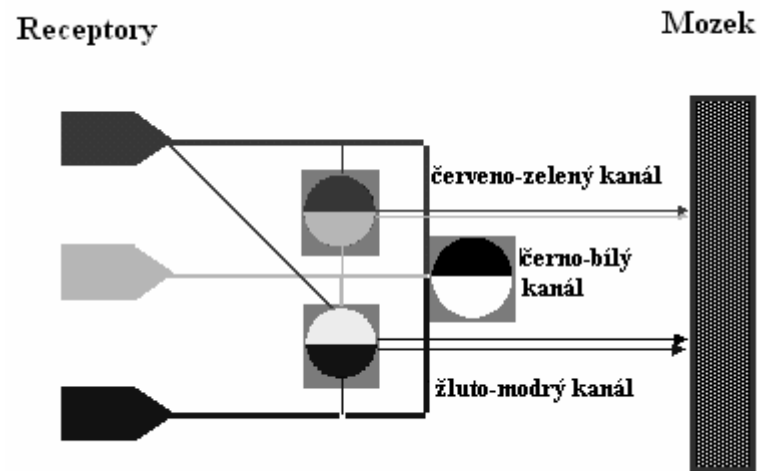
Barevné vidění:

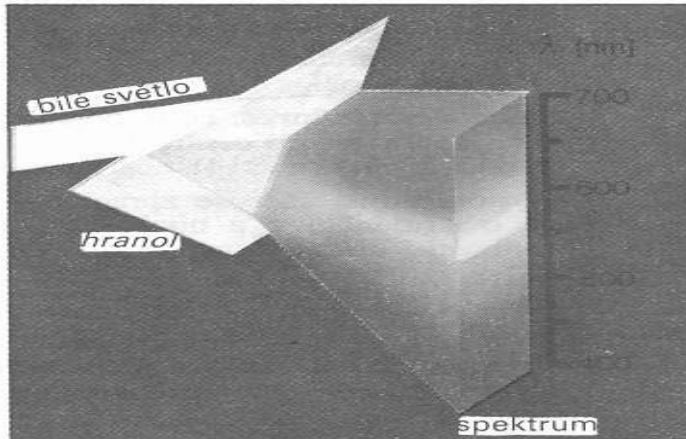
Další kvalita zraku

Jeden receptor barvu nerozezná, je potřeba nejméně dva druhy barevně selektivních fotoreceptorů

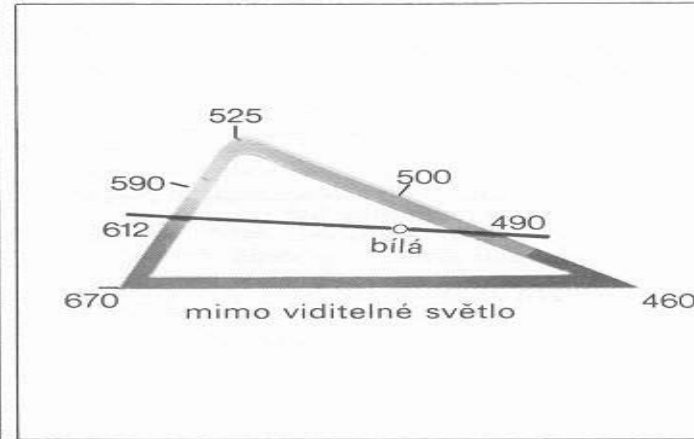


Trichromatické teorie, Young-Helmholtz Oponentní kódování, Hering



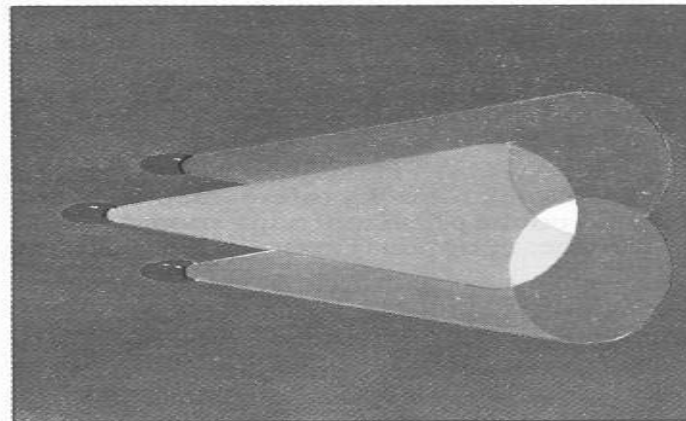


A. Složení slunečního světla

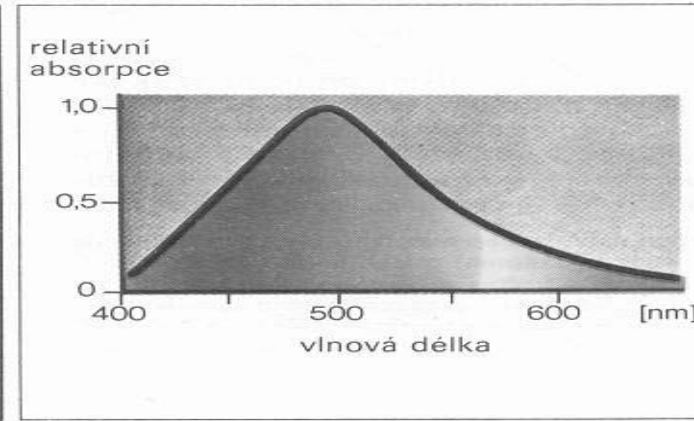


B. Barevný trojúhelník

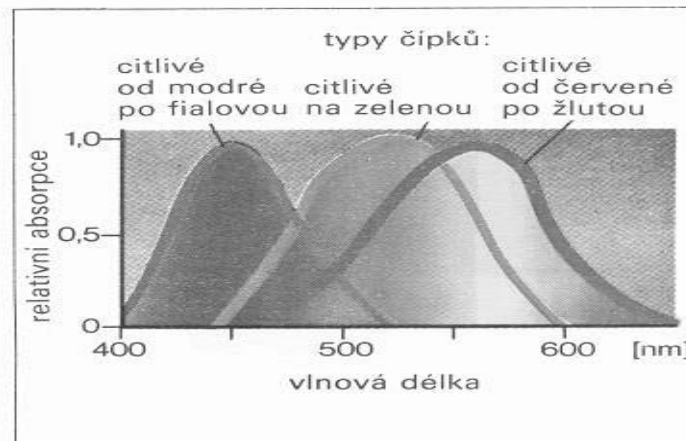
(podle Kriese)



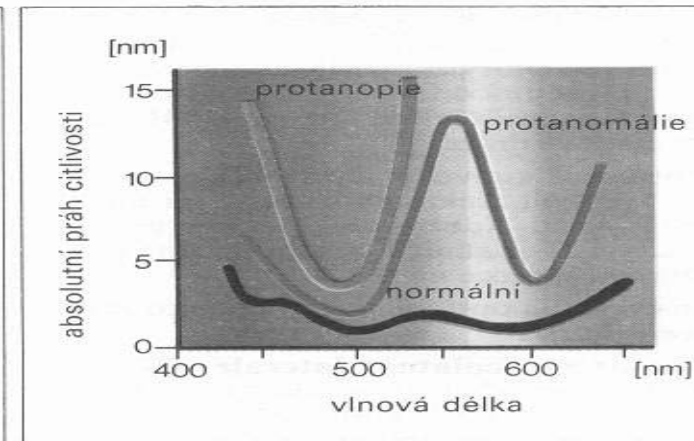
C. Aditivní míšení barev



D. Absorpce světla rodopsinem



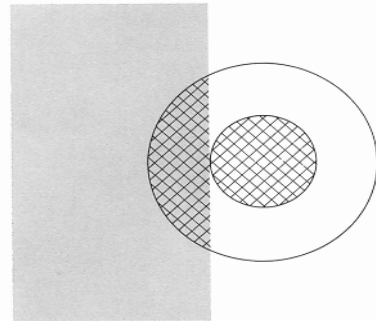
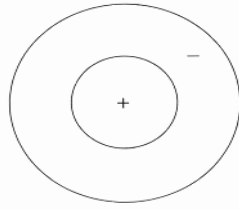
E. Absorpce světla třemi typy čípků



F. Práh citlivosti pro vlnové délky



luminance sensitive
retinal ganglion cell



double opponent
cortical cell

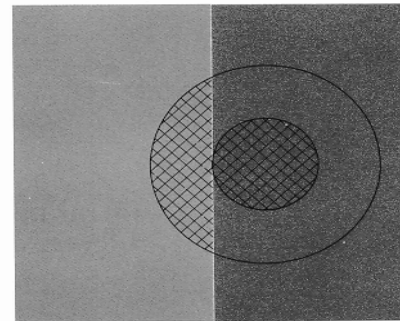
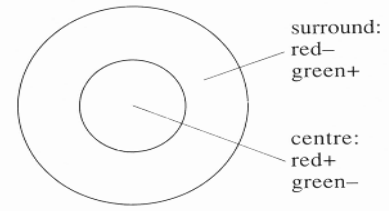


Plate 4 Double opponent receptive fields.

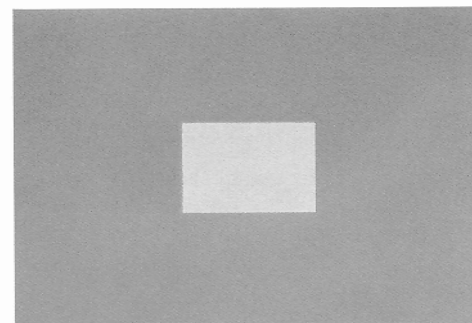
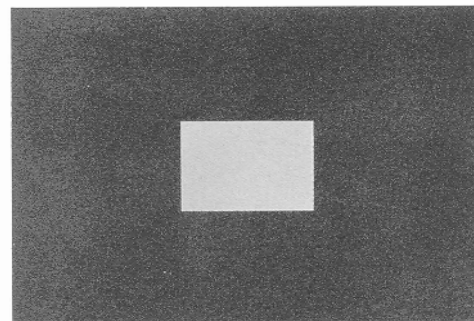
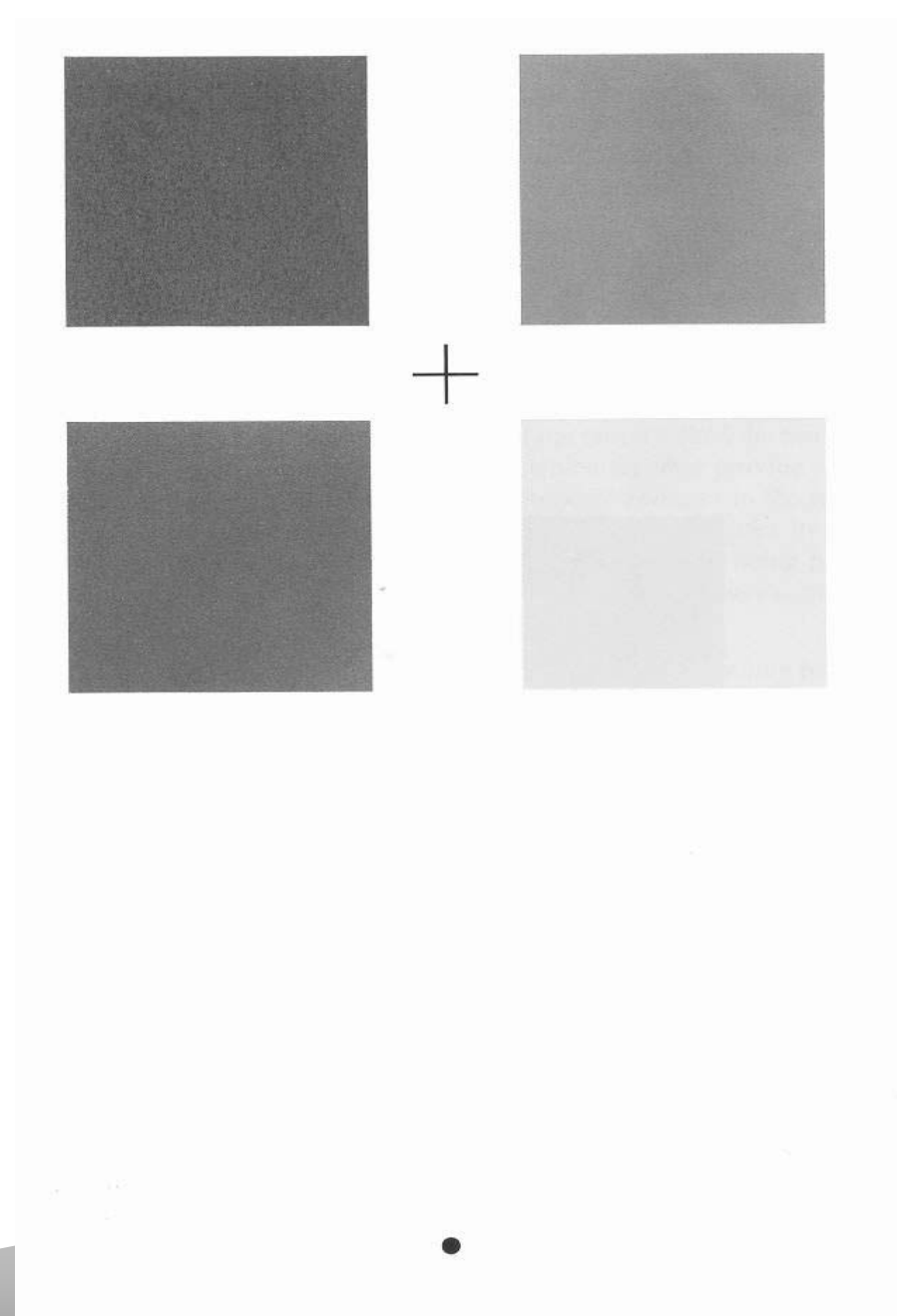
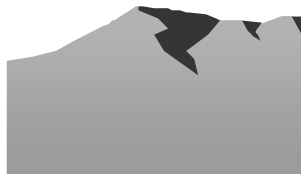
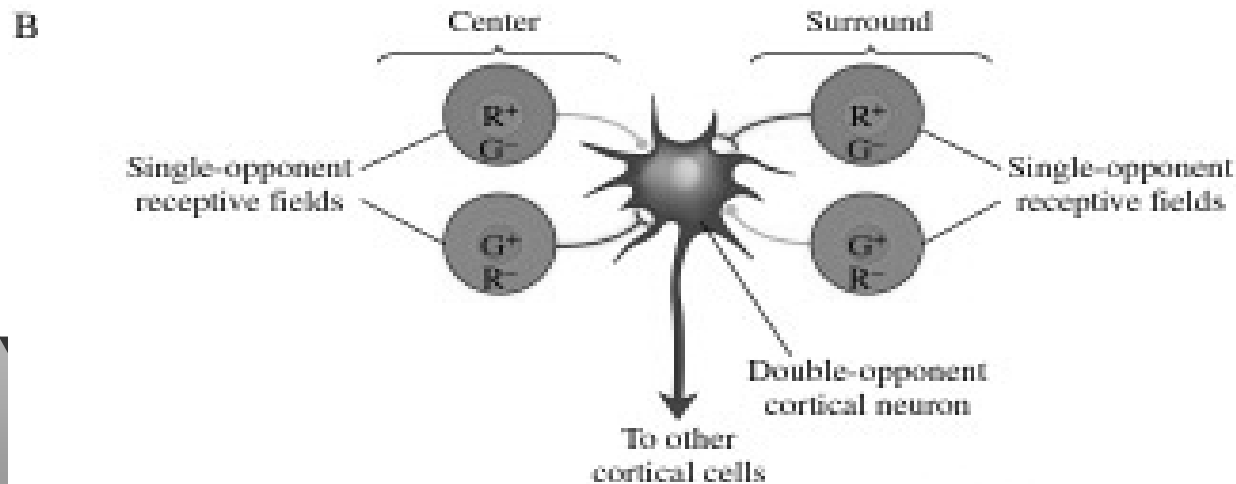
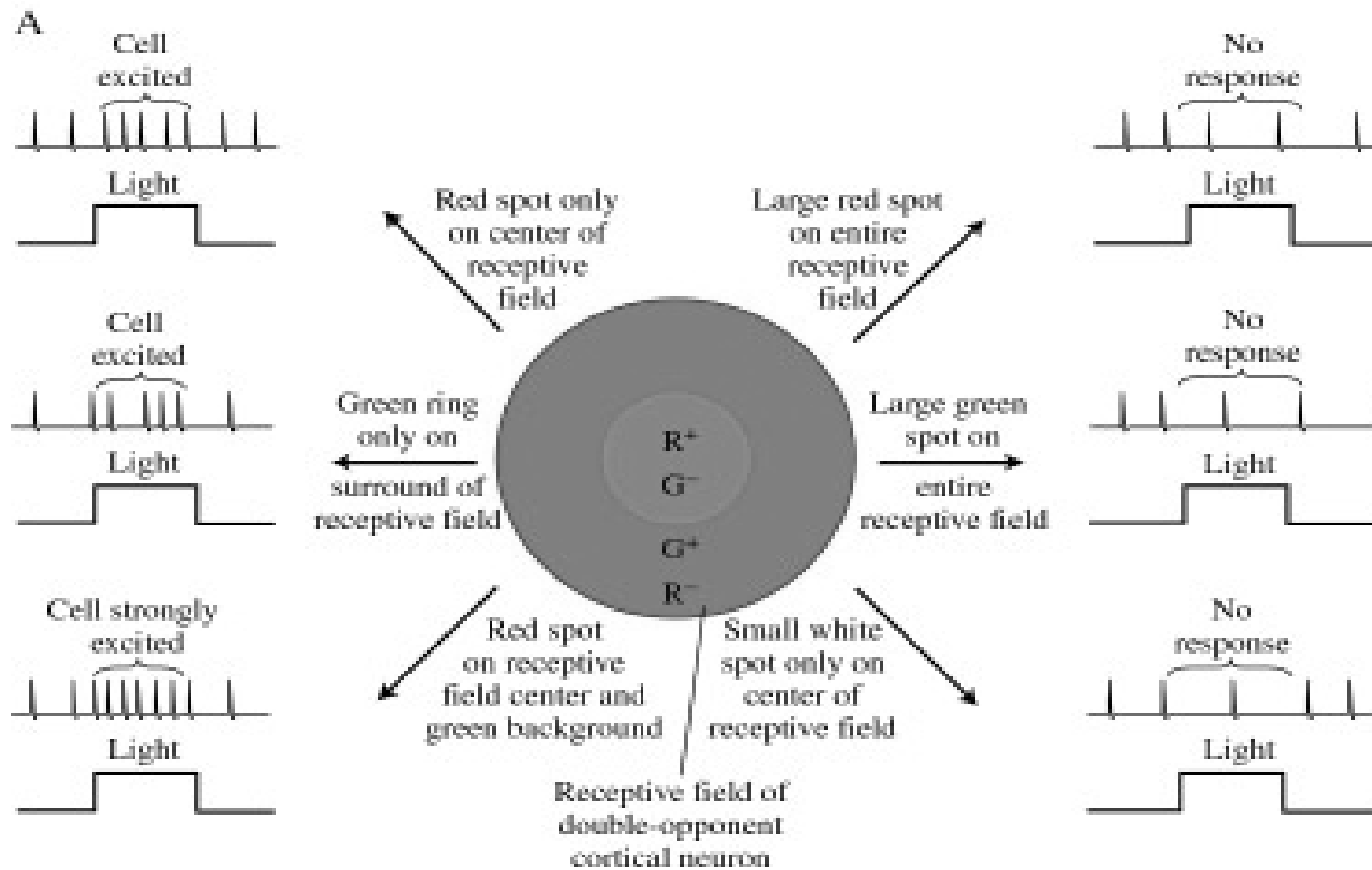


Plate 5 Simultaneous colour contrast.

Selektivní adaptace a
barevně
selektivní buňky





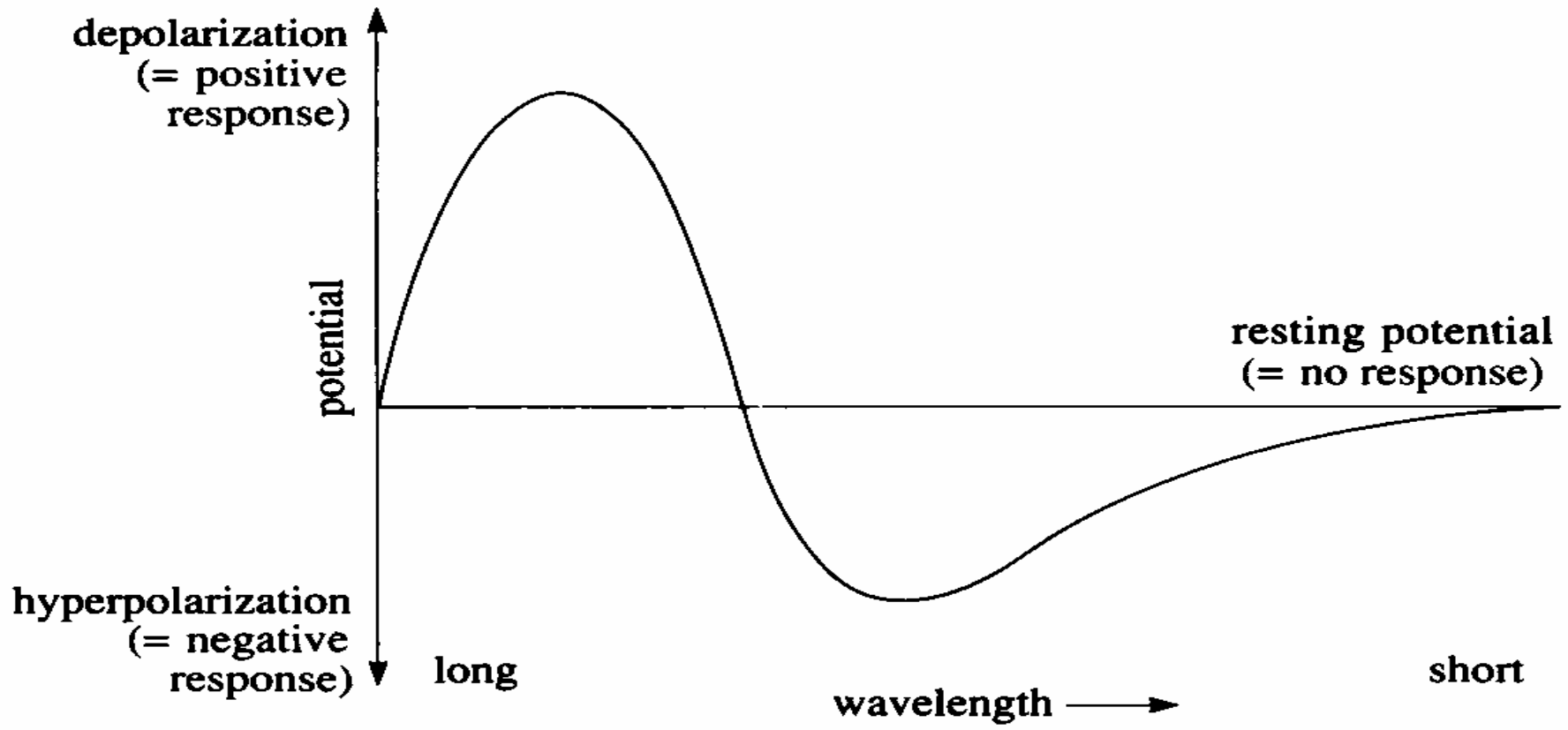
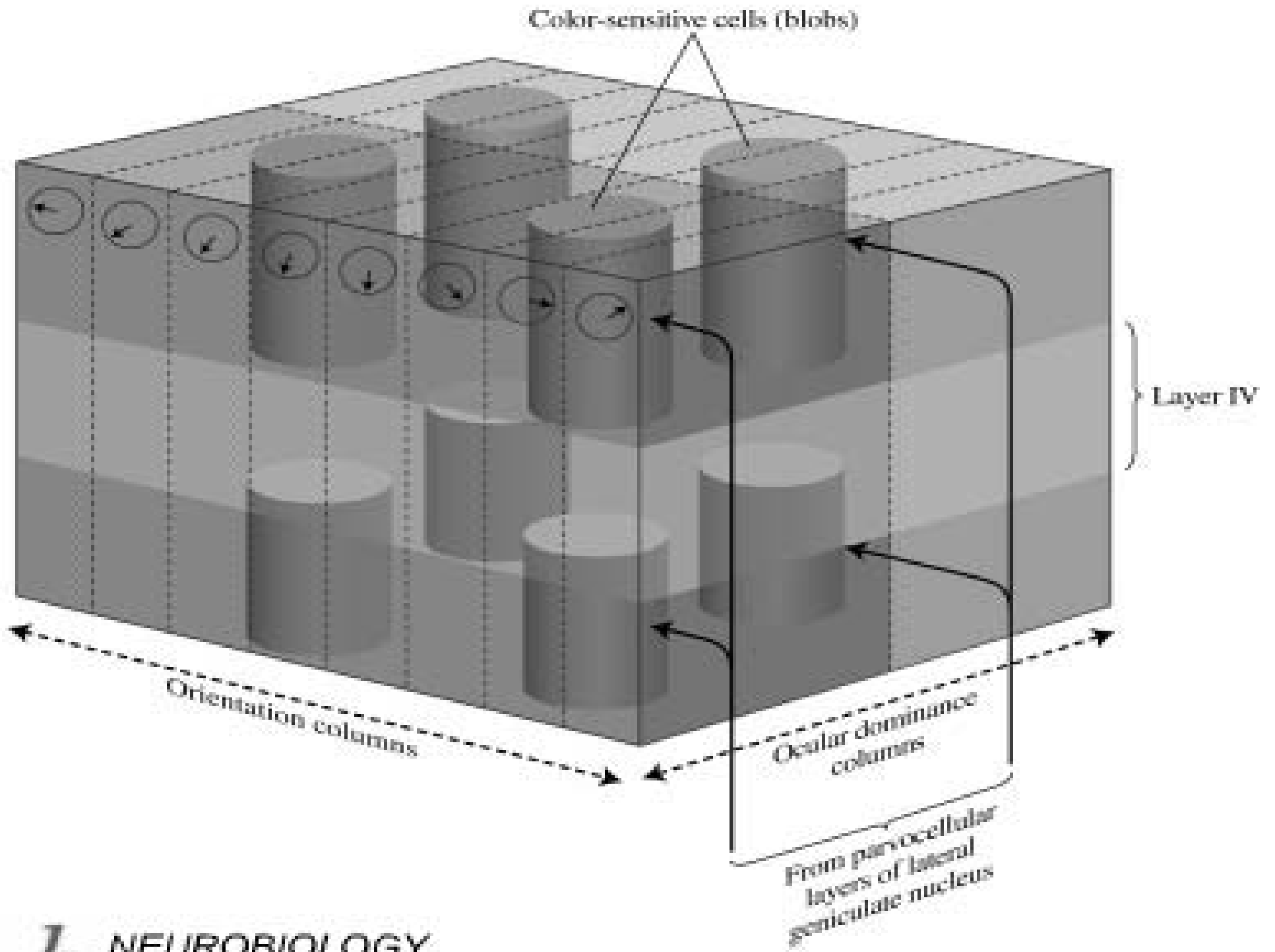
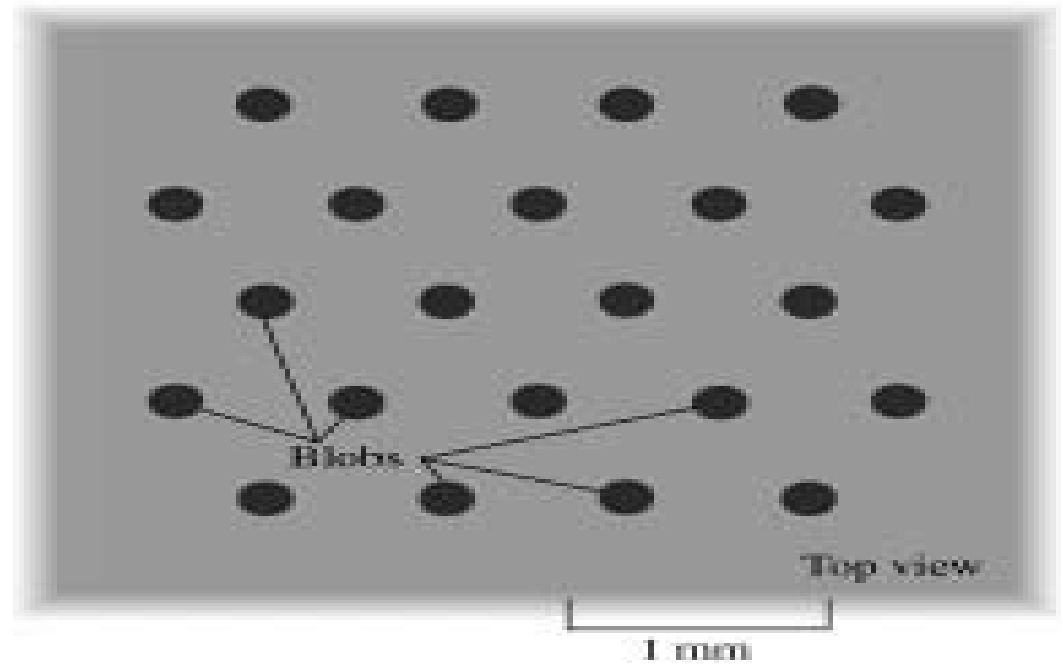
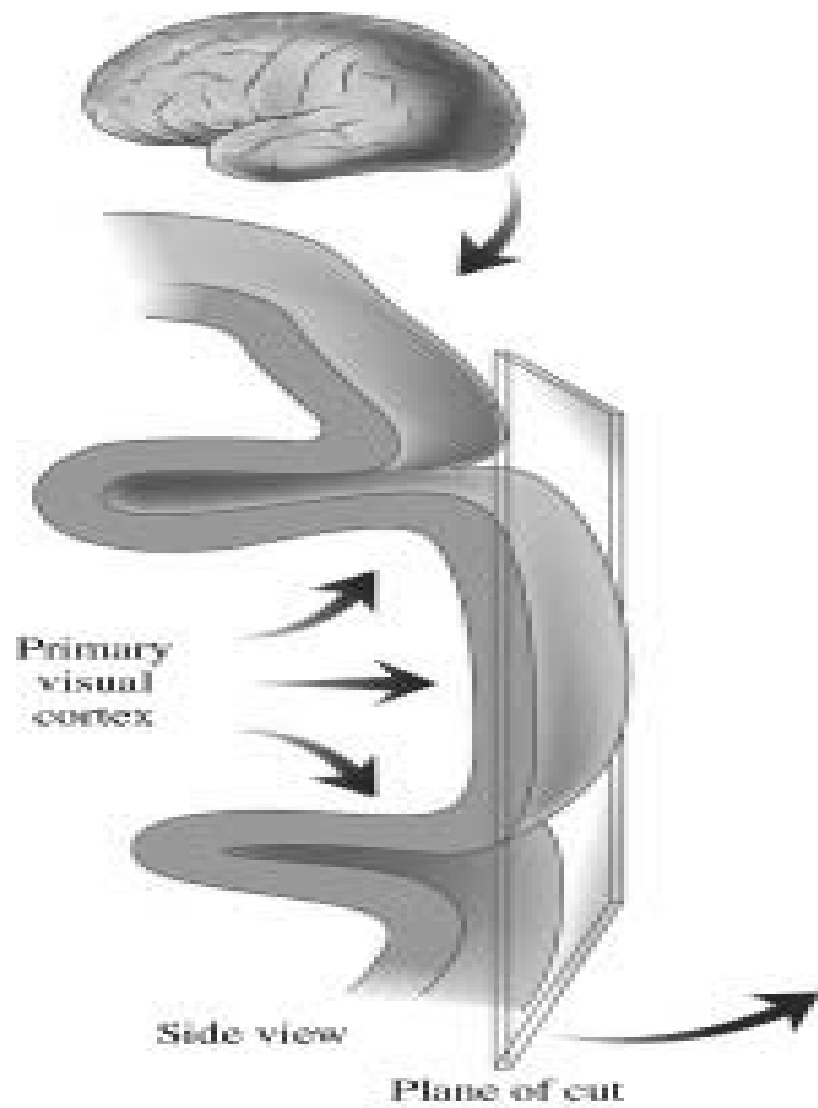
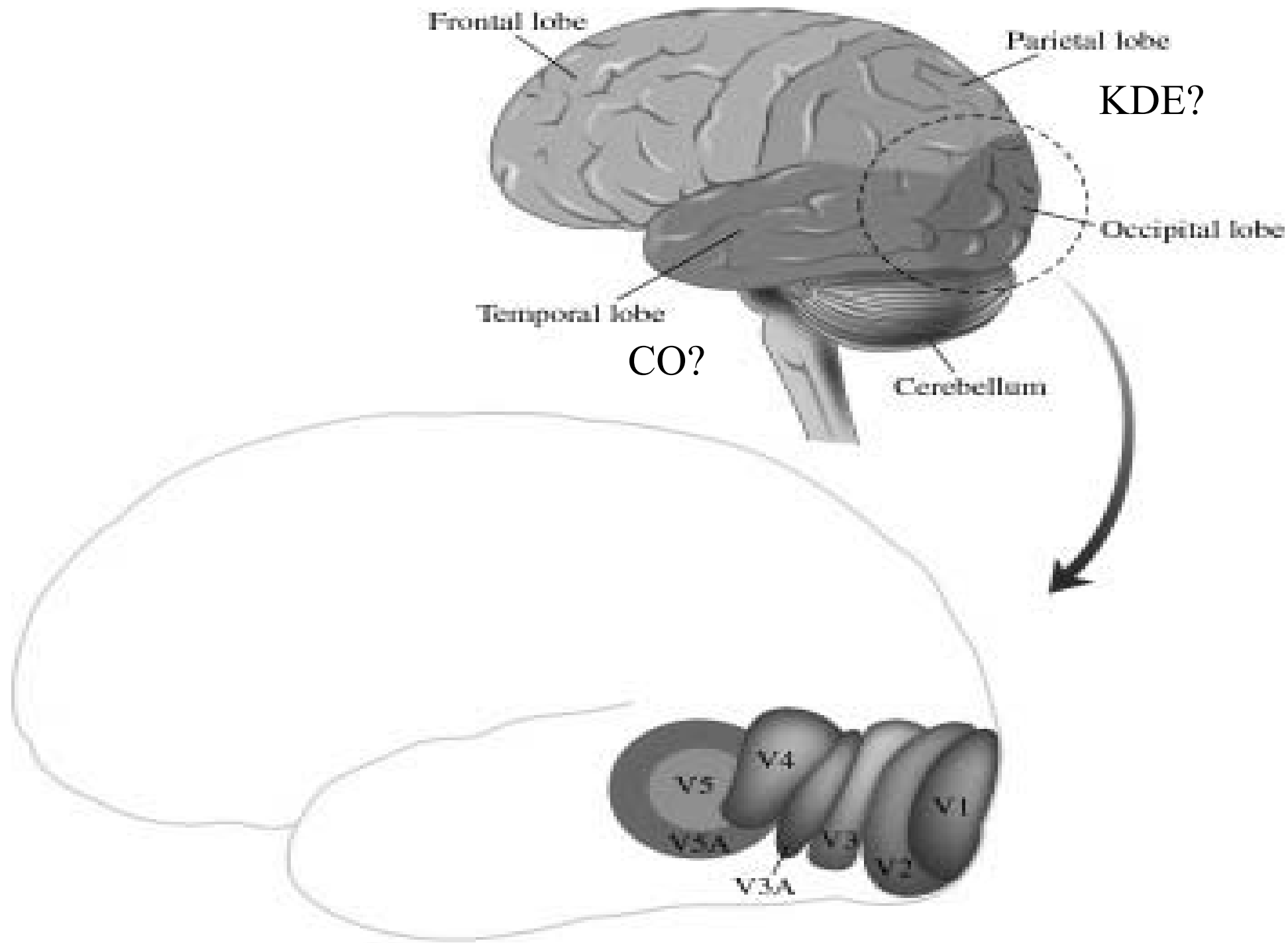


Figure 4.35 Response of a typical colour opponent bipolar cell.









Frontal lobe

Parietal lobe

KDE?

Occipital lobe

Temporal lobe

CO?

Cerebellum

V5

V4

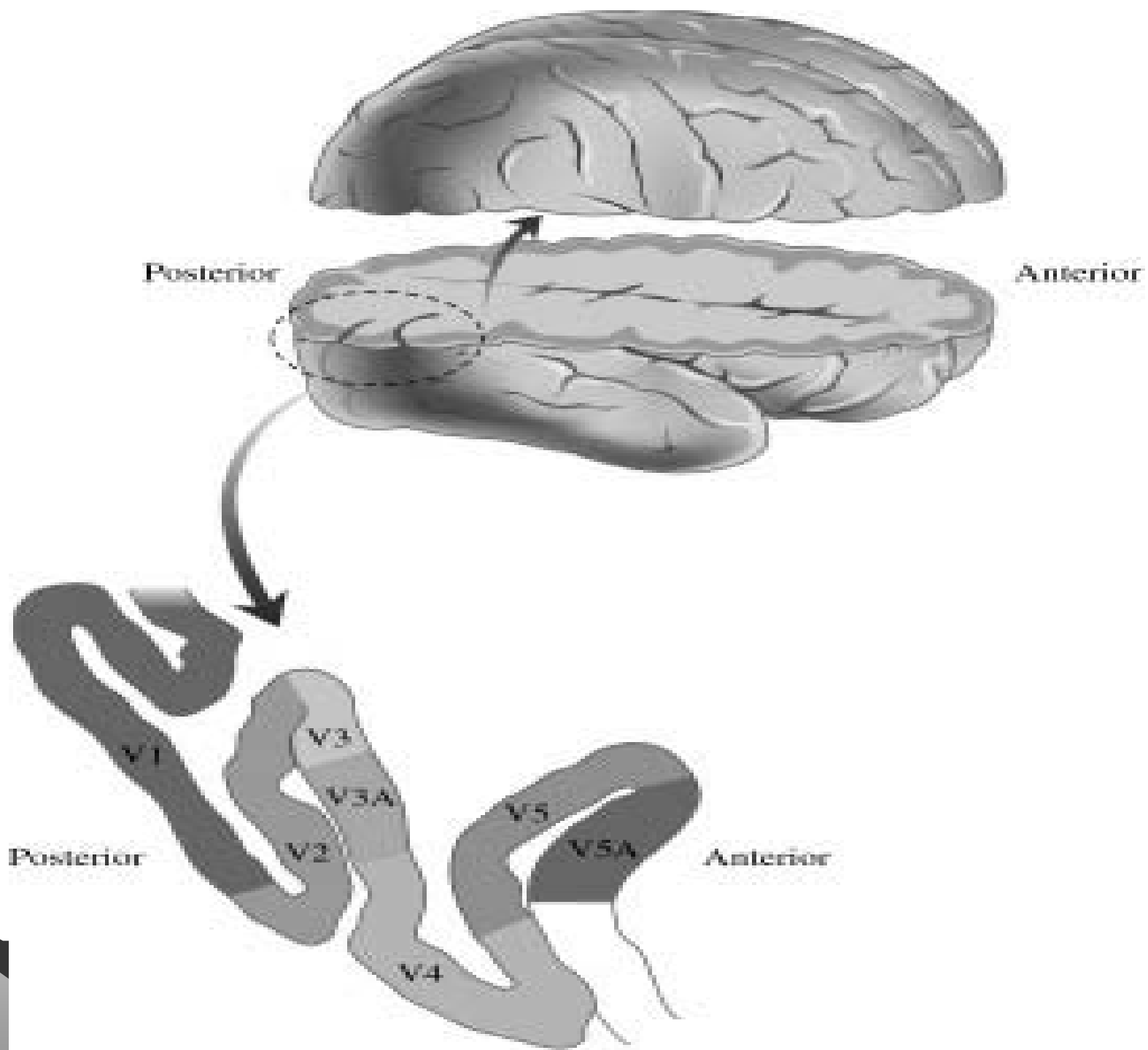
V1

V5A

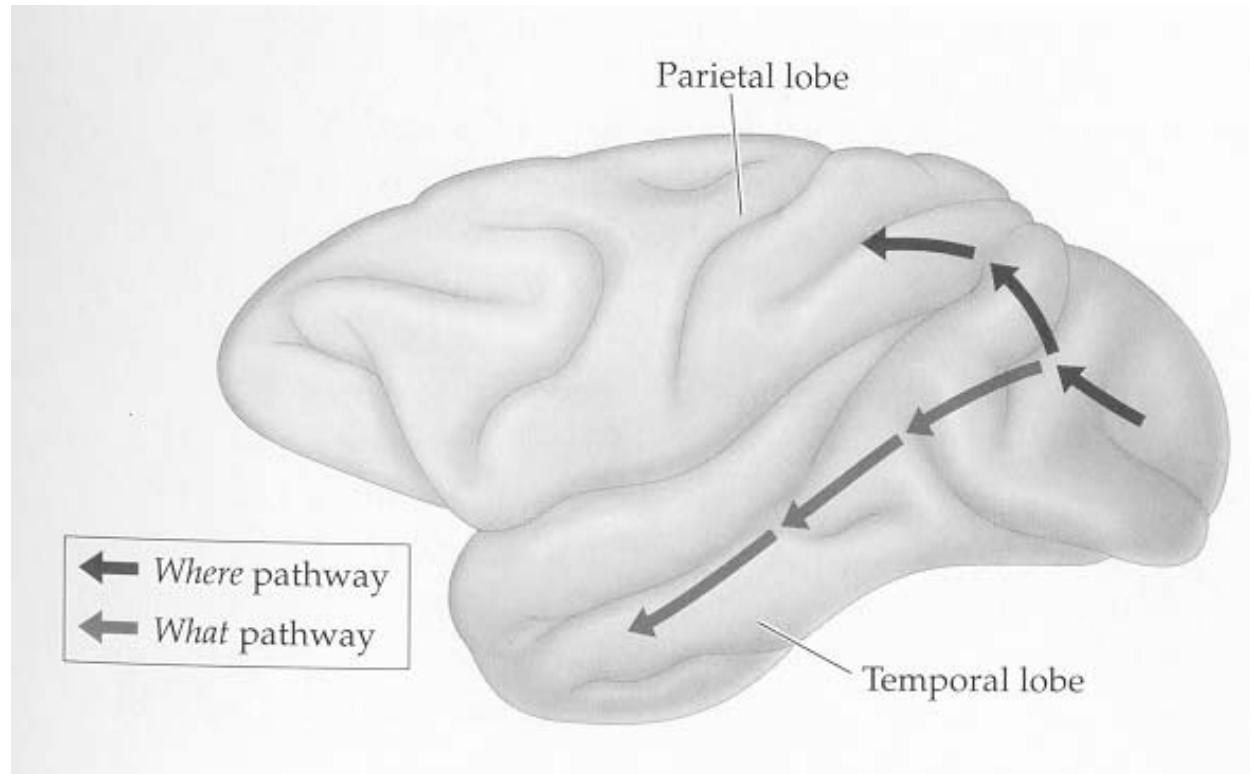
V3A

V3

V2

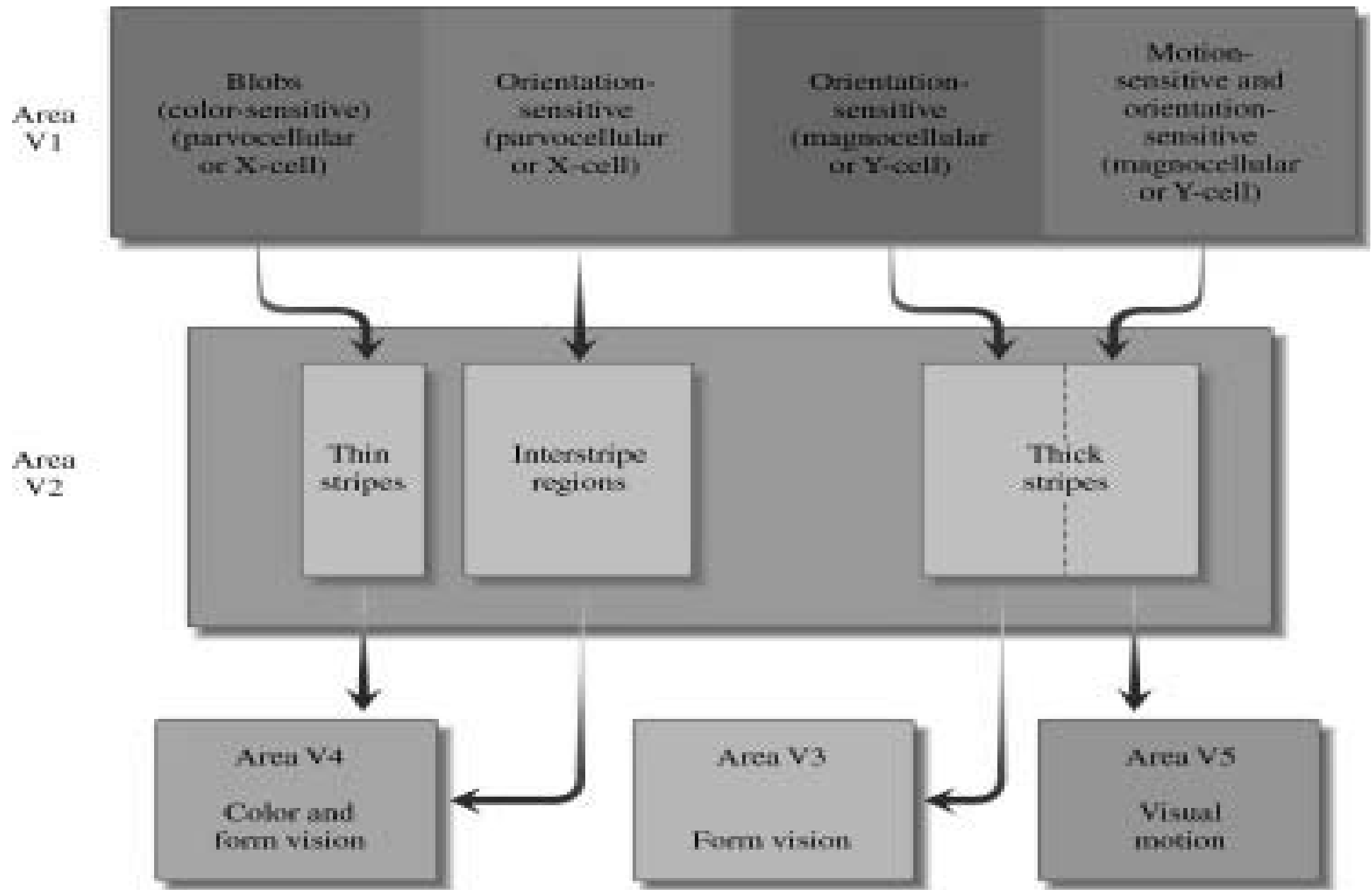


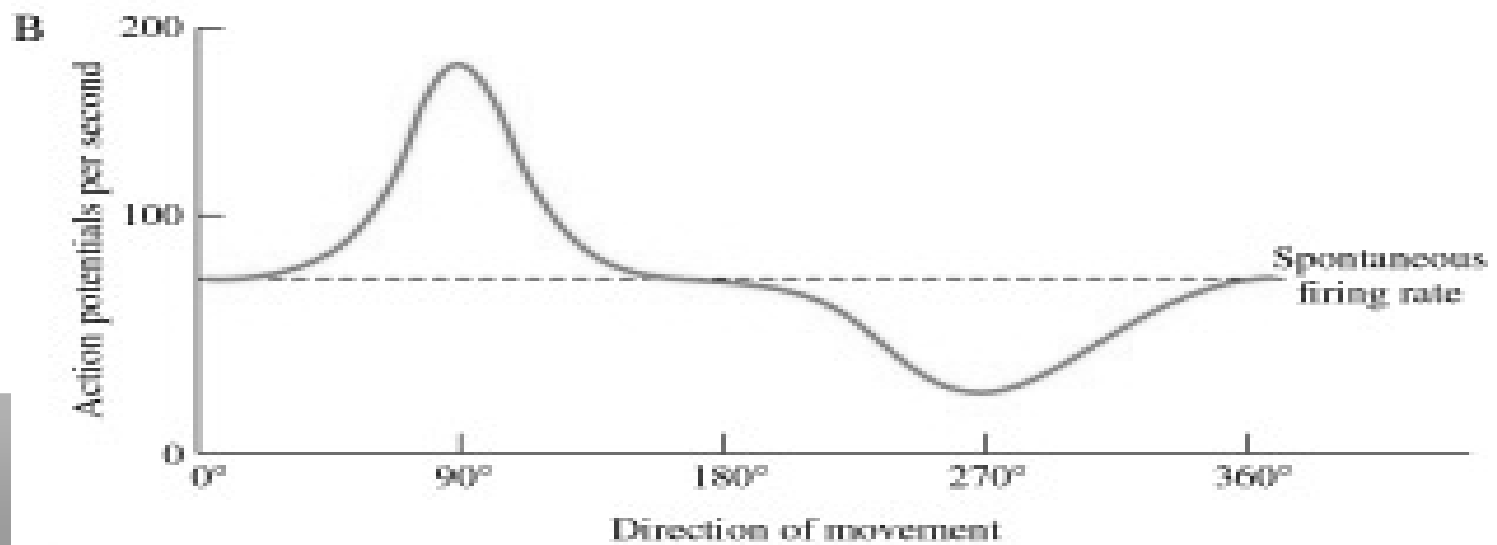
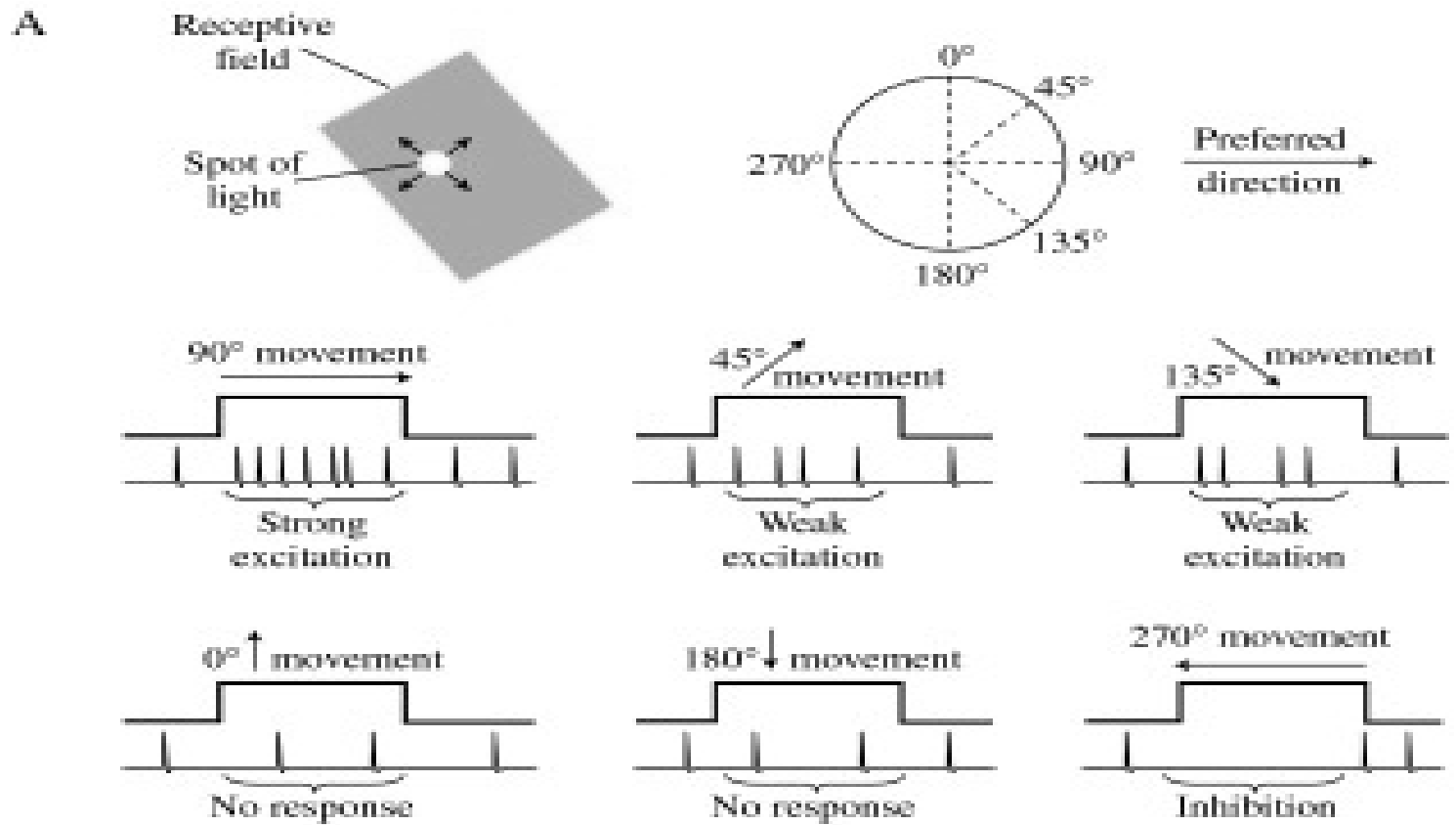
Vnímání pohybu



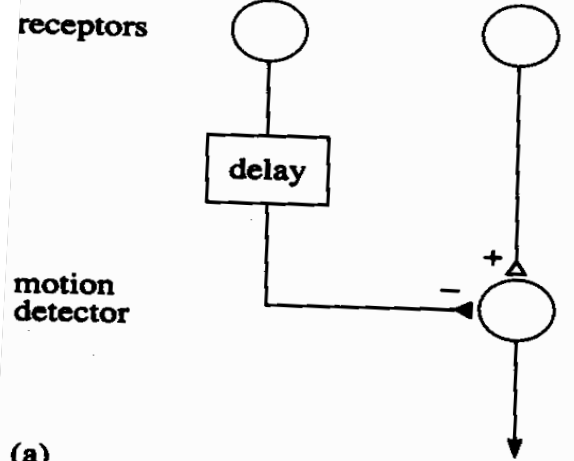
Jak je pohyb důležitý
Zdánlivé pohyby





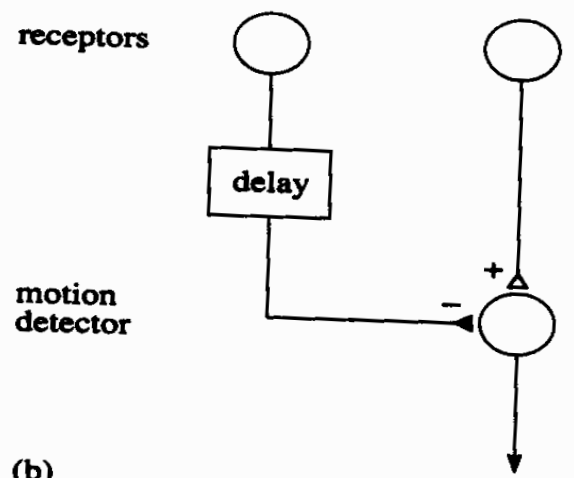


preferred direction ←



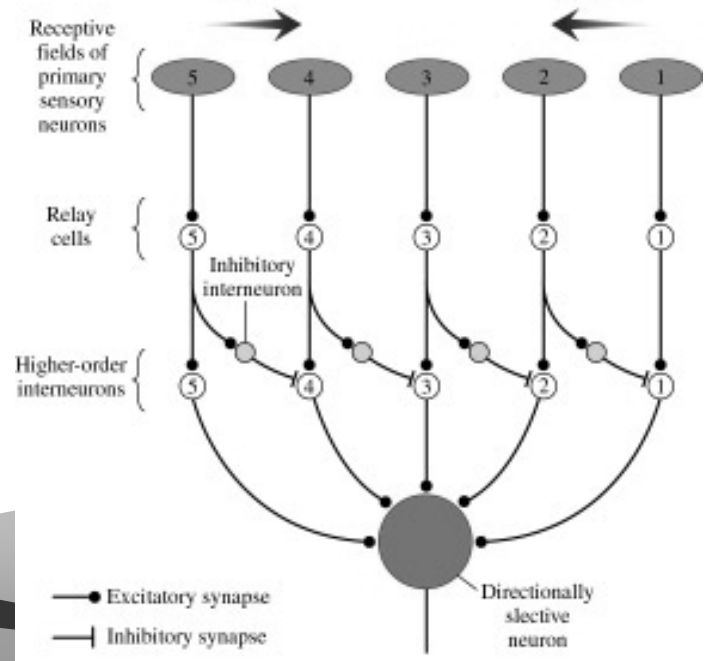
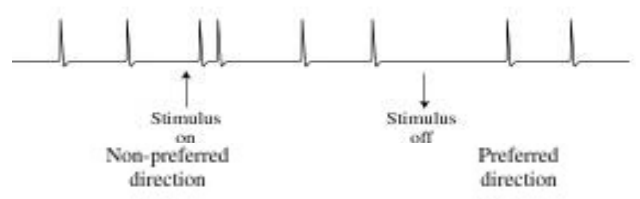
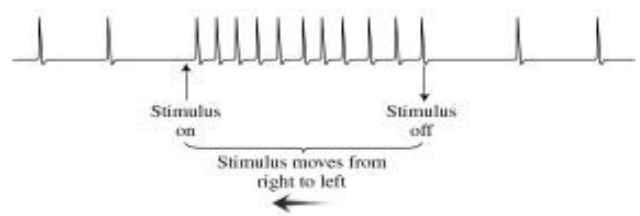
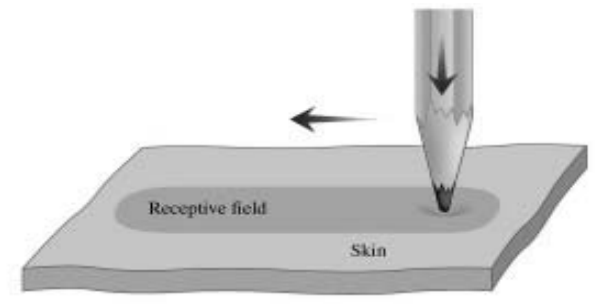
(a)

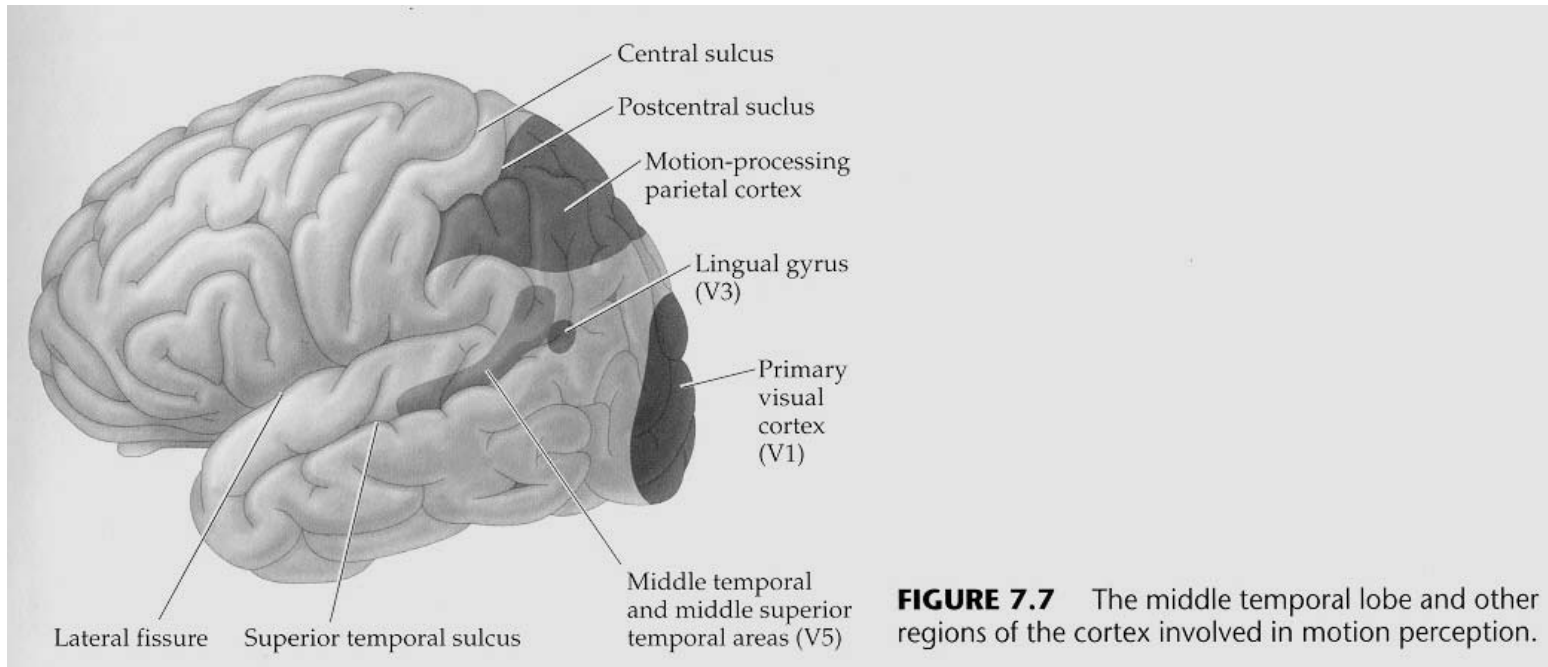
null direction →



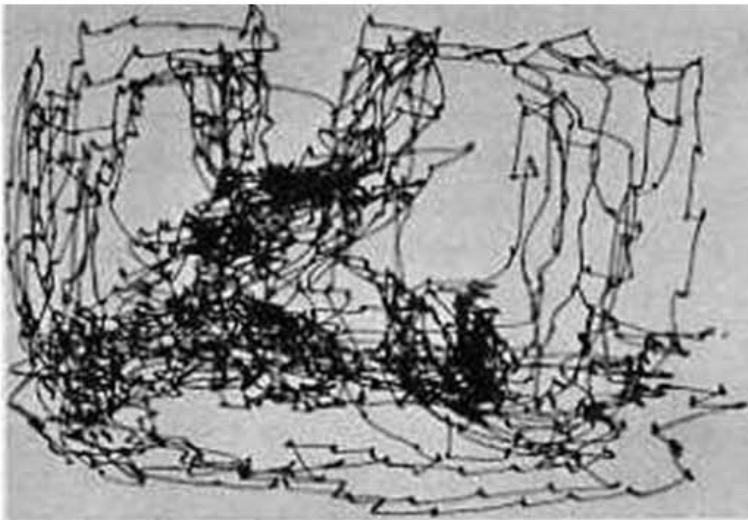
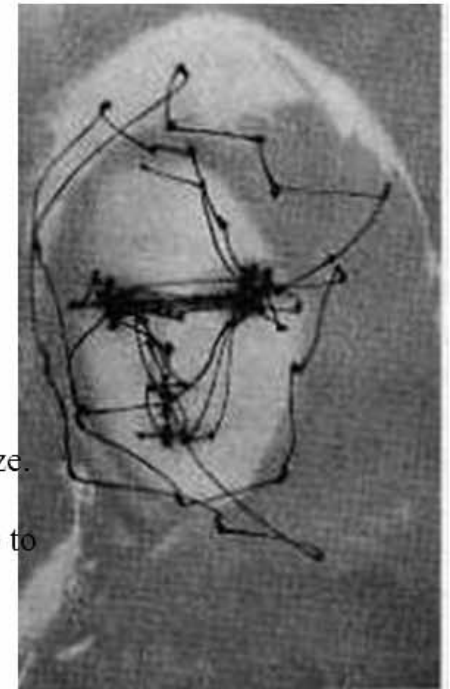
(b)

Figure 4.36 Principles of a simple retinal motion detector. See text for explanation.





Pohyby očí – sakkadické pohyby



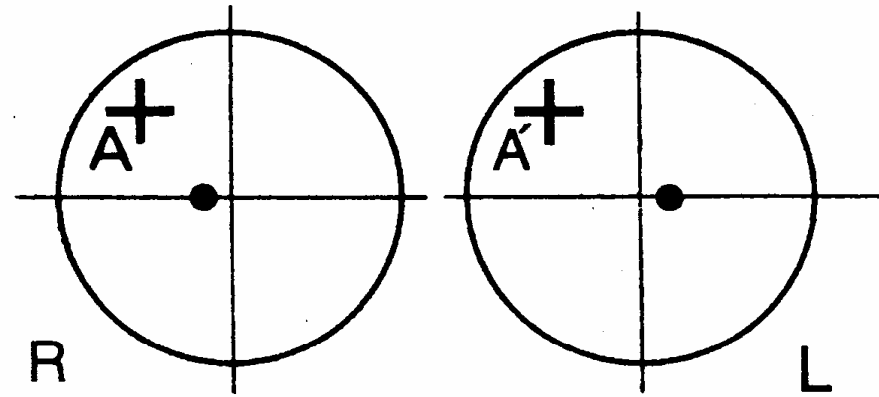
A picture is viewed by an observer while we monitor eye position and hence direction of gaze. The eyes jump, come to rest momentarily (producing a small dot on the record), then jump to a new locus of interest. It seems difficult to jump to a void - a place lacking abrupt luminance changes.

Vnímání prostoru

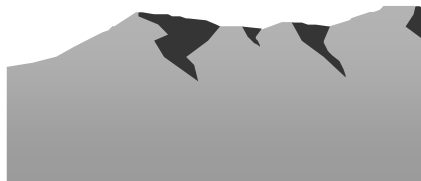
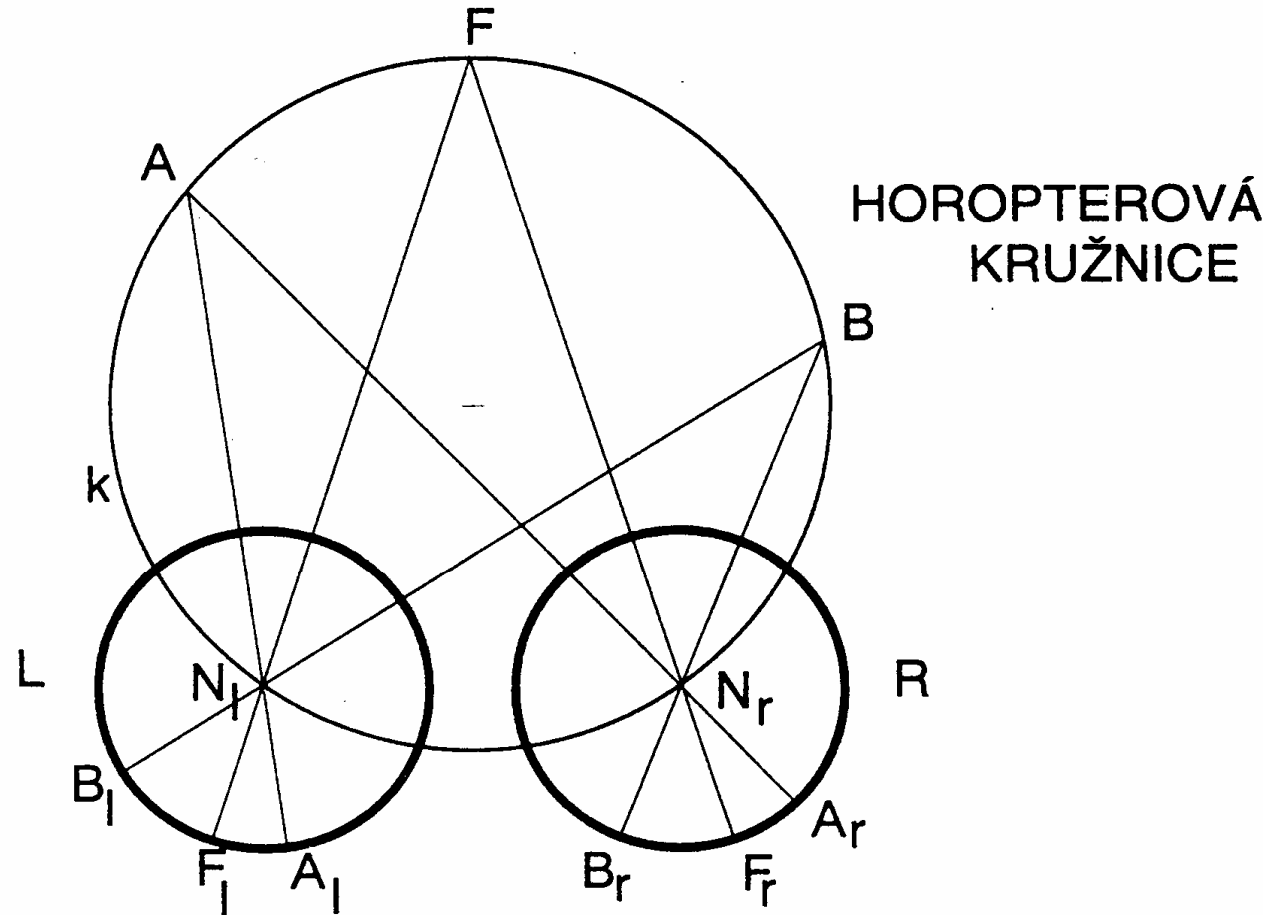


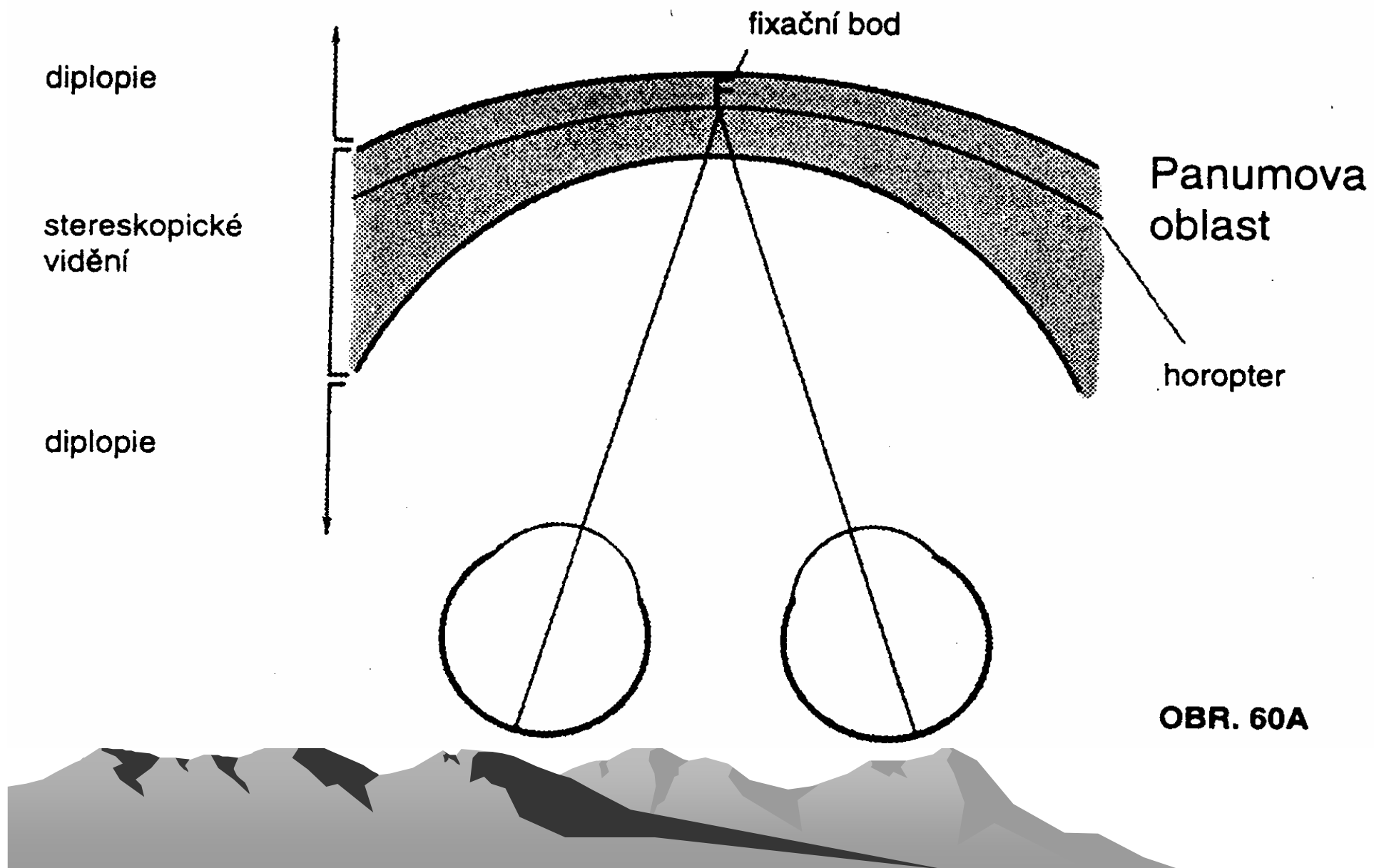
OBR. 57A

Sítnice pravého (R) a levého (L) oka. Body A a A' značí polohu identických míst. Černá skvrna znázorňuje centrální jamku.



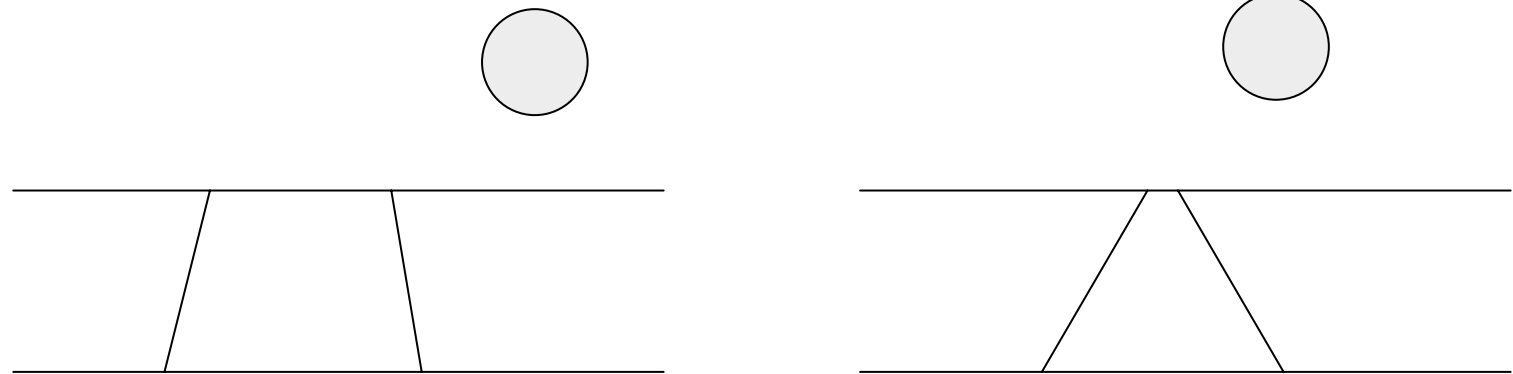
OBR. 58A



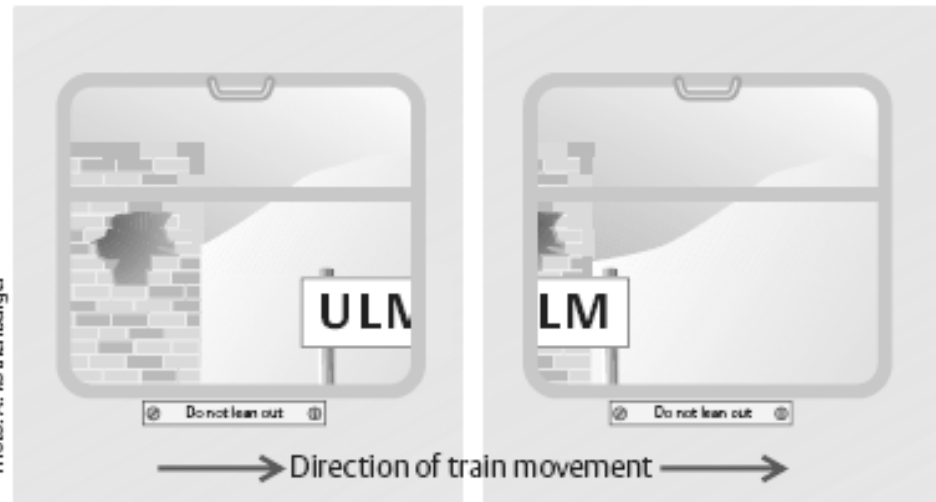
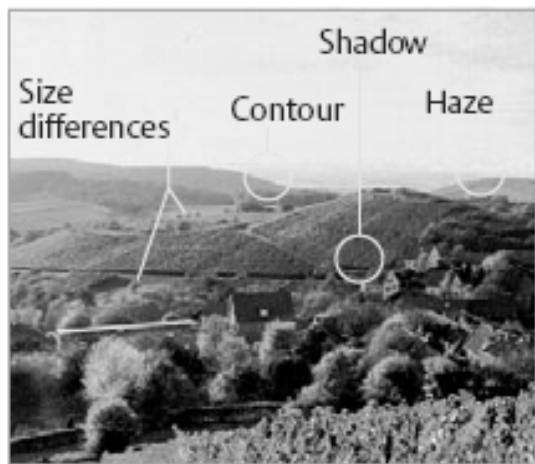


OBR. 60A

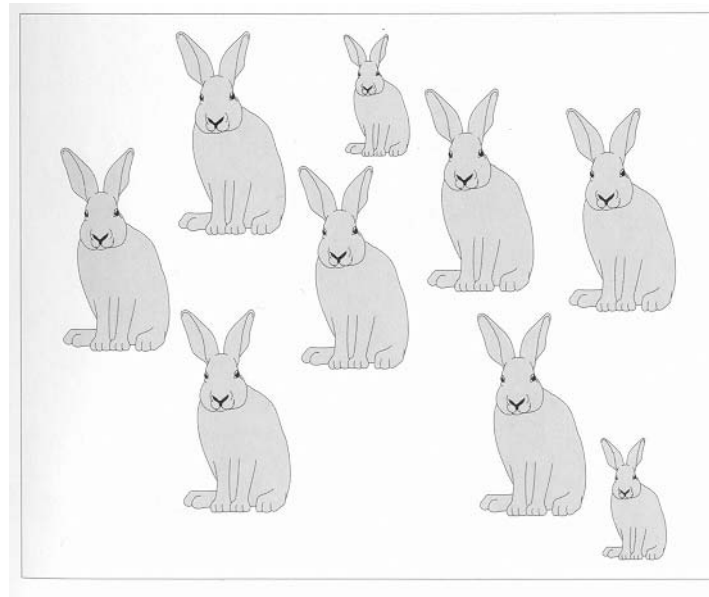
Další metody konstrukce prostoru.



D. Cues for depth vision



Jsou stejně malí, ale nevypadají...



Interpretace viděného rozeznávání objektů



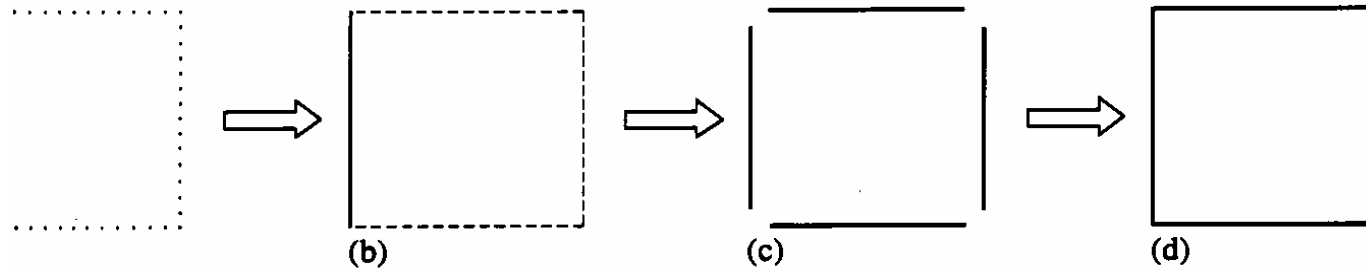


Figure 4.51 Descriptive advantages of visual grouping. See text for explanation.

Seskupování
Podle kontrastních
linií

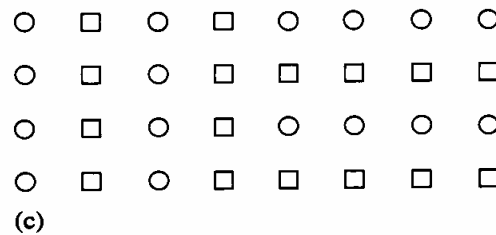
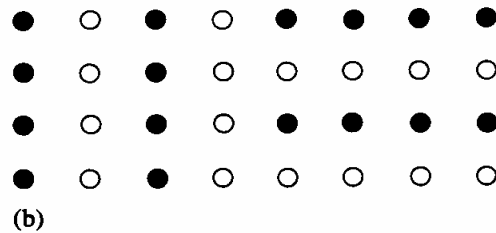
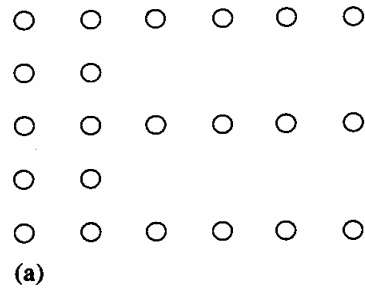
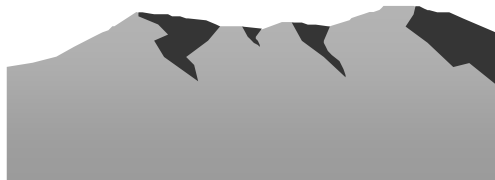


Figure 4.50 Examples of visual grouping: (a) Grouping by spacing. (b) Grouping by colour. (c) Grouping by shape.



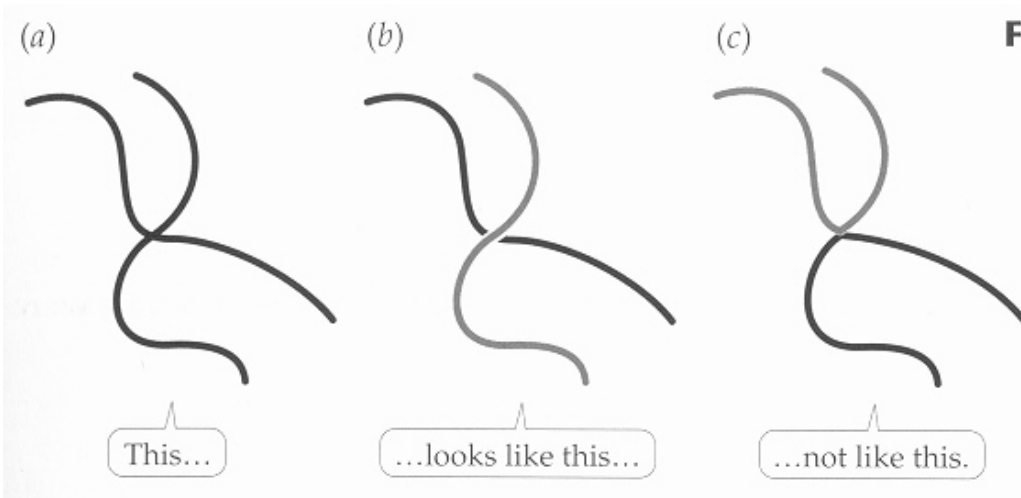
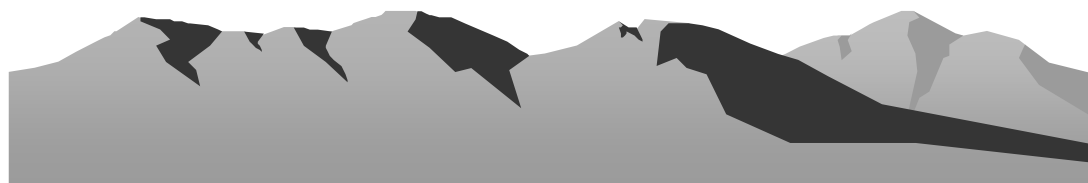
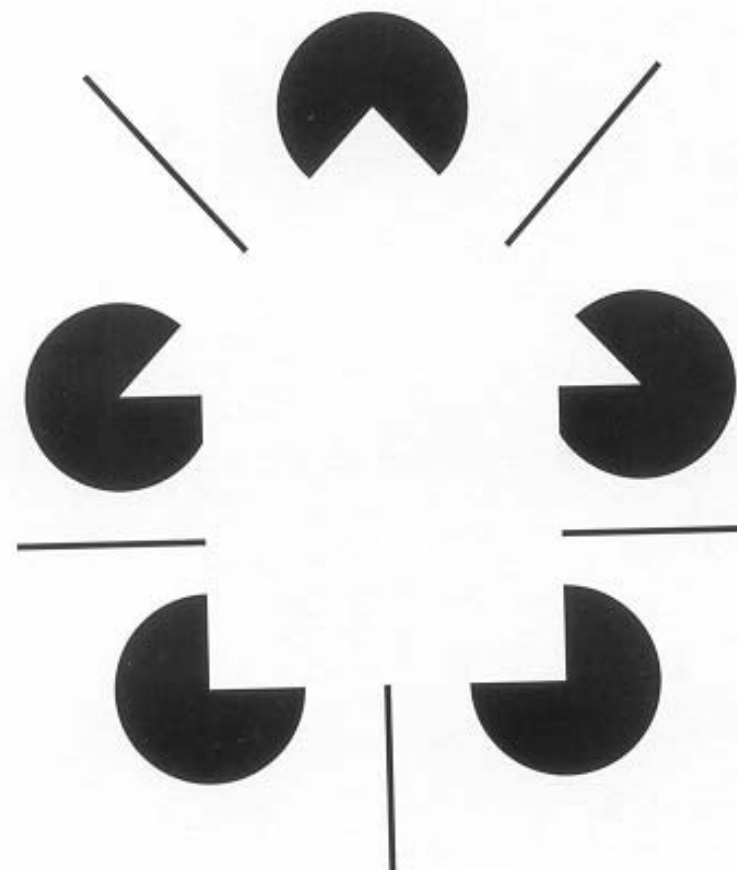
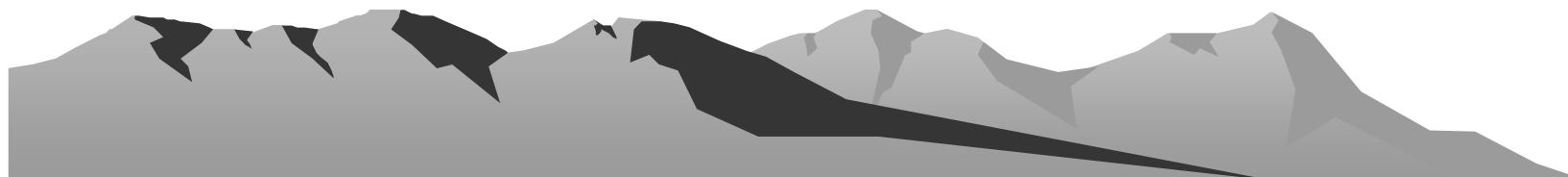
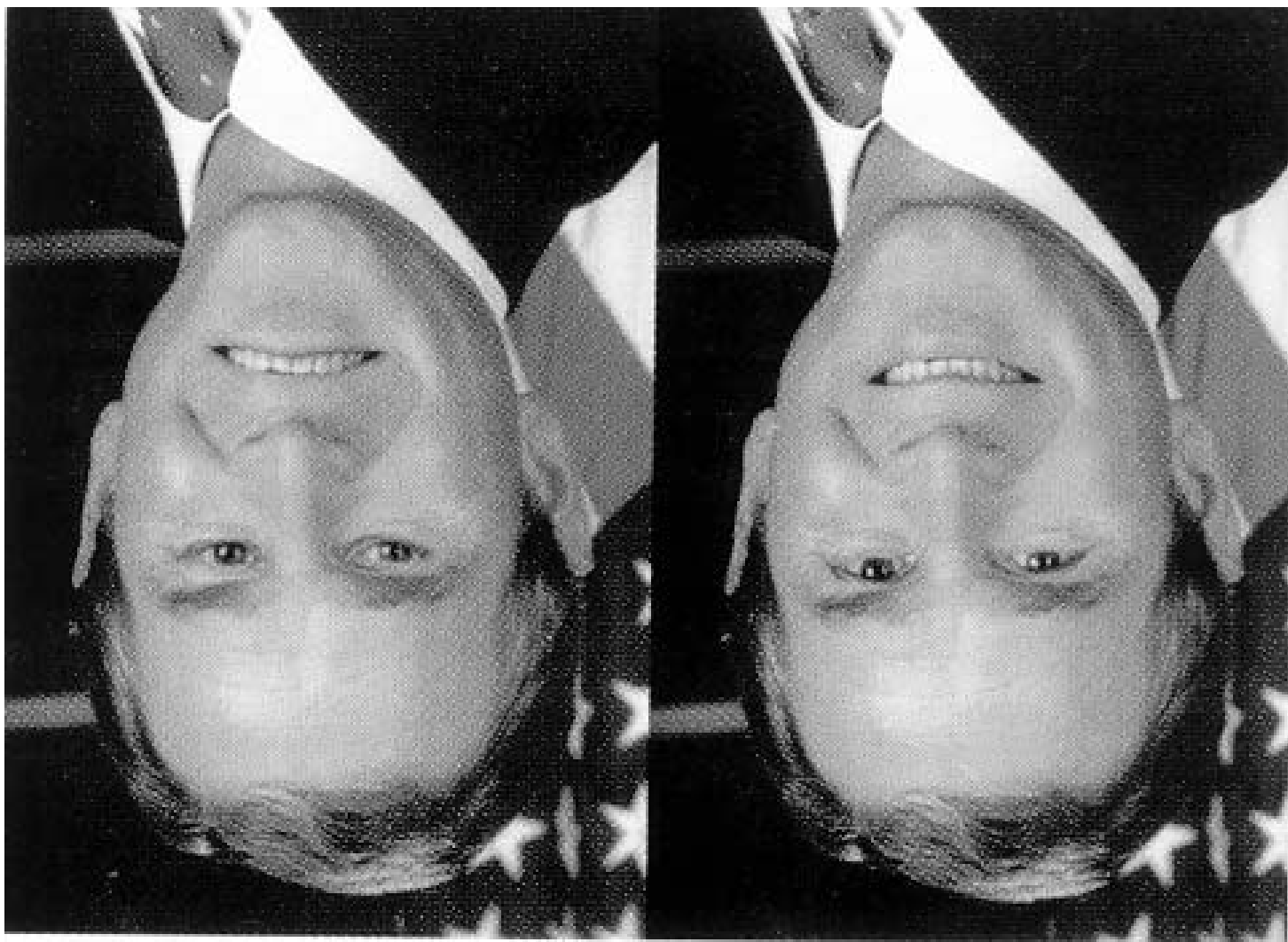


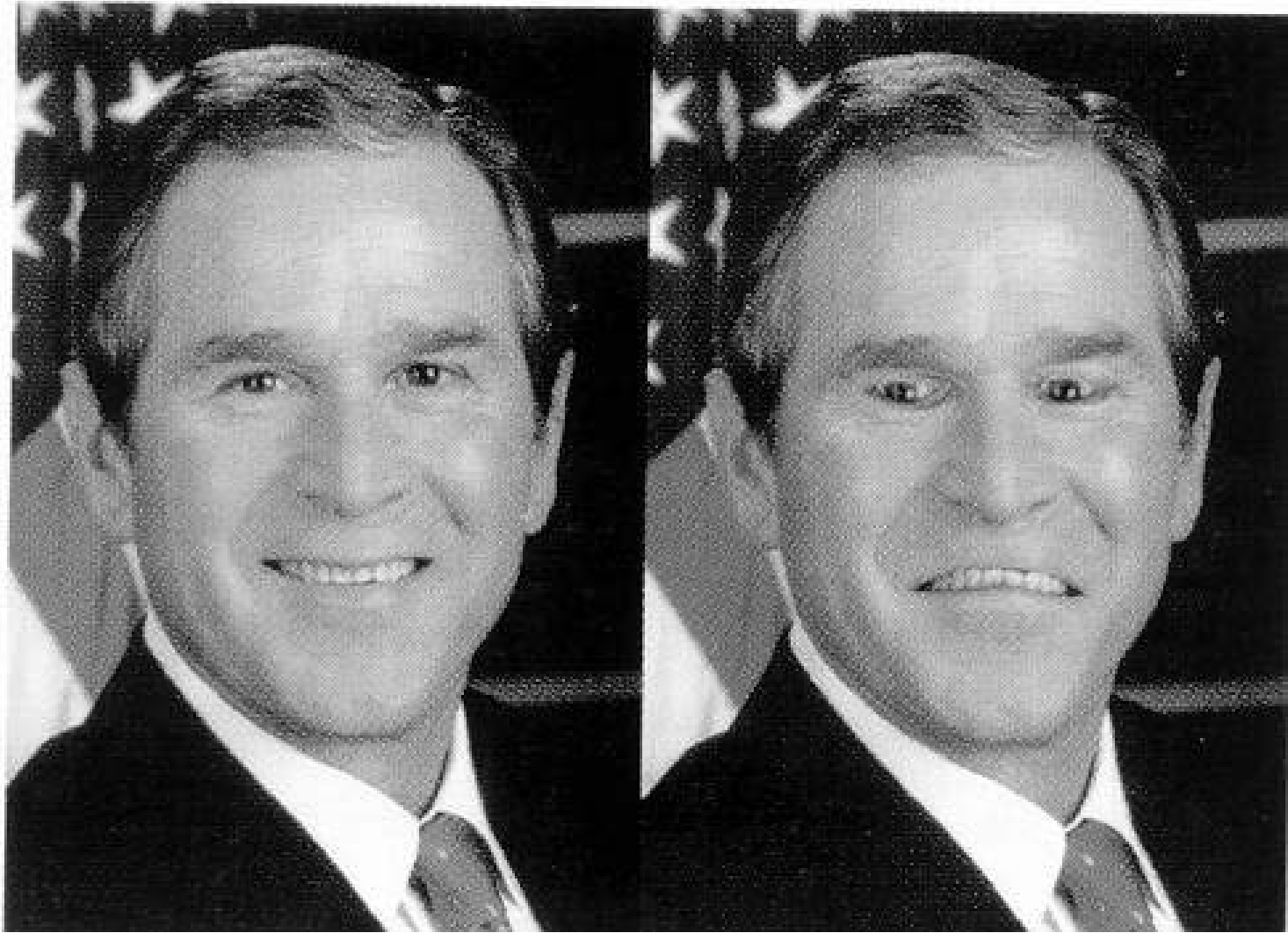
FIGURE 4.7 The Gestalt principle of good continuation.

Seskupování
 Podle kontrastních
 Linií
 Hledání hran, kontur



Orientace v prostoru nesmí být zásadní pro intepretaci





Zkušenost – rozeznáme tvar i z různých úhlů

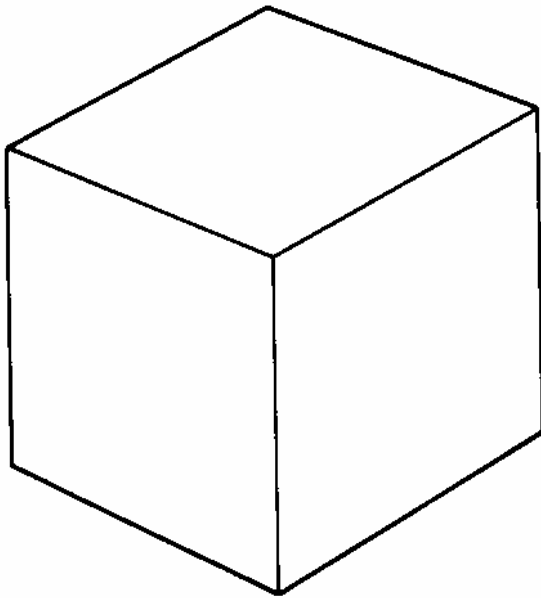
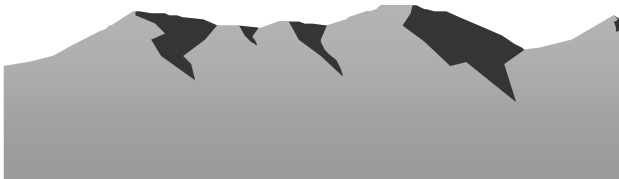


FIGURE 4.1 (a) A house. (b) Paul Cézanne's *Chateau Noir* (1902–05). (c) Even though a viewpoint shift has radically changed the retinal image, you know that this is the same house as in Figure 4.1a.



middle (midlevel) vision A loosely defined stage of visual processing come after basic features have been extracted from the image





Iluze 1

Iluze 2

Iluze 3



Pozornost
Případy poruch.



Polarizované světlo

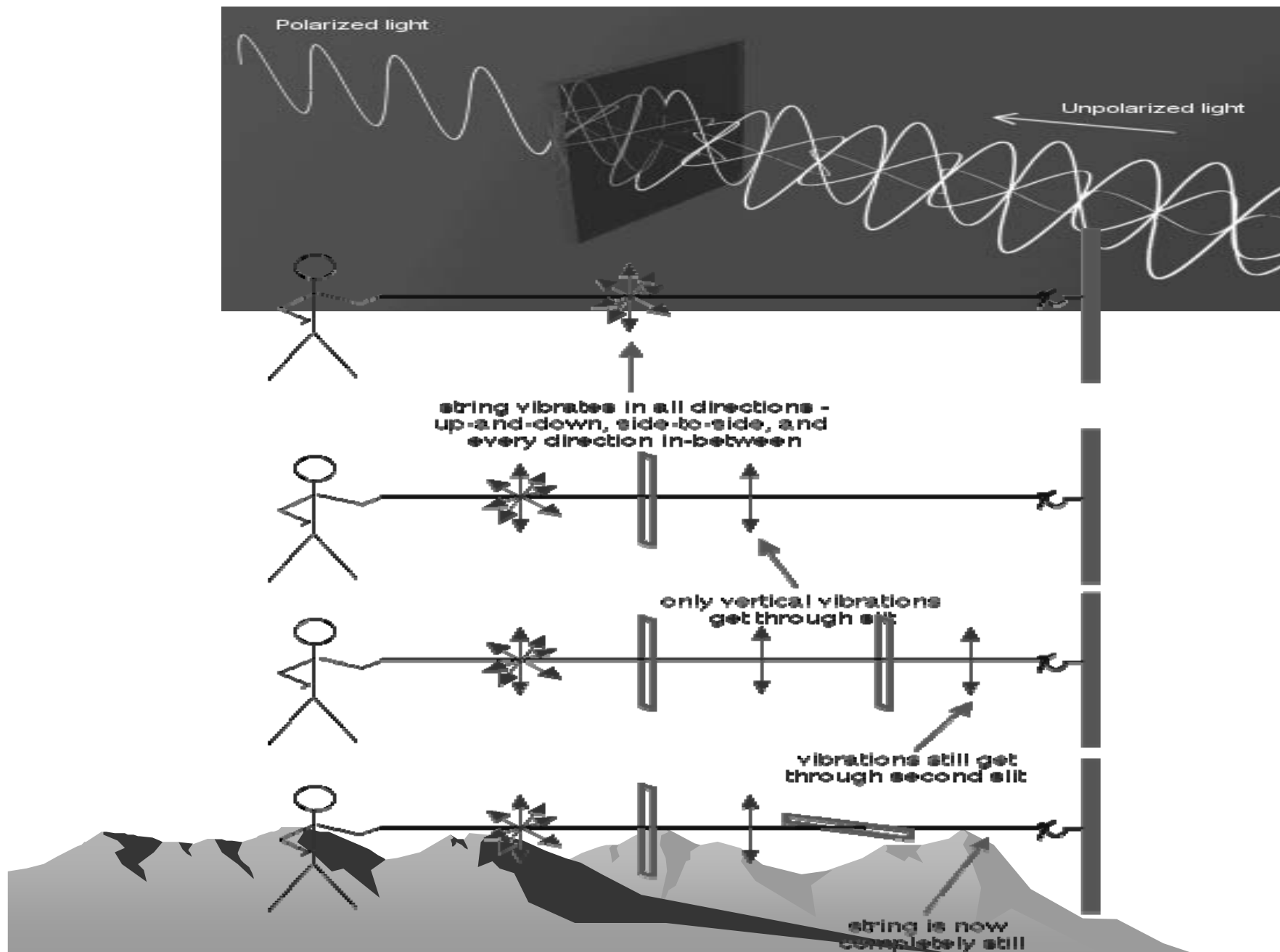


Fig. 3. Two-dimensional representations of the celestial E-vector pattern (the pattern of polarized light) depicted for two different elevations of the sun (filled circle): 25° in left figure, 60° in right figure. The orientation and size of each black bar mark the angle and degree (percentage) of polarization, respectively. The open circle indicates the zenith. The solar meridian (the line from the zenith down to the horizon) and the anti-solar meridian represent the symmetry plane of the celestial E-vector pattern. From Wehner (1994a).

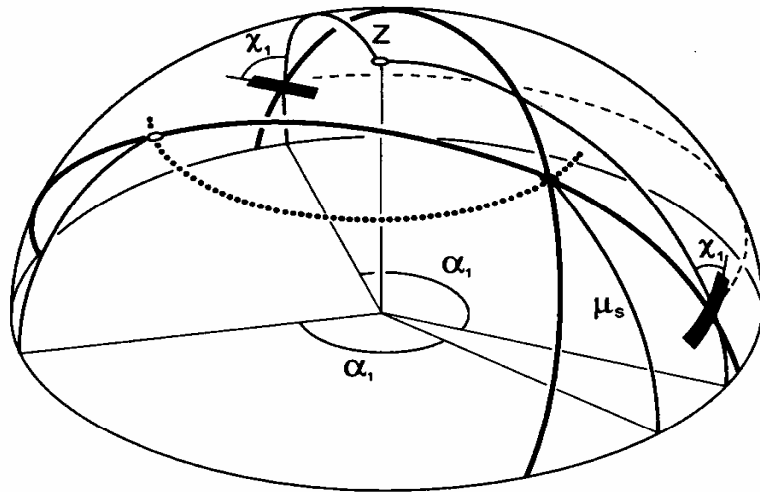
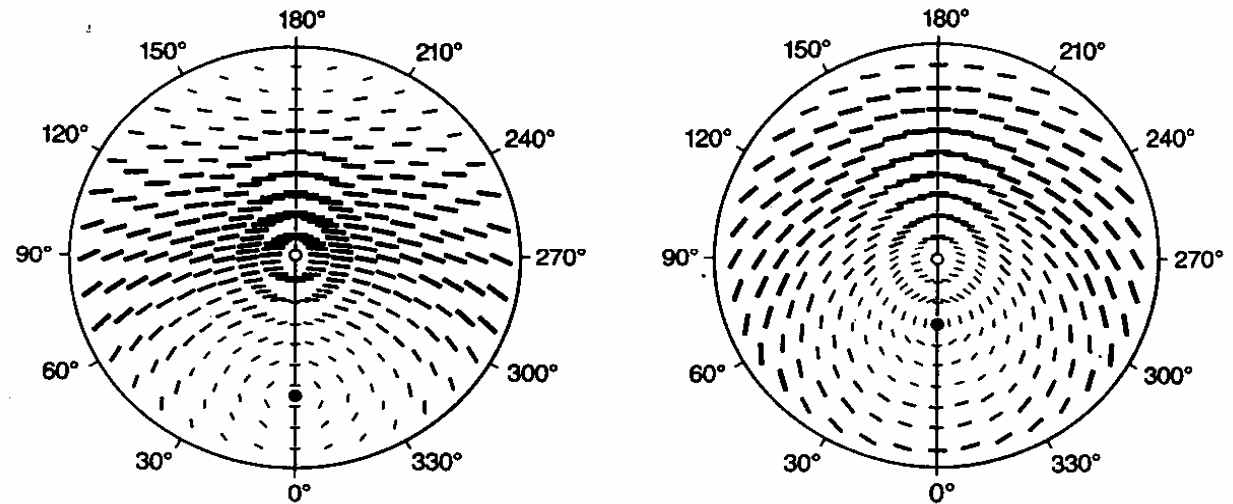
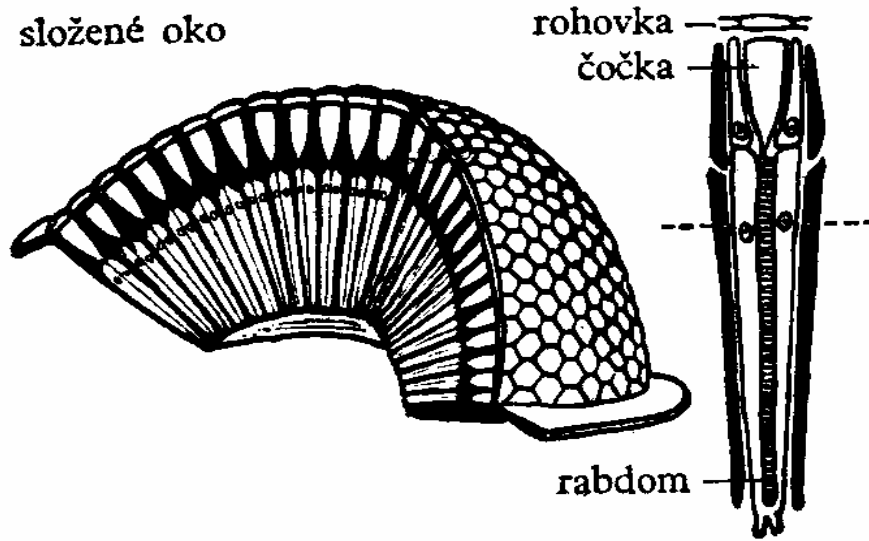
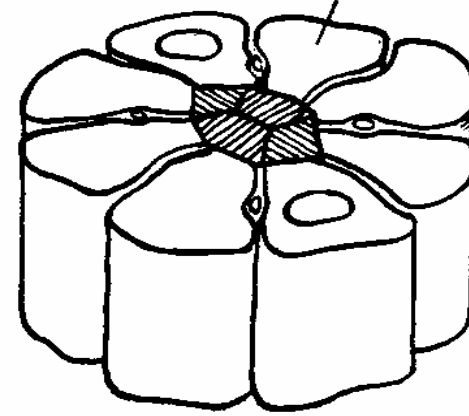


Fig. 4. Three-dimensional constructions required to infer the position of the sun – and hence the azimuthal position of the solar meridian – from at least two patches of polarized light in the sky. The black bars indicate the orientation of the E-vectors (χ) at two points in the sky. The following directives would yield an all-inclusive solution of the problem: First, determine the E-vector orientation at two points in the sky (a task not discussed here); then construct the great circles (heavy black arcs) running at right angles through the E-vectors; finally determine the position of the sun (filled circle) as the point of intersection of the two great circles. With one E-vector alone, the position of the sun cannot be determined unambiguously. If the elevation of the sun (μ_s) were known at a particular time of day, two intersection points of the great circle inclined orthogonally to χ_1 and the parallel of altitude defined by μ_s could be determined. These intersection points define the correct position of the sun (filled circle), as well as a fictive position (open circle), which is separated by the azimuthal difference α_1 from the correct one. The insect's E-vector compass does not operate this way, but is based on a set of simpler rules (see text and Fig. 5). Modified from Wehner (1981).

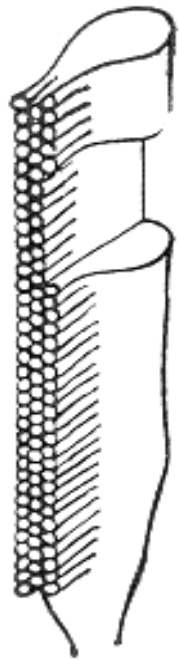
složené oko



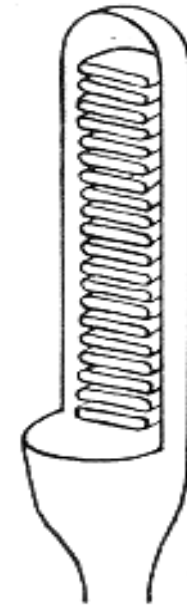
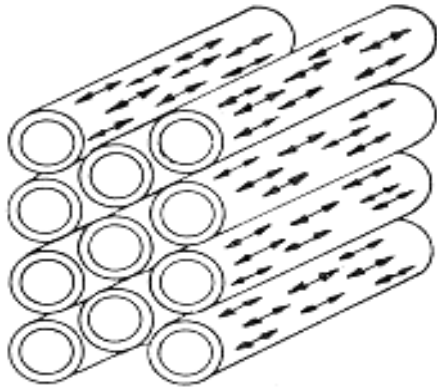
sítnicové buňky



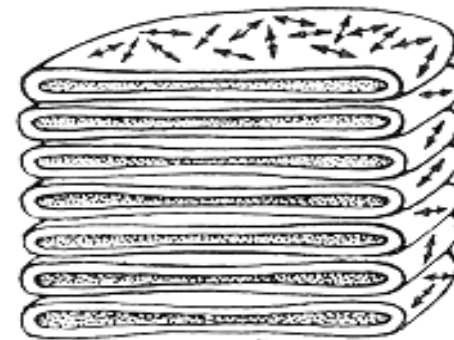
Složené oko hmyzu se skládá z mnoha omatidií, oddělených od sebe pigmentem. Každé omatidium má vlastní rohovku, čočku a sítnicovou tyčinku (rabdom) tvořenou osmi sítnicovými buňkami, jež přecházejí v nerv.



sítnicová buňka hmyzu

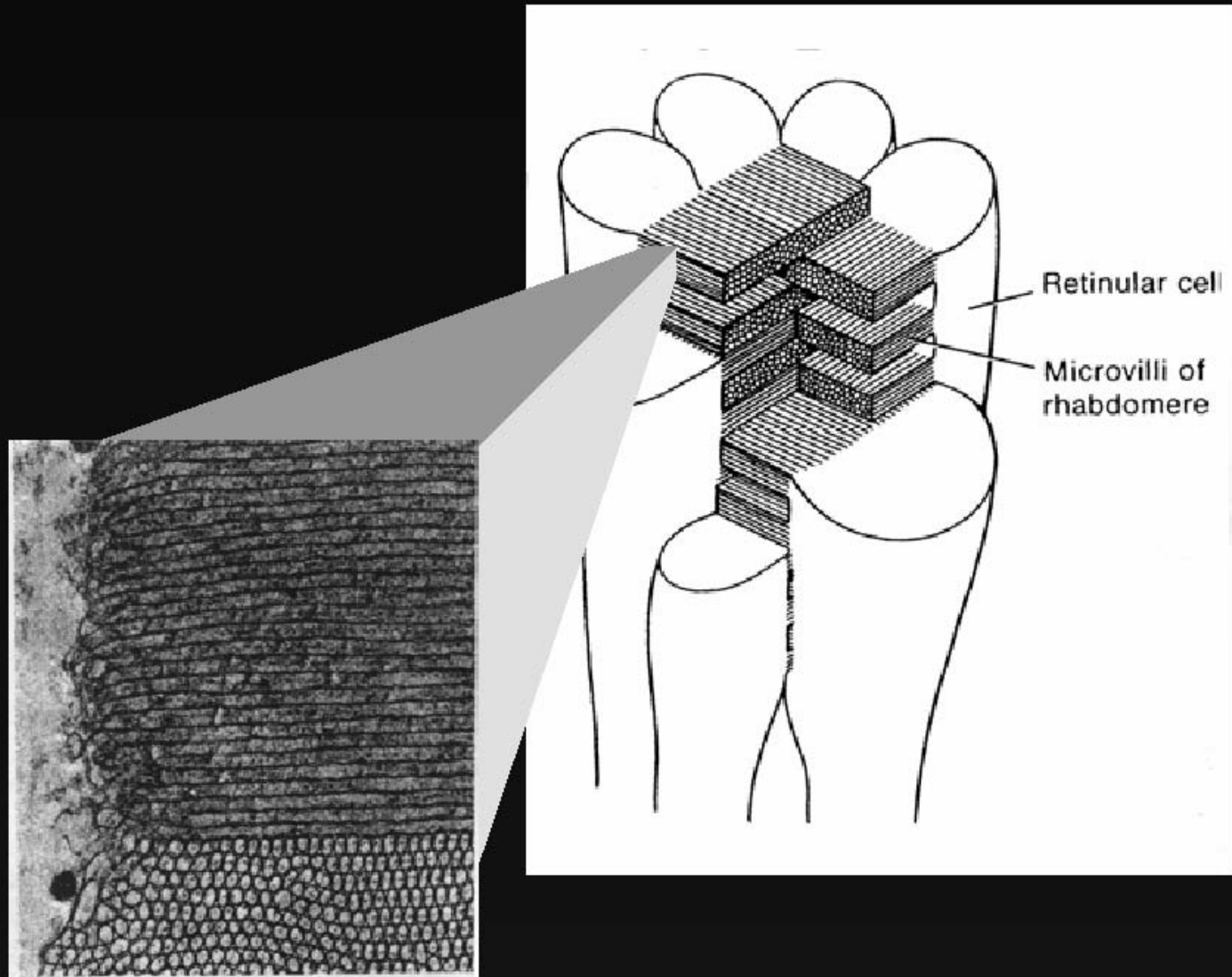


zraková tyčinka obratlovců



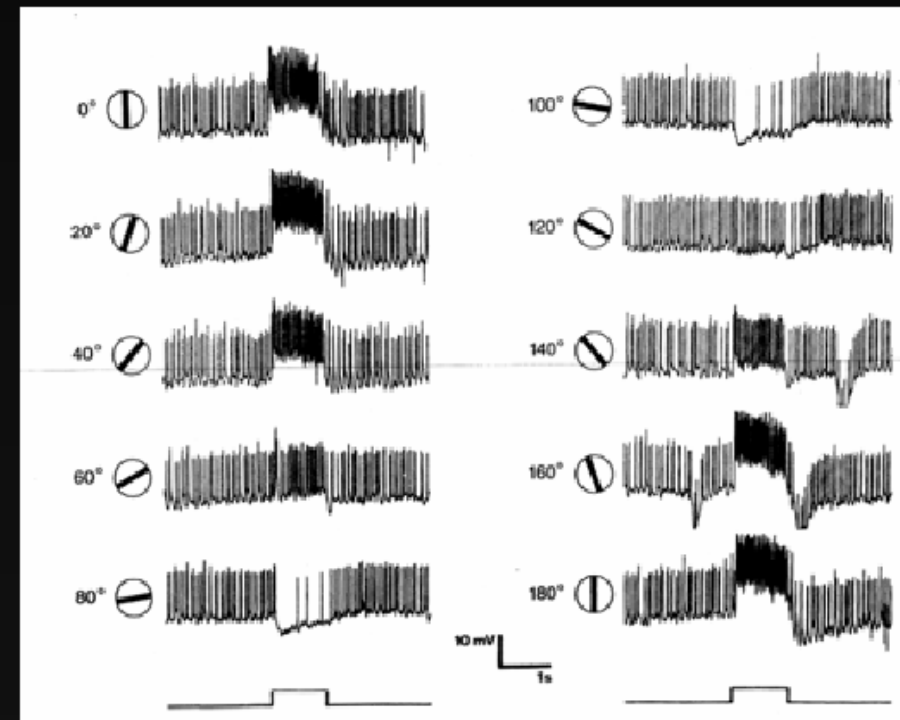
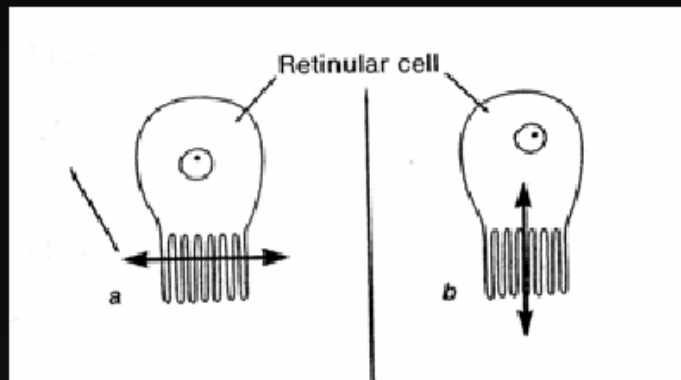
Molekuly světločivého pigmentu (rodopsinu) jsou v tyčince hmyzího oka uspořádány jedním směrem, kdežto v tyčince oka obratlovce jsou neuspořádané. Vysvětluje to rozdíl ve schopnostech obou očí rozlišovat rovinu polarizovaného světla.

Organization of retinular cells allows for detection of polarized light



Arthropod visual neurons can be sensitive to specific planes of polarized light

Cricket



(Wehner 1989)

